Ertragskundliche Versuchsfläche Bois de Forel – Auswertung der Waldinventur 2018 und Jahrringstudie zur Trockenheitstoleranz von Atlaszeder, Douglasie und Schwarzföhre



Jan Geyer, Peter Brang



Eidg. Forschungsanstalt für Wald, Schnee und Landschaft Birmensdorf ZH

Juli 2019

Autoren
Jan Geyer und Peter Brang
Eidg. Forschungsanstalt WSL, Zürcherstrasse 111, CH-8903 Birmensdorf

Zitierung

Geyer, J., Brang, P. 2019. Ertragskundliche Versuchsfläche Bois de Forel – Auswertung der Waldinventur 2018 und Jahrringstudie zur Trockenheitstoleranz von Atlaszeder, Douglasie und Schwarzföhre. Birmensdorf, Eidg. Forschungsanstalt für Wald, Schnee und Landschaft WSL. 89 S.

Dieser Bericht ist der Schlussbericht des Projekts "Reaktivierung Versuche mit Gastbaumarten Bois de Forel", finanziert vom Wald- und Holzforschungsfonds (WHFF) und vom Kanton Waadt.

Wir danken Anne Verstege (WSL) für die Unterstützung mit Material und Kathrin Brändli (WSL) für die Mithilfe bei der Feldarbeit. Im Weiteren danken wir Roger Köchli und Stephan Zimmermann (beide WSL) für die bodenkundlichen Feldaufnahmen im Bois de Forel und die Laboranalysen sowie Stephan Zimmermann für die Beschreibung der entsprechenden Methoden in diesem Bericht. Schliesslich sei die Finanzierung des Projekts durch den WHFF und den Kanton Waadt bestens verdankt.

Umschlagfoto: Schwarzföhren im Bois de Forel.

©Eidg. Forschungsanstalt für Wald, Schnee und Landschaft WSL, Birmensdorf, 2019

Inhalt

Abk	kürzungen	5
Zus	sammenfassung	6
Rés	sumé	7
1	Einleitung	8
	1.1 Geschichte des Baumarten- und Provenienzversuchs	8
	1.2 Projektablauf der Reaktivierung der Versuchsfläche	9
2	Auswertung der ertragskundlichen Erstinventur 2018	10
	2.1 Baumartenanteile und Grösse der Teilflächen	10
	2.2 Statistische Modellierung ertragskundlicher Kenngrössen	16 17 18 18
	2.3 Zusammenfassung der Ergebnisse der Erstinventur 2018	22
3	Untersuchung der Zuwachsreaktion von Douglasie, Schwarzföhre ur Atlaszeder nach Trockenheit	
	3.1 Methoden der Jahrringstudie	24 25 26 26 26 26 27
	3.2 Ergebnisse der Jahrringstudie 3.2.1 Klima	28 30 32 35

	3.3	Zusammenfassung und Interpretation der Jahrringstudie	40
4	Erh	ebung der Douglasien-Naturverjüngung	
	4.1	Ziel und Methoden	43
	4.2	Ergebnisse	43
5	Disl	kussion	44
	5.1	Methodenkritik	44
	5.2	Synthetische Bewertung der Baumarten	44
6	Lite	ratur	48
7	Anh	ang zur Jahrringstudie	50
	7.1	Kennwerte der fünf Bodenprofile	50
	7.2	Chronologien (Rohwerte und trendbereinigte Werte)	55
	7.3	Klima-Wachstumskorrelationen	58
	7.4	Resilienzindizes	64
	7.5	Modellergebnisse	67 67 68 68
	7.6	Material	76
8	Anh	ang zur ertragskundlichen Fläche und Auswertung	80
	8.1	Provenienzverzeichnis	80
	8.2	Modellergebnisse mit modifiziertem Datensatz	81
	8.3	Dokumentübersicht und ertragskundliche Kennzahlen der Teilflächen	86

Abkürzungen

BHD Brusthöhendurchmesser

BT Bodentyp

dGZ Durchschnittlicher Gesamtzuwachs

G Grundfläche

glm Generelles lineares Modell

nWSK Nutzbare Wasserspeicherkapazität

SPEI Standardized precipitation evapotranspiration index

TFL Teilfläche

VFL Versuchsfläche

WGS Waldgesellschaft

Zusammenfassung

Der Kanton Waadt hat 1970 im Bois de Forel bei Romainmôtier eine ertragskundliche Versuchsfläche mit 12 exotischen und 2 einheimischen Baumarten auf 7,5 ha angelegt und bis 2002 verfolgt. Gepflanzt wurden u.a. je 4 Provenienzen von Douglasie und Schwarzföhre und eine der Atlaszeder auf trockenen Buchenwald-Standorten. 3,7 ha der Versuchsfläche hat die WSL 2017 mit ertragskundlichen Standardmethoden eingerichtet und aufgenommen. Zudem wurde die VFL bodenkundlich charakterisiert und die Reaktion von Atlaszeder, Douglasie und Schwarzföhre auf Trockenheit anhand von Jahrringen untersucht. Zudem wurde die Geschichte des Versuchs aufgrund der vorhandenen Dokumentation, die hauptsächlich die Periode 1970 bis 2002 abdeckt, aufgearbeitet.

Auf dem bodentrockenen Standort Bois de Forel variieren das Mikrorelief und mit ihm die Gründigkeit und der Skelettgehalt. Dies führt zu erheblichen Unterschieden in der nutzbaren Wasserspeicherkapazität, was das Wachstum der Bäume und deren Erholung nach Trockenheit signifikant beeinflusst. Bei gleichbleibenden Niederschlägen nahm die Jahresmitteltemperatur im Untersuchungszeitraum stetig zu. Die Bäume auf der Versuchsfläche waren immer trockeneren klimatischen Verhältnissen ausgesetzt.

Insgesamt zeigen sich erhebliche Unterschiede im Wachstumsniveau, in der Mortalität und in der Reaktion auf Trockenheit zwischen den Baumarten; hingegen sind die Unterschiede zwischen verschiedenen Herkünften derselben Baumart eher gering. Nach anfänglich geringen Durchmesserzuwächsen erreichen die Atlaszedern in den vergangenen 20 Jahren ein ähnliches Wachstumsniveau wie die Douglasien. Der Durchmesserzuwachs der Schwarzföhre war anfangs ähnlich hoch wie bei der Douglasie, blieb aber später hinter ihr und der Atlaszeder zurück.

Die untersuchten Schwarzföhren zeigen nach Trockenperioden die geringsten Wachstumseinbussen und die langsamsten Erholungsraten der drei Baumarten. Am stärksten büssen die Douglasien im Durchmesserwachstum ein. Atlaszedern und Douglasien weisen eine ähnliche Erholungsfähigkeit nach Trockenheit auf. Die Provenienzen der untersuchten Baumarten unterscheiden sich in ihrem Wachstum und der Reaktion auf Trockenheit nur wenig. Die Douglasienprovenienz "Enumclaw" erreicht etwas höhere Grundflächen- und durchschnittliche Gesamtzuwachswerte, ihr Durchmesserzuwachs reagiert auf Trockenheit aber am wenigsten resistent. Der Durchmesserzuwachs der Schwarzföhrenprovenienz "Lozère" zeigt geringere Widerstands- und Erholungsfähigkeit gegenüber Trockenheit als der anderer Schwarzföhrenherkünfte.

Insgesamt hat sich auf den trockenen Kalkstandorten des Bois de Forel bis ins Alter von 47 Jahren die Douglasie am besten bewährt, bei geringen Herkunftsunterschieden. Die Atlaszeder hatte erhebliche Anwuchsschwierigkeiten und stand der Douglasie im Wachstum anfänglich nach, holt aber auf. Die Föhrenarten reagierten (ausser der Waldföhre) die Trockenperioden 1976 und 2003 sehr gut, zeigen aber seit kurzem hohe Mortalität (am wenigsten die korsische Schwarzföhren-Herkunft), was ihre Eignung stark einschränkt. Die serbische Fichte bleibt im Wachstum hinter den anderen Baumarten zurück; zudem überlebten nur wenige Bäume die Trockenheit von 1976. Die Lärche hat sich als ungeeignet erwiesen.

Résumé

En 1970, le canton de Vaud a installé une plantation expérimentale de 7,5 ha dans le Bois de Forel près de Romainmôtier avec 12 essences exotiques et 2 essences indigènes, et l'a suivi jusqu'en 2002. Entre autres, 4 provenances de Douglas et de pin noir et une de cèdre de l'Atlas ont été plantées sur des sites de hêtraie sèche. En 2017, le WSL a établi une placette de croissance et production forestière sur 3,7 ha de cette plantation expérimentale avec des méthodes de recherche standard. La placette a été caractérisée par l'étude des conditions édaphiques, et la réaction du cèdre de l'Atlas, du Douglas et du pin noir à la sécheresse a été étudiée à l'aide de méthodes dendro-écologiques. En outre, l'historique de l'essai a été reconstruit sur la base d'un dossier existant, qui couvre principalement la période 1970-2002.

Le microrelief du site sec du Bois de Forel varie, de même que la profondeur et le contenu en pierres. Il en résulte des différences considérables dans la capacité de stockage d'eau utilisable, ce qui influence fortement la croissance des arbres et leur résilience après des périodes sèches. La température moyenne annuelle a augmenté progressivement au cours de la période étudiée, les précipitations restant constantes. Les arbres de la placette expérimentale ont donc été exposés à un des conditions climatiques de plus en plus sèches.

Dans l'ensemble, les différences entre les essences dans les niveaux de croissance, la mortalité et la réponse à la sécheresse étaient significatives, tandis que les différences entre les différentes provenances d'une même essence étaient plutôt faibles. Après une croissance initiale lente du diamètre du tronc, les cèdres de l'Atlas ont atteint un niveau de croissance semblable à celui des Douglas au cours des 20 dernières années. La croissance radiale du pin noir était d'abord semblable à celle du Douglas, mais a été surpassé par la suite par le Douglas et le cèdre de l'Atlas.

Les pins noirs étudiés présentent les pertes de croissance les plus faibles et les taux de rétablissement les plus lents des trois essences après les périodes de sécheresse. Ce sont les Douglas qui subissent la plus grande perte de croissance en diamètre. Le cèdre de l'Atlas et le Douglas présentent une capacité de rétablissement similaire après la sécheresse. Les provenances des essences étudiées ne diffèrent que légèrement dans leur croissance et leur réaction à la sécheresse. La provenance du sapin de Douglas "Enumclaw" atteint une surface terrière et des valeurs de croissance globale légèrement supérieures aux autres provenances, mais elle présente la plus faible résistance à la sécheresse. La croissance radiale de la provenance du pin noir "Lozère" montre moins de résistance et de récupération à la sécheresse que celle des autres provenances du pin noir.

Dans l'ensemble, le Douglas a fait ses preuves dans les habitats calcaires secs du Bois de Forel jusqu'à l'âge de 47 ans, avec de faibles différences de provenance. Le cèdre de l'Atlas a d'abord connu une reprise faible, et a démontré une croissance plus faible par rapport au Douglas, mais il est en voie de rattrapage. Les essences de pins ont très bien réagi (à l'exception du pin sylvestre) aux périodes sèches de 1976 et 2003, mais ont récemment montré une forte mortalité (le moins la provenance du pin noir corse), ce qui limite fortement leur aptitude. L'épicéa de Serbie est en retard par rapport aux autres espèces d'arbres en termes de croissance ; de plus, seuls quelques arbres ont survécu à la sécheresse de 1976. Le mélèze s'est révélé inadapté.

1 Einleitung

1.1 Geschichte des Baumarten- und Provenienzversuchs

Der Kanton Waadt hat 1970 eine Versuchsfläche (VFL) mit 12 exotischen und 2 einheimischen Baumarten auf 7,5 ha angelegt (Jeantet 1970; Pflanzung: Frühjahr und Herbst 1970) und bis 2002 verfolgt. Gepflanzt wurden u.a. je 4 Herkünfte von Douglasie (*Pseudotsuga menziesii*) und Schwarzföhre (*Pinus nigra*) sowie eine der Atlaszeder (*Cedrus atlantica*) (s. Herkunftsangaben im Anhang). Die Fläche liegt im Regenschatten des Jura auf trockenen Buchenwaldstandorten. Die daraus resultierenden trockenen Verhältnisse dürften als Folge des Klimawandels zukünftig in der Schweiz verbreitet vorkommen. Ziel eines vom Fonds für Wald- und Holzforschung geförderten Projektes ("Reaktivierung Versuche mit Gastbaumarten Bois de Forel", 2017-2018) war, die VFL zu reaktivieren, das Wachstum über 47 Jahre und die Reaktion auf Trockenjahre der Baumarten und Herkünfte zu erfassen und daraus Anbauempfehlungen abzuleiten.

Die VFL liegt südöstlich exponiert auf 700 m ü.M. am Südrand des Jura (Abbildung 1). Der Jahresniederschlag für die Referenzperiode 1970-2016 liegt bei 1250 mm¹, das Temperaturmittel bei 8,2°C. Ausgangsgestein ist Kalk, der stellenweise mit Moräne überdeckt vorliegt. Der sehr durchlässige Boden neigt aufgrund geringer Wasserspeicherkapazität und starker Sonneneinstrahlung zu Trockenheit. Im Mittel beträgt die Gründigkeit des Bodens knapp über 40 cm. Auf dem Grossteil der VFL liegt der Skelettanteil bei über 80% und die nutzbare Wasserspeicherkapazität (nWSK) unter 35 mm. Daher limitiert sommerliche Bodentrockenheit das Baumwachstum massgeblich.

Nach den Angaben von Jeantet (1970 und 2002) sowie den Versuchsakten, die beim Forstdienst des Kantons Waadt und im PDF-Format auch an der WSL vorhanden sind, wurde der Versuch in zwei Etappen angelegt: Im Frühjahr 1970 wurde der östliche Teil der VFL bepflanzt (bis etwa eine Teilfläche [TFL] westlich über den die VFL teilenden Forstweg hinausreichend²), im Herbst 1970 der westliche. Dies ist auch der Grund für die ungleiche Verteilung der Baumarten über die VFL, denn es wurden pro Zeitpunkt jeweils alle TFL einer Baumart bepflanzt. Der Zaun wurde erst im November 1970 erstellt. Nachpflanzungen wegen Ausfällen erfolgten im Herbst 1970, im Frühjahr 1973, Frühjahr 1975 und Frühjahr 1977. 1990 wurde der Zaun entfernt und ein Lehrpfad eingerichtet. Im Weiteren sind zahlreiche Pflegeeingriffe und auch Wertastungen dokumentiert.

Der Zustand der Pflanzung wurde mehrmals und letztmals 2002 erfasst: Schätzung oder Auszählung der Überlebensrate pro TFL, Höhenmessungen an dominanten Pflanzen. Diese Erfassung diente auch der Planung von Nachpflanzungen. Berichte zum Zustand der Pflanzung gibt es von November 1970, Oktober 1971, Ende 1972/Anfang 1973 (undatiert), Januar 1975, Juni 1976, November 1976, Oktober 1979, November 1985, 1994 und Oktober 2001 (s. Dokumentation des Forstdienstes des Kantons Waadt).

² Dies zeigt u.a. ein Plan vom Herbst 1970 zum Zustand der im Frühjahr 1970 gepflanzten Bäume.

¹ Es ist unklar, weshalb in früheren Dokumenten zur Versuchsfläche Bois de Forel (Jeantet 2002) ein Niederschlag von 800-900 mm angegeben wurde. Dieser Wert scheint zu tief (s. Kap. 3.1.2).

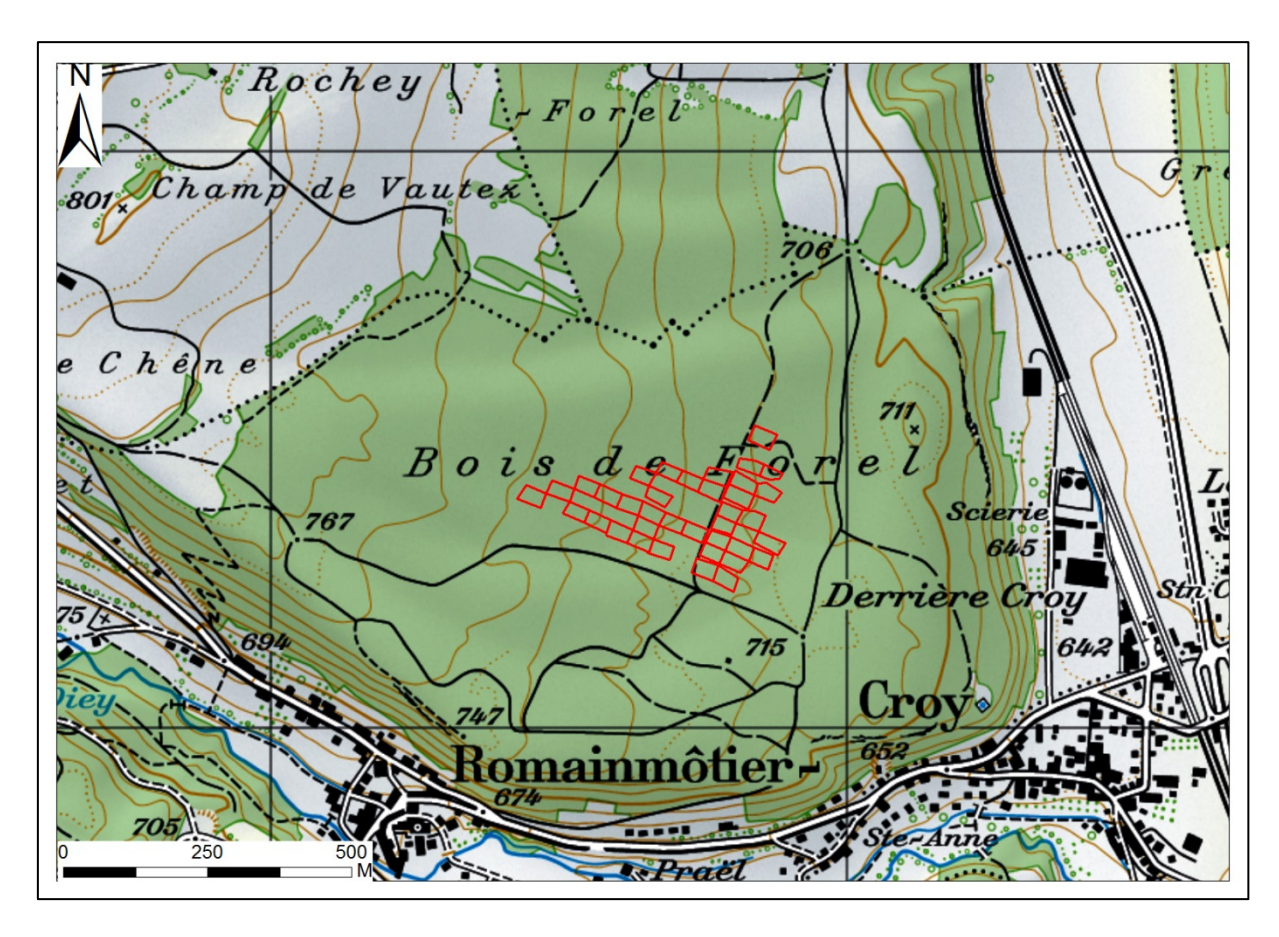


Abbildung 1. Übersichtskarte der VFL Bois de Forel mit der Lage der Teilflächen (Nitzsche & Schmid 2019).

1.2 Projektablauf der Reaktivierung der Versuchsfläche

Die VFL wurde 2017 eingerichtet und während der Vegetationsruhe 2017/2018 ertragskundlich aufgenommen, d.h. nach 47 bis 48 Vegetationsperioden. Die Auswahl der einzurichtenden TFL und die Waldinventurarbeiten sind in einem technischen Bericht beschrieben (Nitzsche & Schmid 2019). Die VFL ist nun Teil des ertragskundlichen Flächen-Netzwerks der WSL und trägt dort die Flächennummer 61192. Grundsätzlich wurden alle TFL, deren Grenzen eindeutig rekonstruierbar schienen, eingerichtet. Die bodenkundliche Untersuchung fand im Sommer 2018 statt. Die Bohrkerne wurden im Oktober und November 2018 entnommen, die Jahrringserien schliessen also das Wachstum des Jahres 2018 mit ein. Die Jahrringbreiten wurden im Winter 2018/2019 gemessen und analysiert. Im März 2019 wurde zudem in und rund um 2 TFL eine Vollinventur der Douglasien-Naturverjüngung durchgeführt. Schliesslich wurde die beim Forstdienst des Kantons Waadt vorhandene Dokumentation der VFL tabellarisch erfasst.

2 Auswertung der ertragskundlichen Erstinventur 2018

2.1 Baumartenanteile und Grösse der Teilflächen

Die einzelnen Teilflächen (TFL) waren im Mittel 0,099 ha gross (minimale und maximale Werte: 0,064, 0,082, 0,084, 0,090 ha; 0,115, 0,116, 0,121, 0,132 ha)³. Im Bois de Forel wurden auf 3,664 ha Fläche bei Bäumen über der Kluppschwelle von BHD=8 cm 24 verschiedene Baumarten aufgenommen, im Mittel 715 Bäume/ha (Tabelle 1). Mit über 32% der Stammzahl häufigste Baumart ist die Schwarzföhre, die mit vier verschiedenen Provenienzen auf 17 von 37 TFL präsent war. Mit Stammzahlanteilen um die 10% folgen ihr Douglasie (11,7%), Traubeneiche (*Quercus petraea*, 10,8%), Atlaszeder (10,2%) und Gelbföhre (*Pinus ponderosa*, 8,9%). Unter diesen fünf häufigsten Baumarten wurden vier ursprünglich gepflanzt. Die Traubeneiche ist mit 11% der Stammzahl über die gesamte VFL dritthäufigste Baumart und aus Naturverjüngung hervorgegangen.

Tabelle 1. In der Inventur 2018 erfasste Baumarten (Stammzahl/ha, Anteil) nach absteigender Häufigkeit.

Baumart		Kürzel	Stammzahl [N/ha]	Anteil [%]
Schwarzföhre	Pinus nigra	SFö	229.9	32.1
Douglasie	Pseudotsuga menziesii	Dou	84.1	11.7
Traubeneiche	Quercus petraea	TEi	77.5	10.8
Atlaszeder	Cedrus atlantica	AZe	72.9	10.2
Gelbföhre	Pinus ponderosa	GFö	64.2	9.0
Schneeballblättriger Ahorn	Acer opalus	ScA	36.2	5.1
Waldföhre	Pinus sylvestris	WFö	29.0	4.1
Sommerlinde	Tilia platyphyllos	SLi	27.1	3.8
Mehlbeere	Sorbus aria	MBe	26.5	3.7
Hagebuche	Carpinus betulus	HBu	16.7	2.3
Feldahorn	Acer campestre	Fah	16.4	2.3
Elsbeere	Sorbus torminalis	EBe	13.0	1.8
Serbische Fichte	Picea omorica	OFi	8.3	1.2
Buche	Fagus sylvatica	Bu	3.6	0.5
Birnbaum	Pyrus pyraster	Bir	3.0	0.4
Esche	Fraxinus excelsior	Es	2.4	0.3
Stechpalme	Ilex aquifolium	StP	1.1	0.1
Flaumeiche	Quercus pubescens	FEi	0.9	0.1
Bergulme	Ulmus glabra	BUI	0.9	0.1
Walnuss	Juglans regia	Nu	0.6	0.1
Weisstanne	Abies alba	Ta	0.5	0.1
Eibe	Taxus baccata	Eib	0.5	0.1
Bergahorn	Acer pseudoplatanus	BAh	0.3	0.0
Fichte	Picea abies	Fi	0.3	0.0

³ Die Planung von 1970 sah Flächen von 25 x 40 m, einen Linienabstand von 2,5 m und einen Pflanzabstand innerhalb der Linie von 2,0 m vor (Jeantet 1970).

Die Übersichtskarte der VFL Bois de Forel (Abbildung 2) zeigt die Lage der TFL, die Kartierung der Bodentypen (BT) sowie die Kartierung der Waldgesellschaften (WGS) des Kantons Waadt. Aufgrund der Kartierung der BT ist davon auszugehen, dass die Bodengüte auf den TFL 311 und 588 sowie in einem Teil von TFL 587 deutlich über dem der restlichen 34 TFL liegt. Im westlichen Teil der VFL, oberhalb der Waldstrasse, dominiert die WGS Seggen-Buchenwald mit Weisssegge (Nr. 14 nach Stocker et al. 2002) bzw. mit Bergsegge (Nr. 15), im östlichen Teil der Lungenkraut-Buchenwald mit Immenblatt (Nr. 10). Standorte der WGS 14 und 15 (Bonität h_{dom}50: Laubbäume 14-18; Nadelbäume 16-20) haben laut Stocker et al. (2002) eine etwas geringere Bonität als die der WGS 10 (Bonität h_{dom}50: Laubbäume 16-20; Nadelbäume 18-22). Dieser Unterschied mag am leichten West-Ost-Gefälle des Geländes und einer damit einhergehenden höheren Bodenfeuchte auf den tiefer gelegenen TFL liegen, wird jedoch von der Bodenkartierung nicht bestätigt.

Die Baumartenvielfalt im Bois de Forel ist gross, gleichfalls gross sind die Unterschiede in der Stammzahl zwischen den TFL (Abbildung 3). Trotz der diversen Naturverjüngung machen fast 50 Jahre nach Bestandesbegründung die gepflanzten Bäume nach wie vor die Mehrheit der Bäume auf der Fläche aus.

Um die prozentualen Flächenanteile der BT pro Herkunft zu bestimmen, wurde jeder TFL ein BT zugeordnet (Tabelle 2). Bei verschiedenen BT pro TFL wurden prozentuale Anteile bestimmt, wenn ein Anteil mindestens 20% der Grösse der TFL ausmachte.

Tabelle 2. Anzahl TFL und Verteilung der BT pro Baumart und Herkunft.

Baumarten/Herkünfte	N TFL	BT 1	BT 2	BT 3
Cedrus atlantica	5	40%	60%	0%
Provence	5	40%	60%	0%
Nullfläche	1	100%	0%	0%
NA	1	100%	0%	0%
Picea omorica	1	100%	0%	0%
Jugoslawien	1	100%	0%	0%
Pinus nigra	17	37%	58%	5%
Cevennen	1	50%	50%	0%
Korsika	3	40%	60%	0%
Ungarn	4	15%	83%	3%
Lozère	8	54%	35%	11%
Korsika_Cevennen	1	0%	100%	0%
Pinus ponderosa	4	45%	55%	0%
Kalifornien	4	45%	55%	0%
Pinus sylvestris	2	75%	25%	0%
Hochrhein	2	75%	25%	0%
Pseudotsuga menziesii	7	21%	64%	14%
Enumclaw	2	25%	75%	0%
Millevaches	1	50%	50%	0%
Salmon Arm	2	25%	75%	0%
Wind River	2	0%	50%	50%
Total	37	20%	27%	3%

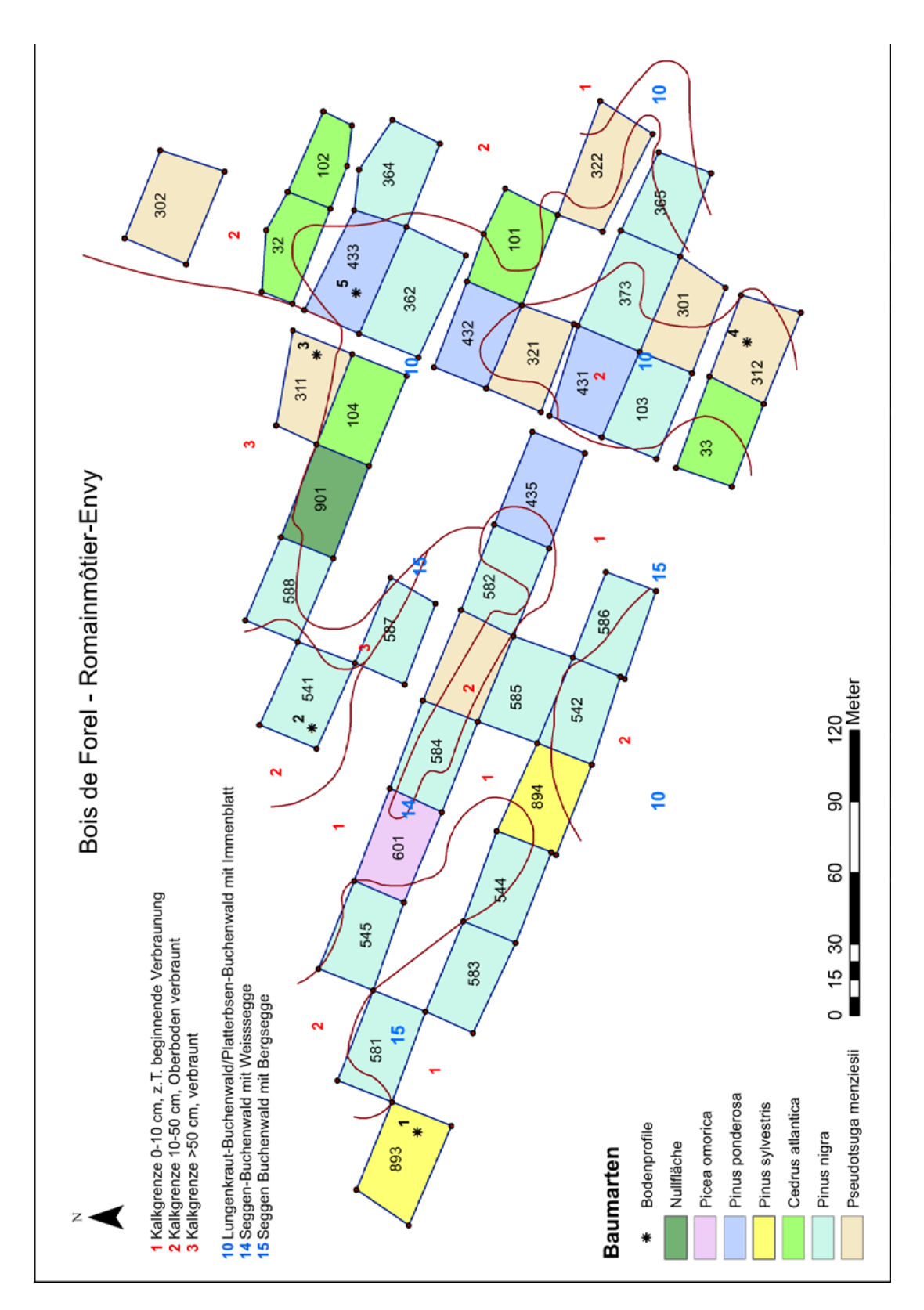


Abbildung 2. Übersichtskarte der VFL Bois de Forel mit den BT (**rote** Ziffern und Grenzlinien), den Waldgesellschaften nach der Kartierung des Kantons Waadt (**blaue** Ziffern), den im Rahmen der Flächeneinrichtung angelegten Bodenprofilen (schwarze Sterne mit Ziffern), sowie den TFL mit Nummern und Baumarten.

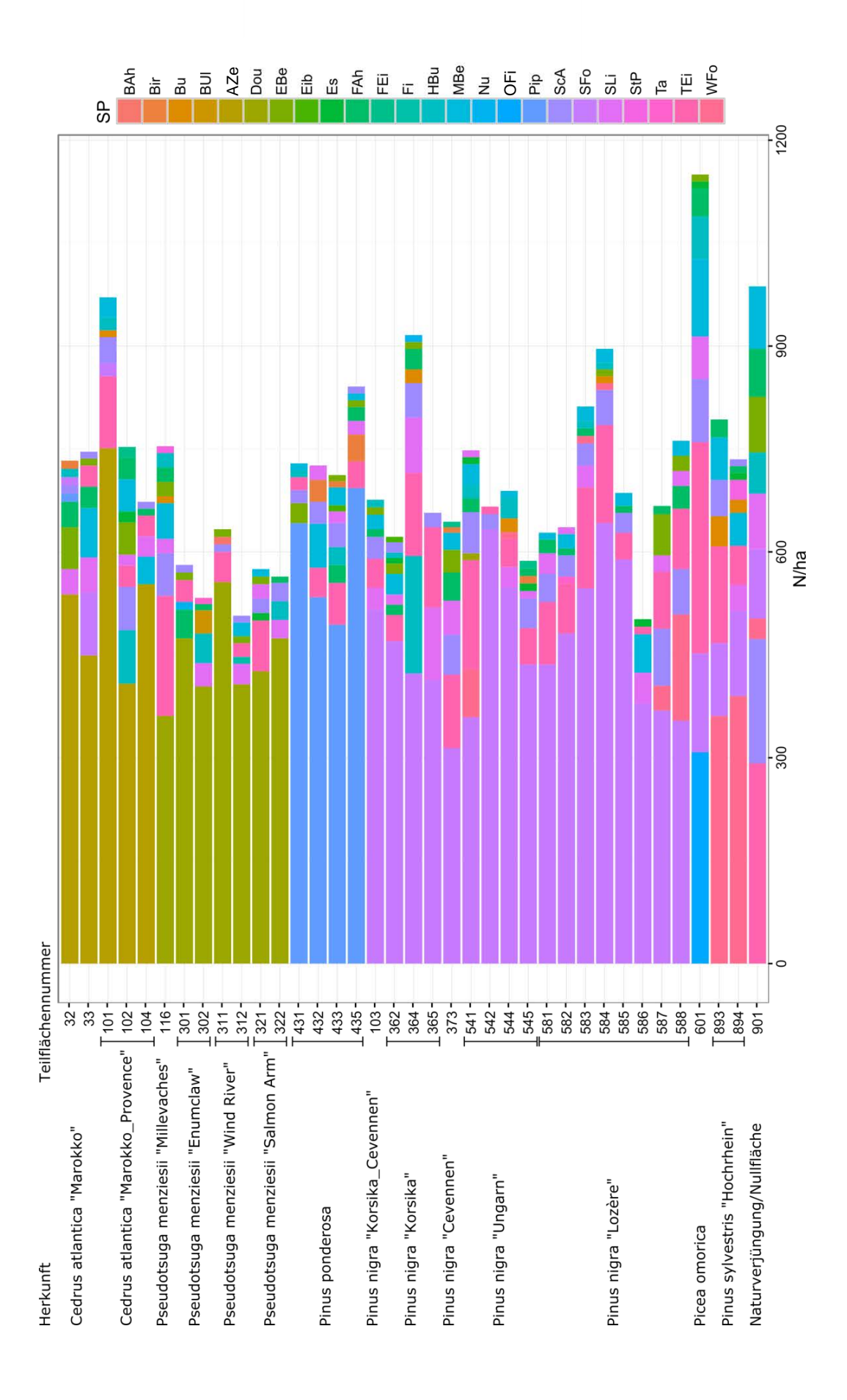


Abbildung 3. Baumartenzusammensetzung pro TFL. Bei der Atlaszeder ist davon auszugehen, dass beide Herkünfte aus der Provence stammen.

Über die gesamte VFL hinweg ist der BT 2 leicht häufiger als der BT 1. Mit 5% nimmt der relativ feuchte BT 3 nur eine kleine Fläche ein. Serbische Fichte, Naturverjüngung und Waldföhre stocken vermehrt auf BT 1, Gelbföhre und Atlaszeder zu etwa gleichen Teilen auf den BT 1 und 2. Die Mehrheit der Schwarzföhren und Douglasien ist auf Böden des BT 2 aufgewachsen. Der BT 3 findet sich in geringen Anteilen auf TFL der Schwarzföhrenprovenienzen "Ungarn" und "Lozère". Ausserdem stocken Bäume der TFL 311 (Douglasienprovenienz "Wind River") fast ausschliesslich auf diesem tiefgründigsten BT.

Bei der Atlaszeder ist die Zuteilung der Herkünfte zu den TFL aus den Unterlagen (Jeantet 1970, 2002 sowie unveröffentlichte Dokumentation des Kantons Waadt) nicht ganz klar. Es sind Nachpflanzungen im Herbst 1970 und im Jahr 1973 dokumentiert, bei der in einer Tabelle (Dokumentation des Kantons Waadt) von "Monts Atlas" die Rede ist. Es wird aber angenommen, dass dies nur eine Interpretation zur "Cèdre de l'Atlas" ist und wie zuvor die Herkunft aus der Provence (230 m ü.M.) verwendet wurde.

Die durchschnittliche Stammzahl beträgt 2018 etwas über 700/ha. Im Vergleich dazu lag der Pflanzverband bei 2,5 m x 2,0 m und die ursprüngliche Stammzahl bei 2000 Pflanzen/ha (Jeantet 1970; Jeantet gibt zwar 2500/ha an, aber seine genauen Angaben zum Pflanzverband scheinen vertrauenswürdiger). Ähnliche Pflanzzahlen sind für Zeder in Frankreich derzeit üblich (Courbet et al. 2012a und b), Föhrenflächen wurden in den 1970er Jahren üblicherweise mit wesentlich höheren Pflanzenzahlen begründet.

Beim Vergleich der Bestandeskennzahlen für alle TFL (Tabelle 36) fällt die deutliche Überlegenheit der Douglasienflächen bezüglich BHD, Baumhöhe, Grundfläche (G) und Zuwachs (Abbildung 4) auf. Die Gelbföhrenflächen weisen unter allen bepflanzten Flächen die geringsten Werte auf, etwas höhere Werte zeigt die TFL der serbischen Fichte. Zedern-, Schwarzföhren- und Waldföhrenflächen liegen auf mittlerem Niveau. Den geringsten Wert aller Flächen erreichte die Nullfläche.

Deutliche Unterschiede zwischen den TFL zeigen sich auch bezüglich des Anteils der ursprünglich gepflanzten Baumarten an der Gesamtstammzahl. Da Nachpflanzungen und die Bestandesbehandlung nicht vollständig dokumentiert sind, können diese Unterschiede nicht nur auf Standorts- und Provenienzunterschiede zurückgeführt werden. Immerhin können solche Unterschiede aufgrund der aufgenommenen Daten näher charakterisiert werden.

So nimmt *Pinus nigra* auf der Schwarzföhren-TFL 542 fast 95% der Stammzahl und >99% des Volumens ein (Tabelle 37 im Anhang). Auf dieser TFL wurden nur wenige abgestorbene oder fehlende Föhren gefunden (11/ha), die stammzahlarme NV besteht nur aus *Acer opalus* und *Quercus petraea*. Auf der Schwarzföhren-TFL 588 dagegen nimmt die Schwarzföhre nur 46% der Stammzahl und 57% des Volumens ein. Hier ist die Zahl der abgestorbenen oder fehlenden Schwarzföhren hoch (283/ha), die Naturverjüngung ist artenreich und macht über 40% des Volumens aus.

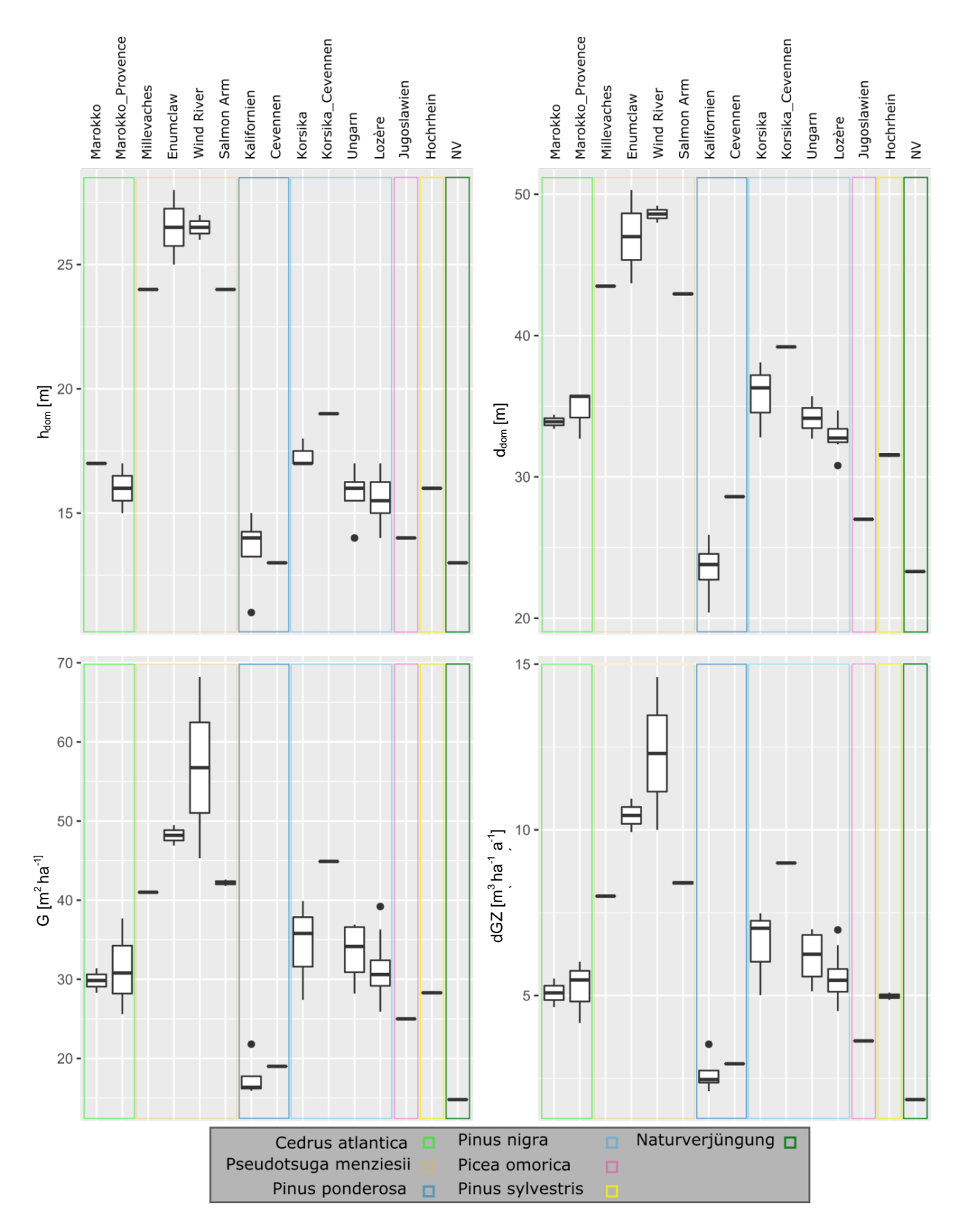


Abbildung 4. Boxplots der Höhen (h_{dom}) und BHD (d_{dom}) der dominanten Bäume, des durchschnittlichen Gesamtzuwachses (dGZ) und der Grundfläche (G) aggregiert pro Herkunft. D_{dom} und h_{dom} beziehen sich auf die mittlere Höhe der dominanten Bäume pro TFL, d.h. es fliessen auch Baumarten, die nicht der angegebenen Provenienz entsprechen, mit ein, sofern sie zu den dominanten Bäumen der TFL gehören (betrifft TFL 433, 541, 587, 588, 601 und 901). Bei der Atlaszeder ist davon auszugehen, dass beide Herkünfte aus der Provence stammen.

Die **mittleren Oberhöhen** (h_{dom}) sind für die TFL der marokkanischen Zedern identisch, die Unterschiede auf den gemischten Flächen gering. Das Niveau von h_{dom} in den TFL des Douglasienkollektivs ist von allen TFL mit grossem Abstand am höchsten. Innerhalb der Bäume der TFL des Schwarzföhrenkollektivs zeigt die TFL 373 (Cevennen) die geringsten h_{dom} -Werte. Die Baumhöhen auf den Schwarzföhrenflächen liegen im Mittel auf einem ähnlichen Niveau wie die der Zedern- und Waldföhrenflächen.

Die **mittleren Oberdurchmesser** (d_{dom}) unterscheiden sich für die Zedern weder zwischen noch innerhalb der Herkünfte und bewegen sich auf einem mittleren Niveau um 35 cm. Das Niveau von d_{dom} in den TFL des Douglasienkollektivs ist von allen TFL am höchsten. Die Bäume der TFL des Schwarzföhrenkollektivs nehmen im Vergleich ein mittleres Niveau ein, die Waldföhrenflächen zeigen ähnliche mittlere d_{dom} . Gemeinsam mit der Nullfläche finden sich die geringsten mittleren d_{dom} auf den TFL des Gelbföhrenkollektivs.

Die **Grundflächen** sind in Zedern- und Schwarzföhrenflächen ähnlich. Ausnahmen sind die geringe G in den TFL mit der Schwarzföhrenprovenienz "Cevennen" sowie die hohe G der TFL der Provenienz "Korsika_Cevennen". Die erwartungsgemäss hohen G der Douglasienflächen gipfeln in der TFL "311" auf BT 3 mit 68.2 m²/ha. Die niedrigste Grundfläche weisen die Gelbföhrenflächen mit ca. 17 m²/ha sowie die Nullfläche mit unter 15 m²/ha auf.

Der **dGZ** der Zedernflächen liegt im Mittel knapp über 5 m³/a und damit auf einem vergleichsweise niedrigen Niveau. Allerdings zeigen die Abbildung 11 und 13, dass sich die Durchmesserzuwächse der Zedern in den vergangenen 20 Jahren auf fast identischem Niveau mit denen der Douglasien befinden.

Insgesamt sind alle Kennzahlen bezüglich der Verhältnisse zwischen den Baumarten und den Provenienzen innerhalb der Baumarten sehr einheitlich.

2.2 Statistische Modellierung ertragskundlicher Kenngrössen

2.2.1 Vorgehen bei der statistischen Modellierung

Die ertragskundlichen Grössen dGZ, G, d_{dom} und h_{dom} wurden in einfachen linearen Modellen in Abhängigkeit von Herkunft und BT modelliert. Vergleichsgruppen für die Interpretation der Ergebnistabellen (Tabelle 14-17) sind die gemischten Atlaszedernflächen "Marokko_Provence" (TFL 101, 102, 104) sowie BT 1.

BT 3 ist deutlich tiefgründiger und hat eine grössere nWSK als BT 1 und 2. Modellergebnisse und beschreibende Statistik zeigen, dass sich dieser BT klar stärker von BT 1 und 2 unterscheidet als diese voneinander. Da BT 3 aber nur auf zwei TFL dominiert (TFL 311, Douglasie "Wind River", und 588, Schwarzföhre "Lozère") und diese Anzahl für ein robustes Modell zu klein scheint, wurden die Modelle separat auch ohne diese TFL berechnet. Zudem machen BT 1 und 2 bei etwa einem Drittel der verbleibenden TFL je etwa die Hälfte des BT aus. Um die Zwischenstellung dieser TFL abzubilden, wurde für sie eine weitere Kategorie "BT 1.5" gebildet.

Um Herkunftsunterschiede innerhalb der Baumarten zu testen, wurden mithilfe eines Post-Hoc-Tests (Tukey's Range Test) die Herkünfte derselben Baumart untereinander sowie die Waldföhrenherkunft mit den Schwarzföhren verglichen. Dabei wurden im Vergleich der Douglasienherkünfte keine signifikanten Unterschiede für d_{dom}, h_{dom}, G und dGZ gefunden. DGZ und d_{dom} sind auf der Schwarzföhrenfläche Korsika_Cevennen signifikant höher als auf der Fläche mit reiner Cevennenherkunft. Signifikante Unterschiede zwischen den Waldföhren- und Schwarzföhrenherkünften wurden keine gefunden.

2.2.2 Durchschnittlicher Gesamtzuwachs

Der dGZ der gemischten Zedernflächen unterscheidet sich nicht signifikant von dem der TFL "Provence", der Fichtenfläche, den Flächen der korsischen und ungarischen Schwarzföhren und der Provenienz "Lozère" sowie den Waldföhrenflächen (Tabelle 3, Abbildung 5). Die Nullfläche, die Gelbföhrenflächen sowie die TFL der Schwarzföhrenprovenienz "Cevennen" haben einen negativen, Flächen aller Douglasienherkünfte sowie der Schwarzföhrenherkunft "Korsika_Cevennen", einen positiven Effekt auf den dGZ. Der dGZ scheint mit steigender Bodengüte zu steigen. Dieser Effekt ist jedoch nicht signifikant.

Tabelle 3. Modellergebnisse für glm (dGZ ~ Herkunft+ BT) mit BT 1.5 ohne BT 3. Die Tabelle gibt für die verwendeten Koeffizienten einen Schätzwert (Estimate), den Standardfehler (Std. Error), die Teststatistik (t value) sowie den dazugehörenden Pr Wert an. Die Sterne verdeutlichen das Signifikanzniveau.

dGZ	Parameter		Estimate	Std. Error	t value	Pr(> t)	
	(Intercept)		4.86	0.56	8.74	6.81E-08	***
	Cedrus atlantica	Provence	-0.32	0.78	-0.41	0.6837	
	Pseudotsuga menziesii	Enumclaw	5.03	0.78	6.48	4.29E-06	***
	Pseudotsuga menziesii	Millevaches	2.82	0.99	2.83	0.0110	*
	Pseudotsuga menziesii	Salmon Arm	3.00	0.78	3.86	0.0011	**
	Pseudotsuga menziesii	Wind River	4.38	1.01	4.36	0.0004	***
	Picea omorica	Jugoslawien	-1.23	1.01	-1.22	0.2382	
	Pinus ponderosa	Kalifornien	-2.41	0.66	-3.63	0.0019	**
	Pinus nigra	Cevennen	-2.24	0.99	-2.25	0.0370	*
	Pinus nigra	Korsika	1.29	0.68	1.88	0.0762	
	Pinus nigra	Korsika_Cevennen	3.38	1.01	3.36	0.0035	**
	Pinus nigra	Ungarn	0.64	0.67	0.96	0.3476	
	Pinus nigra	Lozère	0.55	0.59	0.92	0.3693	
	Nullfläche	NA	-3.00	1.01	-2.98	0.0080	**
	Pinus sylvestris	Oberrhein	-0.04	0.78	-0.05	0.9606	
	BT 1.5		0.32	0.43	0.76	0.4578	
	BT 2		0.77	0.49	1.55	0.1392	

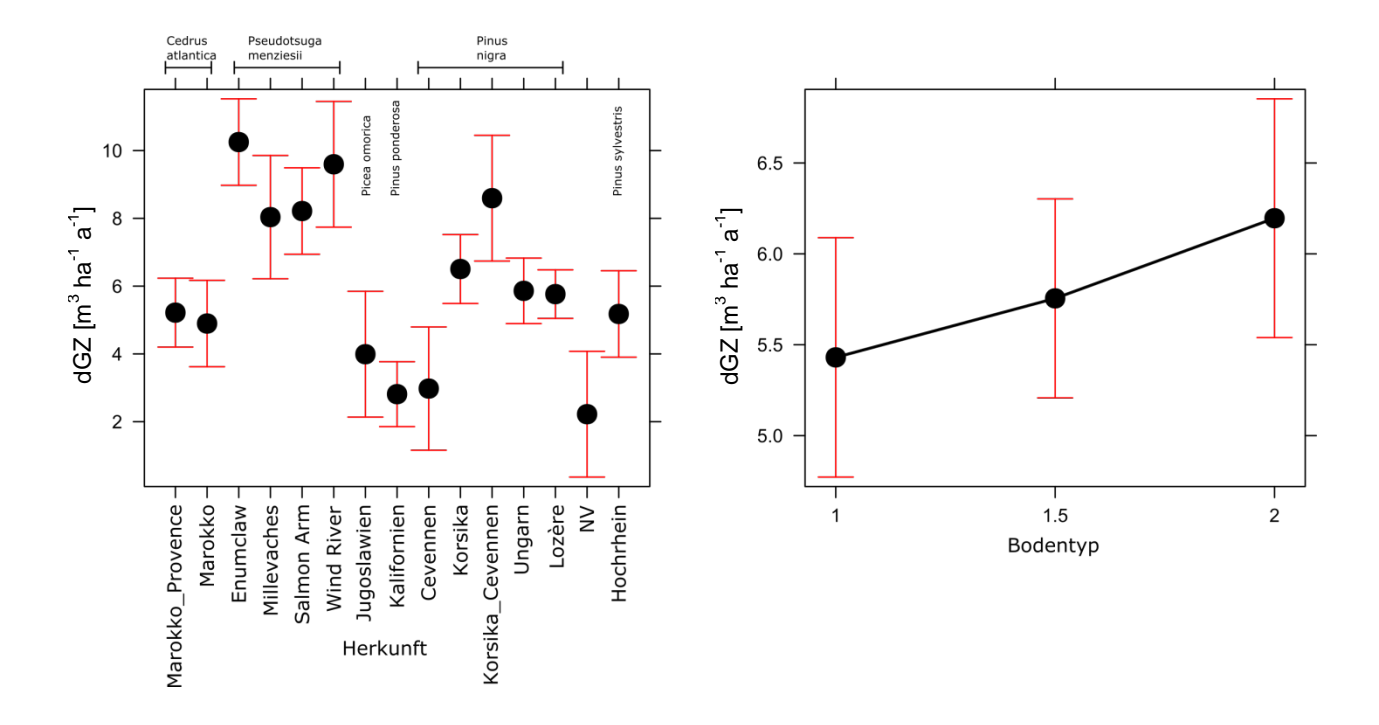


Abbildung 5. Effektplot von Herkunft und BT für glm (dGZ ~ Herkunft+ BT) mit BT 1.5 ohne BT 3. Bei der Atlaszeder ist davon auszugehen, dass beide Herkünfte aus der Provence stammen.

2.2.3 Grundfläche

Die Grundfläche der gemischten Zedernprovenienzflächen unterscheidet sich nicht signifikant von dem der Flächen "Provence", der Fichtenfläche, der Flächen der korsischen und ungarischen Schwarzföhren und der Provenienz "Lozère", sowie der Waldföhrenflächen (Tabelle 5, Abbildung 6). Die Nullfläche, Gelbföhrenflächen sowie die TFL der Schwarzföhrenprovenienz "Cevennen" haben einen negativen, TFL aller Douglasienherkünfte sowie der Schwarzföhrenherkunft "Korsika_Cevennen" einen positiven Effekt auf G. Der Effekt der TFL mit Provenienz "Millevaches" ist schwächer als der anderer Douglasienprovenienzen. Die Grundfläche scheint mit steigender Bodengüte zu steigen. Dieser Effekt ist jedoch nicht signifikant.

2.2.4 Oberdurchmesser

Im Vergleich mit dominanten Bäumen der gemischten Zedernprovenienzflächen haben alle Douglasienflächen einen signifikant positiven Effekt auf d_{dom} . Nullfläche, Serbische Fichte, die Gelbföhrenflächen sowie die Flächen der Schwarzföhrenprovenienz "Cevennen" haben signifikant negative Effekte auf d_{dom} . Der positive Effekt steigender Bodengüte ist für BT 2 signifikant (Tabelle 5, Abbildung 7).

Tabelle 4. Modellergebnisse für glm (G ~ Herkunft+ BT) mit BT 1.5 ohne BT 3. Die Tabelle gibt für die verwendeten Koeffizienten einen Schätzwert (Estimate), der Standardfehler (Std. Error), die Teststatistik (t value) sowie den dazugehörenden Pr Wert an. Die Sterne verdeutlichen das Signifikanzniveau.

G	Parameter		Estimate	Std. Error	t value	Pr(> t)	
	(Intercept)		29.77	2.92	10.18	0.0000	***
	Cedrus atlantica	Provence	-2.32	4.09	-0.57	0.5777	
	Pseudotsuga menziesii	Enumclaw	16.03	4.09	3.92	0.0010	***
	Pseudotsuga menziesii	Millevaches	9.53	5.23	1.82	0.0851	
	Pseudotsuga menziesii	Salmon Arm	10.03	4.09	2.46	0.0245	*
	Pseudotsuga menziesii	Wind River	12.43	5.29	2.35	0.0302	*
	Picea omorica	Jugoslawien	-4.77	5.29	-0.90	0.3792	
	Pinus ponderosa	Kalifornien	-12.94	3.48	-3.72	0.0016	**
	Pinus nigra	Cevennen	-12.47	5.23	-2.38	0.0284	*
	Pinus nigra	Korsika	3.00	3.60	0.83	0.4152	
	Pinus nigra	Korsika_Cevennen	12.03	5.29	2.28	0.0352	*
	Pinus nigra	Ungarn	0.83	3.51	0.24	0.8147	
	Pinus nigra	Lozère	0.75	3.12	0.24	0.8136	
	Nullfläche	NA	-14.97	5.29	-2.83	0.0111	*
	Pinus sylvestris	Oberrhein	-2.32	4.09	-0.57	0.5776	
	BT 1.5		1.70	2.25	0.76	0.4594	
	BT 2		3.10	2.60	1.19	0.2492	

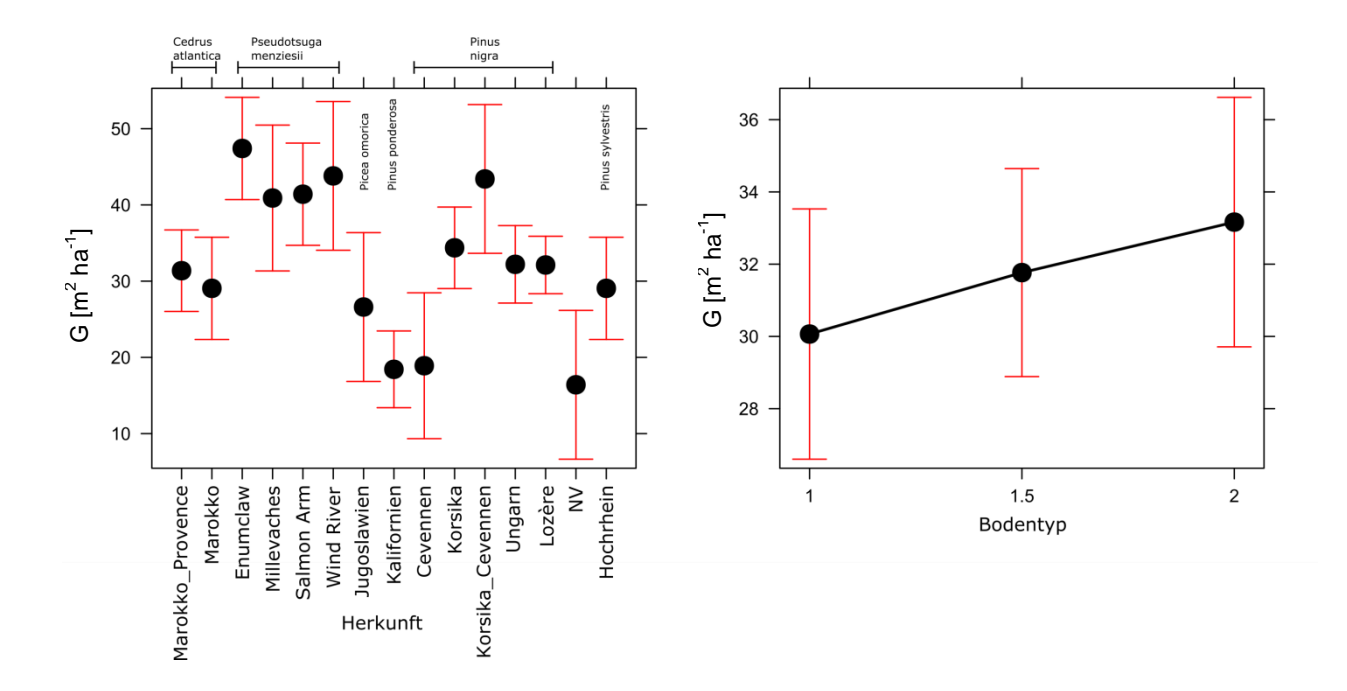


Abbildung 6. Effektplot von Herkunft und BT für glm (G \sim Herkunft+ BT) mit BT 1.5 ohne BT 3. Bei der Atlaszeder ist davon auszugehen, dass beide Herkünfte aus der Provence stammen.

Tabelle 5. Modellergebnisse für glm ($d_{dom} \sim Herkunft+$ BT) mit BT 1.5 ohne BT 3. Die Tabelle gibt für die verwendeten Koeffizienten einen Schätzwert (Estimate), den Standardfehler (Std. Error), die Teststatistik (t value) sowie den dazugehörenden Pr Wert an. Die Sterne verdeutlichen das Signifikanzniveau.

d_{dom}	Parameter		Estimate	Std. Error	t value	Pr(> t)	
	(Intercept)		33.65	1.09	30.89	< 2e-16	***
	Cedrus atlantica	Provence	-1.38	1.52	-0.90	0.3781	
	Pseudotsuga menziesii	Enumclaw	11.72	1.52	7.70	0.0000	***
	Pseudotsuga menziesii	Millevaches	9.30	1.95	4.77	0.0002	***
	Pseudotsuga menziesii	Salmon Arm	7.67	1.52	5.04	0.0001	***
	Pseudotsuga menziesii	Wind River	11.65	1.97	5.92	0.0000	***
	Picea omorica	Jugoslawien	-6.65	1.97	-3.37	0.0034	**
	Pinus ponderosa	Kalifornien	-10.85	1.30	-8.36	0.0000	***
	Pinus nigra	Cevennen	-5.60	1.95	-2.87	0.0101	*
	Pinus nigra	Korsika	1.00	1.34	0.75	0.4653	
	Pinus nigra	Korsika_Cevennen	2.85	1.97	1.45	0.1650	
	Pinus nigra	Ungarn	-1.64	1.31	-1.25	0.2263	
	Pinus nigra	Lozère	-1.04	1.16	-0.89	0.3845	
	Nullfläche	NA	-10.35	1.97	-5.25	0.0001	***
	Pinus sylvestris	Oberrhein	-2.38	1.52	-1.56	0.1361	
	BT 1.5		0.56	0.84	0.66	0.5159	
	BT 2		2.70	0.97	2.79	0.0122	*

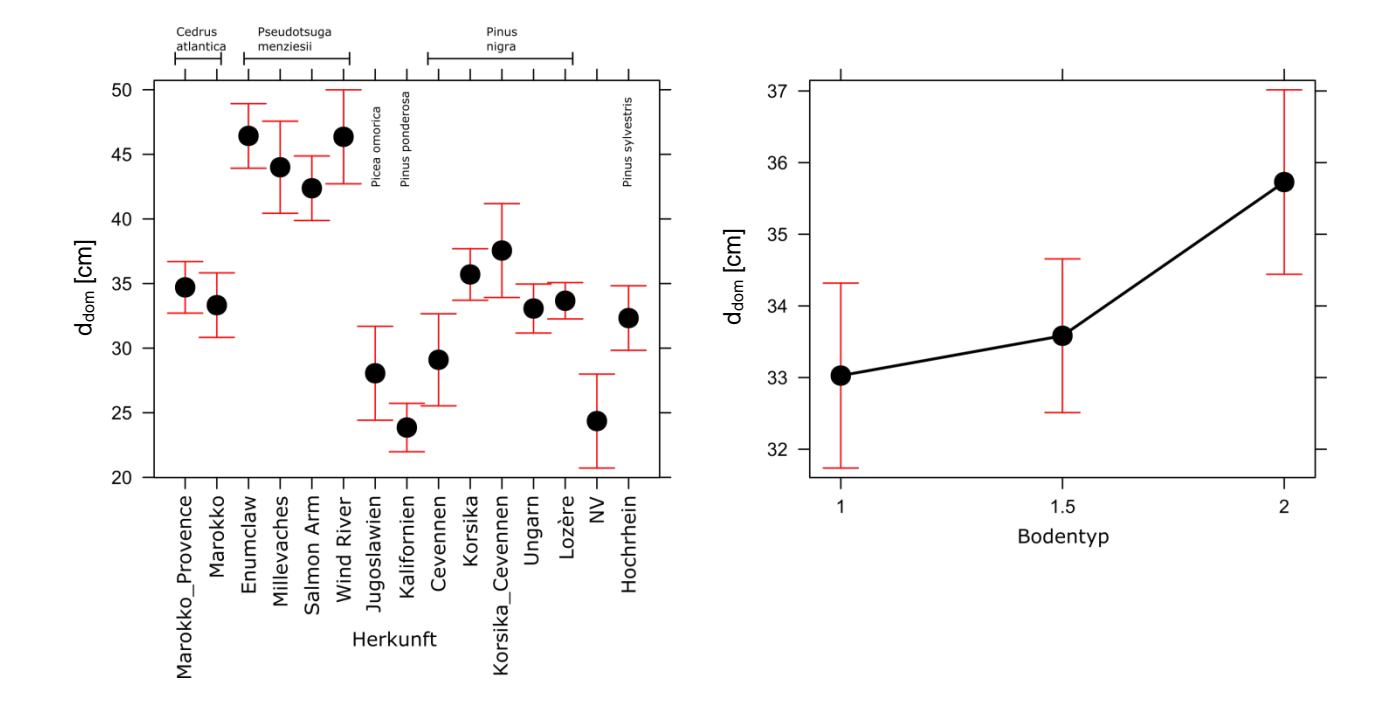


Abbildung 7. Effektplot von Herkunft und BT für glm ($d_{dom} \sim$ Herkunft+ BT) mit BT 1.5 ohne BT 3. Bei der Atlaszeder ist davon auszugehen, dass beide Herkünfte aus der Provence stammen.

2.2.5 Oberhöhe

Im Vergleich mit dominanten Bäumen der gemischten Zedernprovenienzflächen haben alle Douglasienflächen einen signifikant positiven Effekt auf h_{dom}. Der positive Effekt der TFL "Korsika_Cevennen" (p=0.0954) und der negative Effekt der Nullfläche (p=0.0913) sind nicht signifikant (Tabelle 6, Abbildung 8). In den Gelbföhrenflächen sowie den Flächen der Schwarzföhrenprovenienz "Cevennen" ist h_{dom} Signifikant kleiner. Der positive Effekt steigender Bodengüte ist für BT 2 signifikant.

Tabelle 6. Modellergebnisse für glm (h_{dom} ~ Herkunft+ BT) mit BT 1.5 ohne BT 3. Die Tabelle gibt für die verwendeten Koeffizienten einen Schätzwert (Estimate), den Standardfehler (Std. Error), die Teststatistik (t value) sowie den dazugehörenden Pr Wert an. Die Sterne verdeutlichen das Signifikanzniveau.

h _{dom}	Parameter		Estimate	Std. Error	t value	Pr(> t)	
	(Intercept)		15.27	0.70	21.70	0.0000	***
	Cedrus atlantica	Provence	0.64	0.98	0.65	0.5265	
	Pseudotsuga menziesii	Enumclaw	10.14	0.98	10.30	0.0000	***
	Pseudotsuga menziesii	Millevaches	8.03	1.26	6.38	0.0000	***
	Pseudotsuga menziesii	Salmon Arm	7.64	0.98	7.76	0.0000	***
	Pseudotsuga menziesii	Wind River	10.24	1.27	8.04	0.0000	***
	Picea omorica	Jugoslawien	-1.27	1.27	-1.00	0.3313	
	Pinus ponderosa	Kalifornien	-2.14	0.84	-2.56	0.0198	*
	Pinus nigra	Cevennen	-2.97	1.26	-2.36	0.0300	*
	Pinus nigra	Korsika	1.33	0.87	1.54	0.1412	
	Pinus nigra	Korsika_Cevennen	2.24	1.27	1.76	0.0954	
	Pinus nigra	Ungarn	-0.81	0.84	-0.96	0.3489	
	Pinus nigra	Lozère	-0.24	0.75	-0.32	0.7519	
	Nullfläche	NA	-2.27	1.27	-1.78	0.0913	
	Pinus sylvestris	Oberrhein	0.38	0.98	0.39	0.7039	
	BT 1.5		0.70	0.54	1.29	0.2142	
	BT 2		1.49	0.63	2.38	0.0288	*

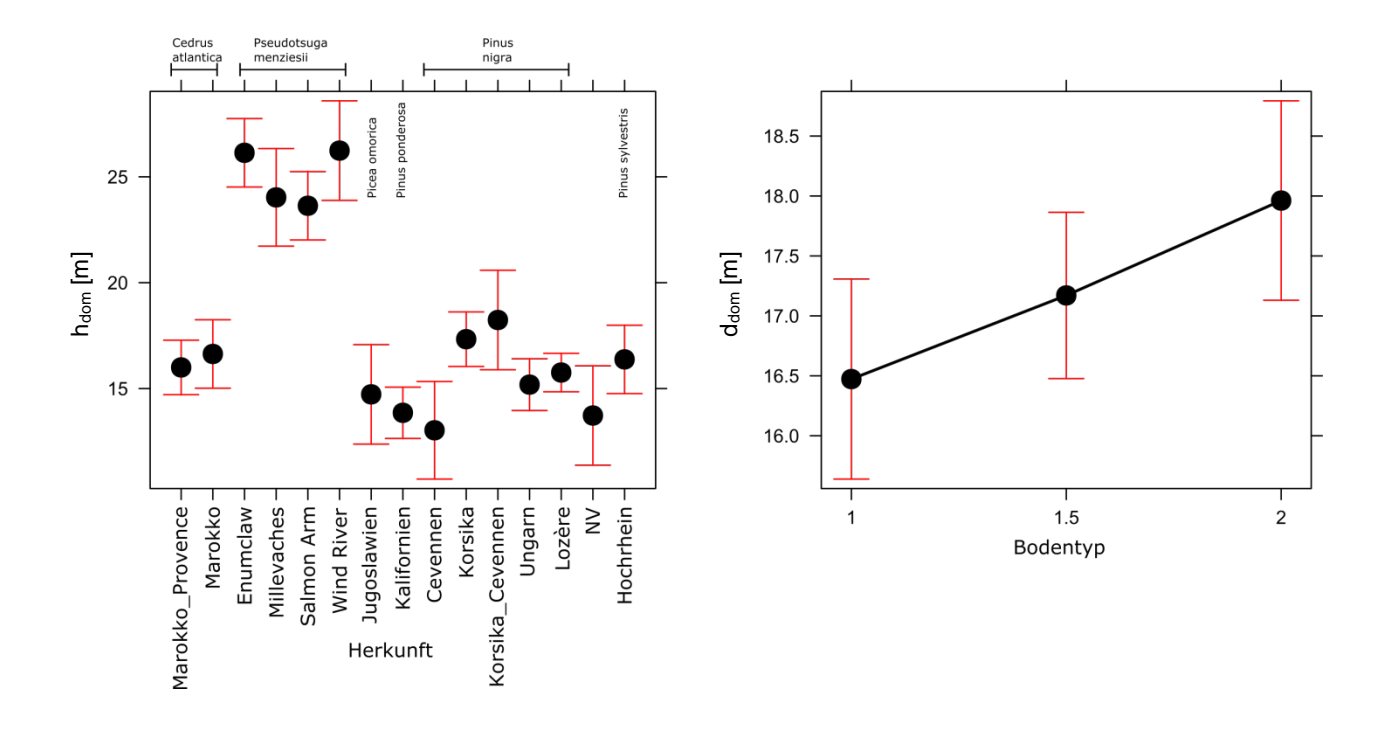


Abbildung 8. Effektplot von Herkunft und BT für glm (h_{dom} ~ Herkunft+ BT) mit BT 1.5 ohne BT 3. Bei der Atlaszeder ist davon auszugehen, dass beide Herkünfte aus der Provence stammen.

2.3 Zusammenfassung der Ergebnisse der Erstinventur 2018

Die Versuchsanlage im Bois de Forel weist zwar bei vielen Baumarten und Herkünften mehrere Wiederholungen auf. Diese Wiederholungen sind aber ungleichmässig über die BT verteilt. Der BT beeinflusst Oberhöhen und Oberdurchmesser teils signifikant, was die Interpretation der ertragskundlichen Kennwerte erschwert.

Nach den Gelbföhrenflächen finden sich auf den Douglasien-Teilflächen die höchsten Anteile der gepflanzten Bäume an der Stammzahl und das absolut höchste Volumen/ha aller untersuchten Baumarten. Zedern und Schwarzföhren ähneln sich in den Volumenanteilen, die Waldföhrenflächen sind weit abgeschlagen.

Mit einem dGZ von 8-10 m³/ha und Jahr liegt der durchschnittliche Gesamtzuwachs der Douglasien-TFL wesentlich höher als bei Schwarzföhre (6-9), Atlaszeder (5) und Waldföhre (5), sowie fast vier Mal so hoch wie bei der Gelbföhre (2,6). Den geringsten dGZ weist mit etwa 2 m³/ha und Jahr die Nullfläche auf.

Die hohe Mortalität zu Anfang des Versuchs, im Zuge der Sommertrockenheit von 1976, sorgte bei Douglasie und Zeder für Ausfälle von ca. 30%, vor allem auf den Kuppen (BT 1), liess aber Schwarzföhren fast ganz unberührt (Jeantet 2002). In der Erstaufnahme 2017 fallen die hohen Anteile von abgestorbenen Bäumen unter den Schwarz- und Gelbföhren auf, die bei 8,7% bzw. 14,2% der Stammzahl liegen (Tabelle 37). Diese Anteile, welche die rezente Mortalität anzeigen, liegen bei Waldföhren (5,8%), Zedern (3,4%) und Douglasien (1,3%) wesentlich tiefer.

Auf den trockenen Buchenstandorten des Bois de Forel wuchs die Douglasie mit Abstand am schnellsten, obwohl ihr auf kalkhaltigem Oberboden Anwuchsschwierigkeiten nachgesagt werden. Schwarzföhre, Waldföhre und Atlaszeder wuchsen ähnlich rasch und wesentlich rascher als die Gelbföhre und die einheimischen Laubbaumarten. Während Douglasie und Zeder wenige Jahre nach der Pflanzung im Trockensommer 1976 grosse Ausfälle zeigten, ist ihre Mortalität derzeit gering, dies im Gegensatz zu allen Föhrenarten.

Gegenüber den erwähnten grossen Wachstumsunterschieden zwischen den Baumarten unterscheiden sich verschiedene Herkünfte der geprüften Baumarten weniger stark, aber immer noch um etwa 1-2 m³ pro ha und Jahr.

3 Untersuchung der Zuwachsreaktion von Douglasie, Schwarzföhre und Atlaszeder nach Trockenheit

3.1 Methoden der Jahrringstudie

Die wesentlichen, in diesem Berichtsteil festgehaltenen Arbeitsschritte sind:

- Die bodenkundliche Charakterisierung der VFL
- Die Beschaffung von Klimadaten
- Die Auswahl und dendrologische Beprobung der Baumarten und Provenienzen
- Die dendrochronologische Datierung und Aufbereitung der Zuwachsdaten
- Die Modellierung der Resilienzindizes

3.1.1 Bodenansprache im Feld und Laboranalysen

Bei der Bodenansprache im Feld wurden wichtige Bodeneigenschaften erfasst, BT und Humusform bestimmt sowie die Entwicklung des Bodens abgeschätzt. Fünf Bodenprofile wurden, in ebener Lage mit der Stirnseite nach Süden exponiert (Beleuchtung) und am Hang mit der Stirnseite hangwärts quer zur Falllinie, im Zwischenkronenbereich gegraben (Lage der Profile s. Abbildung 2). Die Profilbreite betrug ca. 80-100 cm. Der gesamte Wurzelraum konnte aufgrund des Skelettreichtums im Unterboden nicht vollständig erfasst werden. Die Profile konnten nur bis maximal 50 cm ausgehoben werden, danach war der Skelettgehalt >75%, wobei den Bäumen trotzdem noch genügend Raum zur Verfügung steht, um ihr Wurzelwerk in grössere Tiefen zu entwickeln.

Allgemeine Bodenfaktoren und -eigenschaften wie Höhe ü.M., Exposition, Hangneigung, Relief, Geologie sowie Angaben zur Vegetation wurden protokolliert. Bei der Profilansprache wurden zuerst die Horizontgrenzen mit Hilfe verschiedener Merkmale (Farbe der Feinerde, Tiefe der Kalkgrenze, Textur, Struktur, Vernässungsmerkmale, Dichte, Skelettgehalt) festgelegt. Danach wurden horizontweise folgende Merkmale beschrieben bzw. geschätzt, wobei sich das Vorgehen nach dem Arbeitskreis Standortskartierung in der Arbeitsgemeinschaft Forsteinrichtung (1996) richtet:

- Tiefe der Horizontgrenzen, Horizontmächtigkeit
- Skelettgehalt und Skelettgrösse
- Textur und Struktur der Feinerde
- Lagerungsdichte
- Hydromorphie
- Humusgehalt
- Bodenorganismen
- Karbonattest Feinerde und Gestein
- Durchwurzelung
- Bodenfarbe

Für jedes dieser Merkmale (ausser der messbaren Horizontmächtigkeit) wurden diskrete Kategorien definiert, die mit Codes (1, 2, 3,) im Protokoll erfasst wurden. Von jedem Horizont wurde eine Probe der Feinerde (ca. 1 kg) für Laboruntersuchungen entnommen. Zudem wurden je nach Machbarkeit in 2 bis 3 Tiefen je 3 ungestörte Zylinderproben zur Bestimmung der Lagerungsdichte im Labor entnommen.

Zur Charakterisierung des Bodens auf der Versuchsfläche wurden fünf Bodenprofile beschrieben und beprobt. Aufgrund ähnlicher Eigenschaften wurden die Bodenprofile 1 und 5 zum BT 1 sowie die Bodenprofile 2 und 4 zum BT 2 zusammengefasst. Das Bodenprofil 3 definiert den BT 3. Alle Aufnahmen wurden auf dem Standardaufnahmeprotokoll der Forschungseinheit Waldböden und Biogeochemie der WSL protokolliert. Aufgrund der Mikrotopografie wurde die Verbreitung der 3 BT auf der gesamten Versuchsfläche kartiert und stichprobenweise mit dem Bodenbohrer verifiziert (Abbildung 2).

An den entnommenen Feinerdeproben wurde der pH-Wert in 0.01 M CaCl₂-Lösung potentiometrisch bestimmt. Zudem wurden die austauschbaren Kationen durch Extraktion mit 1 M NH₄Cl-Lösung und Messung am ICP-OES bestimmt. Die austauschbare Azidität wurde durch Extraktion mit 1 M KCl-Lösung und Titration des Extraktes gemessen. Basensättigung und Kationenaustauschkapazität wurden aus diesen austauschbaren Gehalten berechnet. Die Textur (Korngrössenzusammensetzung) wurde mit der Pipettmethode während der Sedimentation der aufgeschlämmten Probe bestimmt (Methoden s. Walthert et al. 2004). Die nutzbare Wasserspeicherkapazität wurde nach Teepe et al. (2003) berechnet.

3.1.2 Klimadaten und Trockenheitsindex

Monatsmittelwerte der Temperatur sowie monatliche Niederschlagsummen für den Zeitraum 1970-2016 basieren auf Daymet Daten. Diese wurden mithilfe aller verfügbaren Messstationen von MeteoSchweiz und eines Geländemodells in einer Auflösung von 100 m modelliert. Für die VFL im Bois de Forel wurden die Modellergebnisse innerhalb der Koordinaten (m) 525.000, 172.000 und 526.000, 173.000 (CH1903/LV03) gemittelt.

Zur Charakterisierung des Klimas wurde der Trockenheitsindex SPEI (Vincente-Serrano et al. 2010) für eine Dauer von 1, 3, 6 und 12 Monaten berechnet. Die monatlichen SPEI-Indizes repräsentieren die durch die Skala vorgegebene Dauer, rückwärts ab dem genannten Monat. So beinhaltet beispielsweise der SPEI3 für den Monat September Informationen zu Niederschlag und Temperatur von Juli bis September.

3.1.3 Auswahl der Probebäume

Die Struktur der VFL im Bois de Forel erleichterte die Planung des Studiendesigns und der Beprobung, da alle beprobten Bäume dasselbe Alter haben und unter denselben klimatischen Bedingungen aufgewachsen sind. Zudem liegen Koordinaten für alle beprobten Bäume sowie für Flächengrenzen vor. Die ertragskundliche Erstaufnahme der Fläche erfolgte in der Vegetationsruhe 2017/2018, es liegen also zeitnahe Messungen des BHD vor.

Im Rahmen dieser Studie wurden vier Herkünfte von Douglasie, drei Herkünfte von Schwarzföhre und eine Atlaszedernherkunft untersucht. Es wurden nur Bäume auf TFL untersucht, auf denen eine Vermischung von Herkünften ausgeschlossen werden konnte. Da aufgrund von Nachpflanzungen nicht auf allen TFL die ursprünglichen Provenienzen im Reinbestand vorkommen, konnten nur drei von vier Schwarzföhrenherkünften und nur eine von zwei Atlaszedernherkünften beprobt werden.

Je Herkunft wurden mindestens zehn herrschende Individuen ausgewählt. Die Gesamtheit der Probebäume wurde gleichmässig auf die TFL verteilt, auf denen diese Herkunft vertreten war. Pro TFL wurden die Bäume mit den jeweils grössten BHD-Werten ausgewählt, sofern diese vital und frei von groben Schäden und Fehlern an der Bohrstelle waren. Die Stichprobe ist also nicht repräsentativ für die Bestände, aber für deren dominante Bäume.

3.1.4 Bohrkernentnahme

Im Herbst 2018 wurden pro Baum zwei gegenüberliegende Bohrkerne, jeweils senkrecht zur Hangneigung, entnommen. Bohrhöhe war 1,0 m, um zu vermeiden, dass mögliches Kallusgewebe zukünftige BHD-Messungen auf 1,3 m beeinflusst. Wir benutzten Haglöfs Zuwachsbohrer mit einer Länge von 40 cm und einem Bohrdurchmesser von 5 mm. Die Bohrkerne wurden bis zur weiteren Verwendung in verschlossenen Papierhüllen aufbewahrt.

3.1.5 Jahrringmessung und Datierung

Die Bohrkerne wurden händisch mit einer Rasierklinge präpariert. Kerne, die nicht unmittelbar nach der Feldarbeit bearbeitet werden konnten, wurden gekühlt gelagert, um Schimmelbildung zu verhindern. Die Jahrringbreiten wurden mit einer Genauigkeit von 1/100 mm mit einem Messtisch von LINTAB (LINTAB 5; Rinntech, Heidelberg, Germany) und TSAP Win Scientific 4.63 Software (Rinntech, 2009) vermessen. Die Messungen wurden im Tucson Format (.rwl) als Rohwerte gespeichert. Diese verblieben unverändert und sind im Projektordner zugänglich (N:\prj\EK\Bois de Forel\2019_Jahrringstudie\Zuwachsdaten_Romainmôtier\RWL).

Aufgrund sehr ähnlicher Wachstumsverläufe und breiter Jahrringe aller untersuchten Bäume wurde die Kreuzdatierung durch den optischen Vergleich der Kurven durchgeführt. Danach wurde die Qualität der Datierung mit Standardroutinen überprüft.

3.1.6 Chronologien und Trendbereinigung

Für jede TFL, Art und Provenienz wurden Mittelkurven erstellt und mittels eines 30-jährigen Spline eine Trendbereinigung durchgeführt. Mean sensitivity, first order autocorrelation und series intercorrelation wurden für jede Mittelkurve mit den Funktionen "rwl.report" und "sens1" des R Pakets "dpIR" (Bunn 2008) ermittelt.

3.1.7 Ermittlung des Grundflächenzuwachses

Grundflächenzuwächse wurden mit der Funktion "bai.out" des R Pakets "dplR" (Bunn 2008) berechnet, unter Annahme eines pauschalen Rindenabzugs von 30 mm.

3.1.8 Klima-Wachstums-Analyse

Für die unbehandelten Zuwachsmittelkurven der Baumarten und Herkünfte wurde eine Korrelationsmatrix mit Jahresmitteltemperatur, Jahresniederschlagssumme, Sommerniederschlag sowie dem SPEI3.Sept des Wachstumsjahrs erstellt.

Ausserdem wurden mit der Funktion "dcc" im R Paket "treeclim" (Zang & Biondi 2015) Korrelationen der trendbereinigten Zuwachsmittelkurven von Baumarten und Herkünften mit Monatsmitteln von Temperatur und monatlichem Niederschlag von Juni des Vorjahres bis September des Wachstumsjahres (Abbildung 26- 28), sowie Moving-Window Korrelationen mit den SPEI Werten von März bis Oktober des Wachstumsjahres (Abbildung 23-25) berechnet.

3.1.9 Resilienzindizes des Durchmesserzuwachses

Um die Auswirkungen des Trockenjahrs 2003 auf den Durchmesserzuwachs der beprobten Bäume zu untersuchen, wurden die Widerstandsfähigkeit gegenüber der Trockenheit (RES), die Erholung des Zuwachses nach dem Trockenjahr (REC) und die Resilienz des Wachstums (RESIL) berechnet (Lloret et al. 2011).

$$RES = \frac{TROCKENHEIT}{vorTROCKENHEIT}$$

$$RESIL = \frac{nachTROCKENHEIT}{vorTROCKENHEIT}$$

$$REC = \frac{nachTROCKENHEIT}{TROCKENHEIT}$$

RES ist der radiale Zuwachs eines Baums während eines Trockenheitsereignisses im Verhältnis zum mittleren Zuwachs in einer Vortrockenheitsperiode. REC vergleicht das Zuwachsniveau in einem bestimmten Zeitraum nach der Trockenheit mit dem Zuwachs während der Trockenheit. RESIL setzt das Wachstum vor und nach der Trockenheit ins Verhältnis.

Diese Resilienzindizes wurden für den Zeitraum von 2 Jahren mit dem R-Paket pointRes (van der Maaten-Theunissen et al. 2015) berechnet. Der Zeitraum von zwei Jahren wurde gewählt, da im Jahr 2006 ein weiteres, klimatisch verhältnismässig trockenes Jahr folgte. Da für die Analyse der kurzfristigen Reaktion auf Trockenheit keine trendbereinigten Zuwachsdaten notwendig sind (Sohn et al. 2016), wurden die Resilienzindizes mit den unbehandelten Zuwachsdaten berechnet.

3.1.10 Generelle Lineare Modelle

Um den Einfluss von Baumart und Provenienz, BT und BHD auf die Resilienzindizes zu untersuchen, wurden verallgemeinerte lineare Modelle gefittet. Baumhöhen wurden nicht für alle beprobten Bäume gemessen und sind daher nicht als erklärende Variable geeignet. Aufgrund der Probebaumauswahl stammen alle beprobten Bäume aus dem herrschenden Bestand, weswegen auch die soziale Stellung als eine mögliche Variable entfällt.

Für die Resilienzindizes des Trockenjahrs 2003 wurde folgendes Modell angenommen:

R₂₀₀₃ ~ BT + Provenienz_in_Baumart

Da der BT 3 mit nur 7 Bäumen vertreten ist und im Vergleich zu den flachgründigen BT 1 und 2 eine Sonderstellung einnimmt, wurde das Modell zusätzlich mit einem

Datensatz ohne die Bäume in BT 3 berechnet. Für eine deutlichere Differenzierung der Provenienzen wurden ausserdem separate Modelle für Schwarzföhre und Douglasie berechnet, sowie ein separates Modell für den Einfluss der BT 1 und 2 auf das Wachstum der beprobten Zedern.

3.2 Ergebnisse der Jahrringstudie

3.2.1 Klima

Während die jährliche Niederschlagsumme im Zeitraum von 1970 bis 2016 relativ konstant blieb, nahm die Jahresmitteltemperatur zu und der Trockenheitsindex SPEI3.AUG (der Niederschlag, Temperatur und Evapotranspiration von Juni bis August integriert) leicht ab (Abbildung 9). Das Klima wurde wärmer und trockener. Der

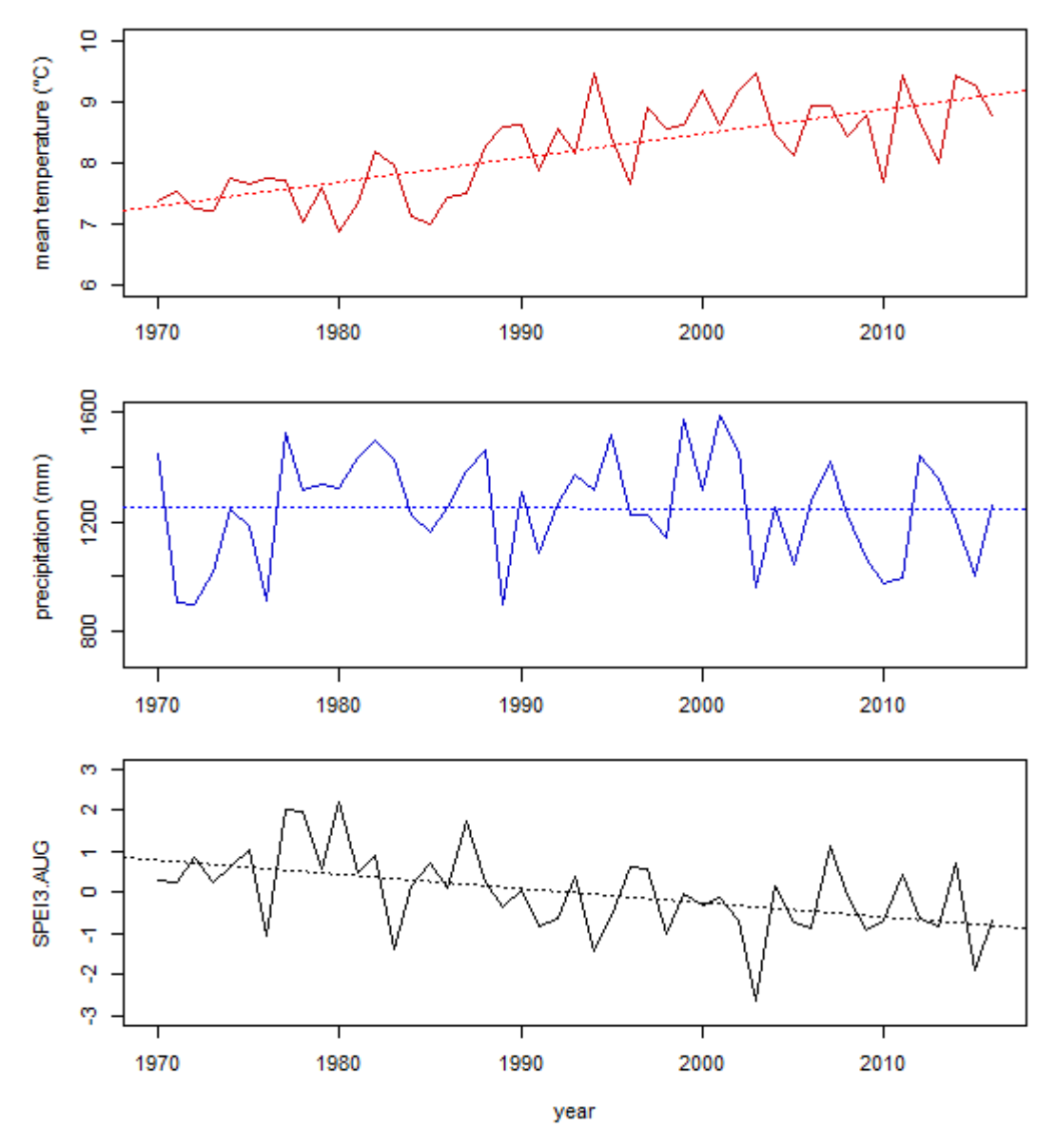


Abbildung 9. Jahresmitteltemperatur (°C), Niederschlagssumme (mm) und SPEI3.AUG von 1970 bis 2016 mit Trendlinien.

Niederschlag ist jedoch sehr gleichmässig über das Jahr verteilt (Abbildung 10). Mit einem mittleren Jahresniederschlag von rund 1250 mm und bei einer Jahresmitteltemperatur von 8,2 °C ist der Standort klimatisch nicht trocken. Mit einem SPEI3. Aug von -2.65, einer um 15% höheren Jahresmitteltemperatur als in der Vergleichsperiode 1970-2016 und fast 25% geringerer Niederschlagssumme war das Trockenjahr 2003 auch im Bois de Forel klimatisch extrem.

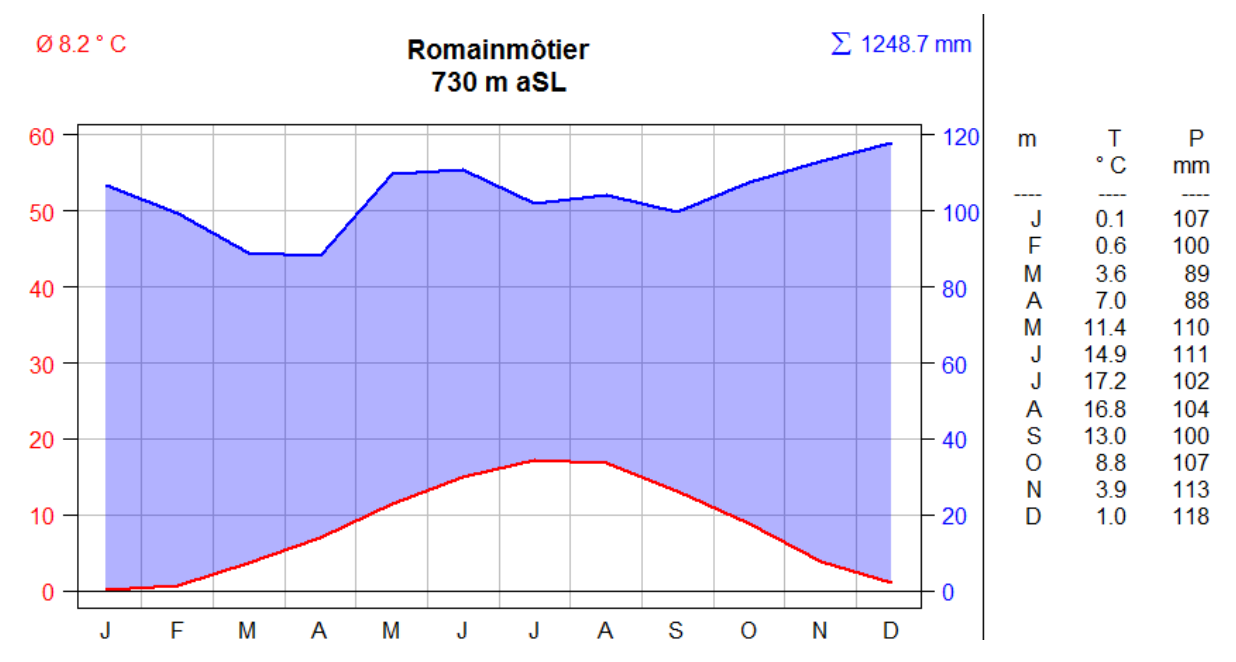


Abbildung 10. Klimadiagramm der Versuchsfläche im Bois de Forel.

3.2.2 Boden

Auf der Versuchsfläche dominieren Rohböden. Das geologische Ausgangsmaterial ist Sediment der Unterkreide. Das sind Mergel-Kalke (harte, gebankte Kalke mit mergeligen Zwischenlagen), welche sehr karbonathaltig sind und die Bodenentwicklung im Rohbodenstadium verharren lassen, solange noch freie Karbonate vorhanden sind. Dies ist bei den Bodenprofilen 1 und 5 (BT 1) sowie den Bodenprofilen 2 und 4 (BT 2) der Fall. BT 1 weist im Oberboden höhere pH-Werte (> 6) auf als BT 2 (pH-Wert im Oberboden zwischen 4.5 und 6), was sich in beginnender Verbraunung im BT 2 äussert. Die Basensättigung ist aber bei allen Profilen nahe 100% (Abbildung 19), Beim BT 3 liegt den Sedimenten der Unterkreide ein geringmächtiger Moräneschleier auf (Grundmoräne des Rhonegletschers, Würm). Dieser wurde im Lauf der Bodenentwicklung entkarbonatet, worauf eine Verbraunung einsetzte. Dies äussert sich in deutlich tieferen pH-Werten in den oberen Horizonten (pH < 4.5) und einer leichten Abnahme der Basensättigung (70% beim tiefsten pH-Wert). Insgesamt sind es flachgründige, zum Teil skelettreiche Böden mit einer guten Basenversorgung (Tabelle 7; bodenchemische Kennwerte s. Abbildung 19). BT 3 unterscheidet sich somit deutlich von den BT 1 und 2, indem er etwas tiefgründiger ist und eine deutlich höhere nWSK und einen geringeren Skelettanteil aufweist. In BT 3 stocken die TFL 311 der Douglasienprovenienz "Wind River" sowie etwa die Hälfte der TFL 588 der Schwarzföhrenprovenienz "Lozère" (vgl. Tabelle 8).

Tabelle 7. Bodeneigenschaften der drei unterschiedenen BT. Der pH ist als mittlerer Wert über die gesamte Aufschlusstiefe des Bodenprofils berechnet.

	Skelettanteil [%]	Gründigkeit [cm]	nWSK	pH_CaCl2
BT 1	90	42	31	7.05
BT 2	78	41	37	6.51
BT 3	14	53	89	5.05

Je tiefgründiger der Boden, desto weiter ist die Versauerung der oberen Bodenhorizonte fortgeschritten. Die flachgründigen Böden im Bois de Forel sind nach wie vor stark vom kalkhaltigen mineralischen Bodenhorizont beeinflusst. Abgesehen von BT 3 handelt es sich um flachgründige, zur Austrocknung neigende Böden. Dies zeigen die relativ geringe nWSK, der hohe Skelettgehalt und die geringe Gründigkeit. Daher ist das Baumwachstum in den Sommermonaten durch Bodentrockenheit limitiert.

Insgesamt stocken nur sieben der 94 beprobten Bäume auf BT 3. 53 Bäume wachsen auf BT 2 und 34 Bäume auf dem trockensten BT 1. Die bodenkundliche Kartierung lag zum Zeitpunkt der Jahrringentnahme noch nicht vor. Dies und die geringe Häufigkeit von BT 3 erklären die ungleiche Verteilung der beprobten Bäume auf die drei BT.

3.2.3 Übersicht über die Probebäume

Insgesamt wurden Zuwachsdaten von 94 Bäumen verwendet (Tabellen 8 und 9): 10 Atlaszedern, 40 Douglasien und 44 Schwarzföhren. Da in allen beprobten TFL mindestens drei Bäume beprobt wurden, können sich die Probebaumzahlen pro Provenienz unterscheiden.

Tabelle 8. Ertragskundliche Charakteristika der beprobten Herkünfte auf den jeweiligen TFL. Die Angaben beziehen sich auf die Gesamtheit der Bäume der jeweiligen Provenienz pro TFL (G, dGZ, IGZ und dGZ100/ha). BT nach Bodenkarte von Stephan Zimmermann. 1 – Kalkgrenze 0-10 cm, beginnende Verbraunung. 2 – Kalkgrenze 10-50 cm, Oberboden verbraunt. 3 – Kalkgrenze > 50 cm, verbraunt. ¹Ermittelt mit den Bonitierungshilfen nach Bösch (2001) für ein Bestandesalter von 45. Für *P. nigra* wurden die Zuwachstabellen der Waldföhre verwendet.

TFL	TFL-grösse (ha)	ВТ	Art	Herkunft	N/ha	h _{dom} (m)	h _g (m)	h/d	d _{dom} (cm)	G (m²/ha)	dGZ (m³/ha u. a)	IGZ ¹ (m³/ha u. a)	dGZ100 ¹ (m³/ha u. a)	N Bäume
116	0.097	2	Pseudotsuga menziesii	Millevaches	361	24	23	0.64	43.5	35.8	7.34	18.7	14	10
301	0.095	1	Pseudotsuga menziesii	Enumclaw	474	25	24	0.68	43.7	45.7	9.80	19.7	14	5
302	0.116	2	Pseudotsuga menziesii	Enumclaw	404	28	26	0.67	50.3	47.3	10.63	23.0	16	5
311	0.092	3	Pseudotsuga menziesii	Wind River	556	26	25	0.63	49.2	67.0	14.44	20.8	16	5
312	0.101	2	Pseudotsuga menziesii	Wind River	407	27	25	0.68	48.0	44.2	9.88	21.9	16	5
321	0.094	2	Pseudotsuga menziesii	Salmon Arm	426	24	22	0.65	42.9	39.3	7.98	18.7	14	5
322	0.112	2	Pseudotsuga menziesii	Salmon Arm	474	24	21	0.65	43.0	41.4	8.32	18.7	14	5
581	0.099	1	Pinus nigra	Lozère	436	15	13	0.50	32.3	24.6	4.33	8	6	3
582	0.096	1/2	Pinus nigra	Lozère	481	15	15	0.53	32.5	28.9	5.29	8	6	3
583	0.095	1	Pinus nigra	Lozère	547	16	15	0.54	34.0	33.5	6.24	8.8	6	3
584	0.098	1/2	Pinus nigra	Lozère	642	15	15	0.55	33.0	36.2	6.66	8	6	3
585	0.104	1	Pinus nigra	Lozère	589	14	13	0.52	30.8	29.7	5.13	7.3	6	3
586	0.090	1/2	Pinus nigra	Lozère	379	17	15	0.54	34.7	24.1	4.57	9.7	6	3
588	0.090	1/3	Pinus nigra	Lozère	354	17	15	0.62	32.3	16.8	3.08	9.7	6	3
362	0.132	1	Pinus nigra	Corse	470	17	17	0.56	36.3	34.3	6.88	9.7	6	3
364	0.099	2	Pinus nigra	Corse	423	18	17	0.53	31.7	33.4	6.71	10.5	8	3
365	0.094	1/2	Pinus nigra	Corse	413	17	16	0.58	32.8	24.1	4.64	9.7	6	4
541	0.100	2	Pinus nigra	Hongrie	359	16	15	0.55	34.0	21.9	4.11	8.8	6	3
542	0.090	2	Pinus nigra	Hongrie	633	17	16	0.58	34.6	36.5	6.97	9.7	6	3
544	0.099	1/2	Pinus nigra	Hongrie	548	16	45	0.55	33.7	34.2	6.47	8.8	6	3
545	0.094	2	Pinus nigra	Hongrie	436	14	15	0.55	32.7	26.3	4.9	7.3	6	4
32	0.082	2	Cedrus atlantica	Provence	538	17	14	0.62	34.4	28.5	5.15	NA	NA	5
33	0.098	1/2	Cedrus atlantica	Provence	449	17	14	0.63	33.4	23.0	3.88	NA	NA	5
														94

Provenienz/ BT	Korsika	Ungarn	Lozère	Millevaches	Enum- claw	Salmon Arm	Wind River	Provence	Summe
1	4	2	13	6	2	3		4	34
Douglasie				6	2	3			11
Schwarzföhre	4	2	13						19
Zeder								4	4
2	6	11	6	4	8	7	5	6	53
Douglasie				4	8	7	5		24
Schwarzföhre	6	11	6						23
Zeder								6	6
3			2				5		7
Douglasie							5		5
Schwarzföhre			2						2
Summe	10	13	21	10	10	10	10	10	94

Tabelle 9. Anzahl beprobte Bäume je Baumart, Provenienz und BT.

3.2.4 Dendroökologische Ergebnisse

Mit einer mittleren Jahrringbreite von knapp 3,5 mm fällt das Schwarzföhrenkollektiv deutlich hinter das Dickenwachstum von Douglasie (>5 mm) und Atlaszeder (knapp 4,3 mm) zurück (Tabelle 10). Im zeitlichen Verlauf geht das Durchmesserwachstum seit ca. 1995 zurück (Abbildung 11). Dabei ist zu beachten, dass die Zedern im Mittel deutlich weniger stark sind als die Douglasien. Das bedeutet wesentlich höhere Grundflächenzuwächse der Douglasien im Vergleich zur Zeder (Abbildung 12), bei ähnlichen Jahrringbreiten (Tabelle 10).

Tabelle 10 Statistik für die Jahrringchronologien. * Rohwerte, andere Werte basieren auf trendbereinigten Chronologien. EPS – expressed population signal, Rbar – mittlere Korrelation zwischen einzelnen Zeitreihen, Mean sensitivity – mittlere Jahr-zu-Jahr Variation der Zeitreihen. AC1 – Autokorrelation ersten Grads.

Chronologie	Mittlere Jahrringbreite (mm)*	Mittlerer G- Zuwachs (mm²/a)	Zeitraum	N Bäume	Inter- series corr.	EPS	Rbar	Mean sens.	AC1*
Douglasie	5.054	4417	1979-2018	41	0.697	0.984	0.612	0.215	0.524
Millevaches	4.998	3898	1975-2018	11	0.566	0.933	0.596	0.218	0.486
Enumclaw	5.278	4890	1976-2018	10	0.641	0.939	0.620	0.228	0.474
Wind River	5.283	5135	1979-2018	10	0.798	0.946	0.644	0.215	0.561
Salmon Arm	4.658	4122	1975-2018	10	0.750	0.945	0.648	0.214	0.562
Schwarzföhre	3.481	2547	1981-2018	47	0.834	0.981	0.531	0.302	0.562
Lozère	3.394	2369	1980-2018	24	0.826	0.960	0.504	0.301	0.611
Korsika	3.846	2943	1977-2018	10	0.847	0.905	0.497	0.294	0.532
Ungarn	3.571	2539	1981-2018	13	0.829	0.948	0.588	0.299	0.552
Atlaszeder	4.270	2710	1982-2018	10	0.724	0.932	0.584	0.298	0.456

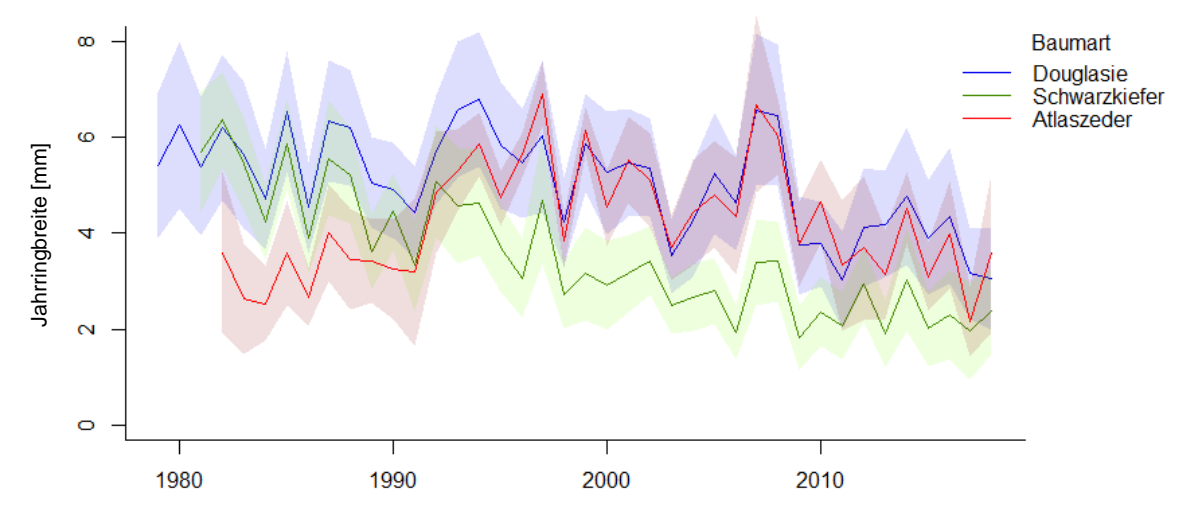


Abbildung 11. Mittelkurven des mittleren jährlichen Durchmesserzuwachses pro Baumart. Die Konfidenzbänder sind Standardabweichungen.

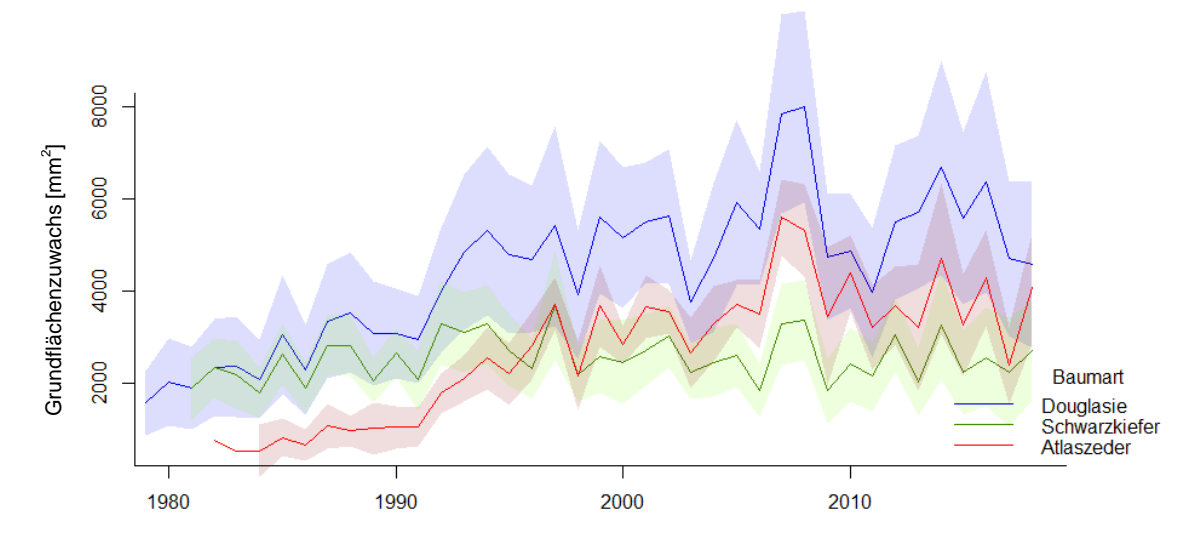


Abbildung 12. Mittelkurven des mittleren jährlichen Grundflächenzuwachses pro Baumart. Die Konfidenzbänder sind Standardabweichungen.

Die Mittelkurven des Durchmesserzuwachses der drei untersuchten Baumarten verlaufen sehr synchron, wenn auch auf unterschiedlichen Niveaus, was in hohen Werten der Gleichläufigkeit deutlich wird. Ab Ende der 90er Jahre wachsen die untersuchten Douglasien und Atlaszedern nicht nur fast perfekt synchron, sondern auch auf sehr ähnlichem Niveau (Abbildung 11). Auch unterschiedliche Herkünfte derselben Baumarten wachsen radial und bzgl. Grundfläche sehr synchron (Abbildungen 13 und 14 sowie Tabelle 23 im Anhang).

Tabelle 11. Gleichläufigkeit der Jahrringmittelkurven pro Baumart.

	Schwarzföhre	Douglasie	Atlaszeder	
Schwarzföhre	NA	0.86	0.86	
Douglasie	NA	NA	0.89	
Atlaszeder	NA	NA	NA	

Die Grundflächenzuwächse der Douglasien bewegen sich bis auf wenige Ausnahmen deutlich über dem Niveau der anderen Baumarten (Abbildungen 12-14) und steigen tendenziell an. Nach 2010 scheinen die Zuwächse zu stagnieren. Die

beprobten Zedern zeigen anfangs die geringsten Zuwächse und erreichen Ende der 1990er Jahre das Zuwachsniveau der Schwarzföhren. Diese steigern ihre Grundflächenzuwächse im Laufe des Beobachtungszeitraums nur marginal. Die Zedern starten auf dem niedrigsten Niveau und steigern die Zuwächse stetig bis ins Jahr 2008. Nach einem starken Einbruch im Jahr 2009 zeigen die Zuwächse einen leichten Negativtrend.

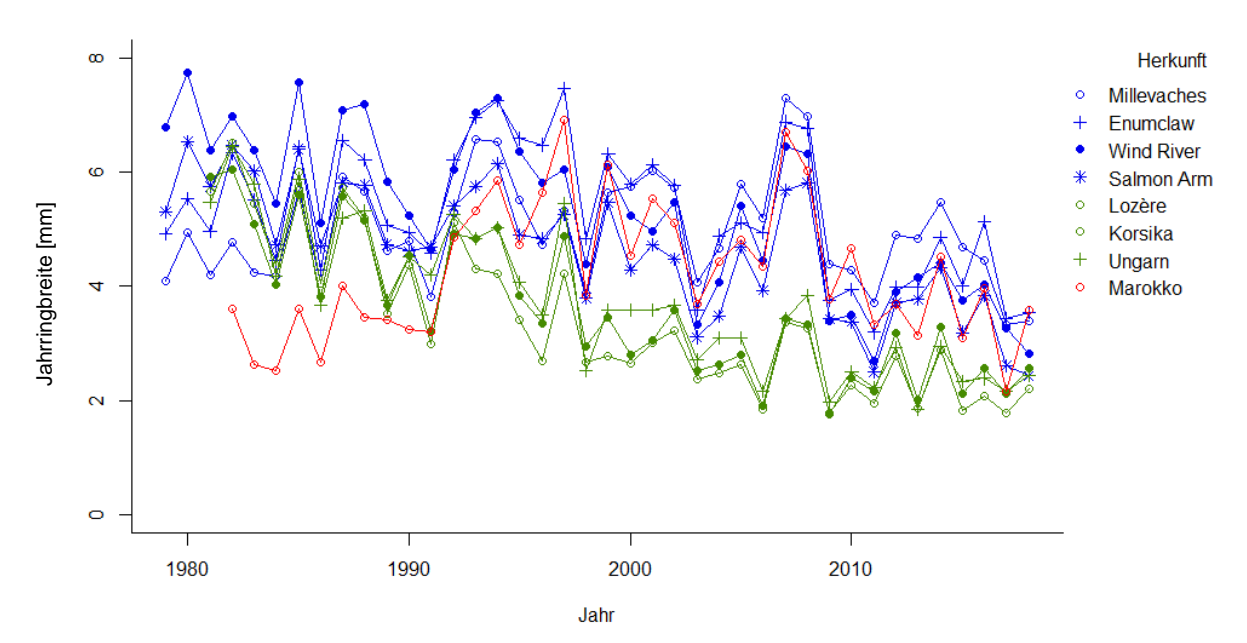


Abbildung 13. Mittelkurven des mittleren jährlichen Durchmesserzuwachses pro Herkunft. Douglasienherkünfte in blau, Föhrenherkünfte in grün und Zedernherkunft in roter Farbe.

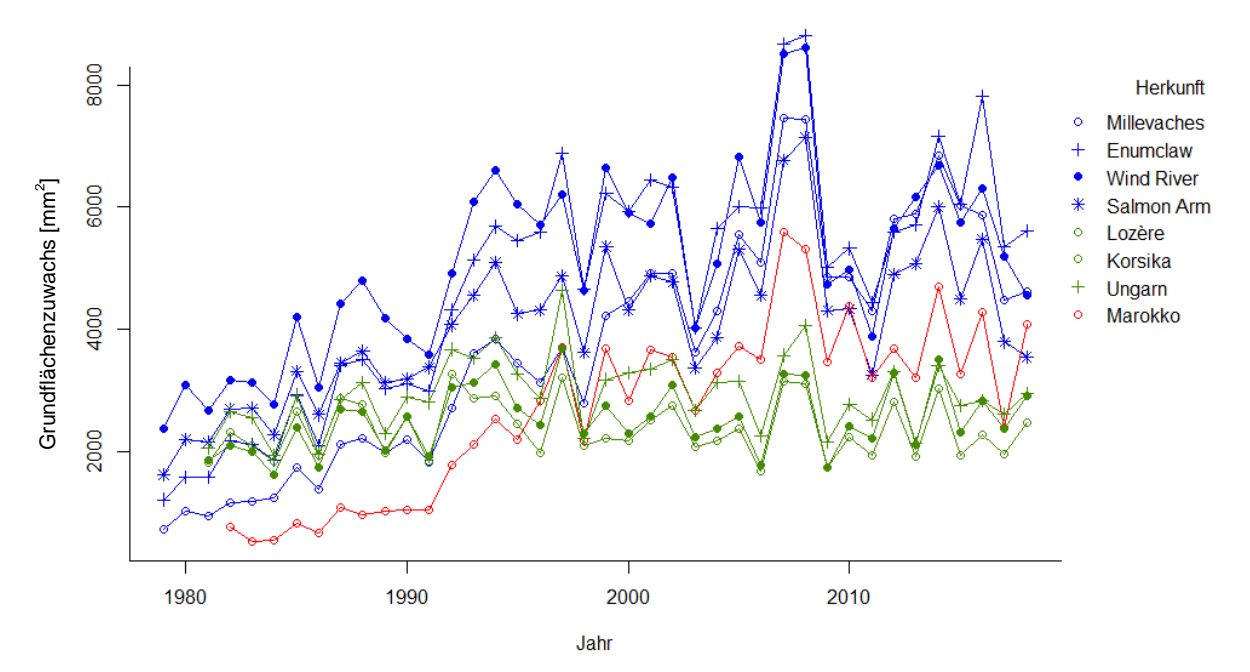


Abbildung 14. Mittelkurven des mittleren jährlichen Grundflächenzuwachses pro Herkunft. Douglasienherkünfte in blau, Föhrenherkünfte in grün und Zedernherkunft in roter Farbe.

Obwohl hohe Gleichläufigkeitswerte nicht automatisch auf die Eignung einer Jahrringchronologie zur Klimarekonstruktion schliessen lassen (Buras 2017), deuten die
über alle gebildeten Kollektive hinweg sehr hohen Werte doch auf ein starkes
gemeinsames Wachstumssignal hin. Dies ist typisch für Standorte, auf denen Bäume
einem bestimmten das Wachstum limitierenden Faktor ausgesetzt sind (Fritts 2012),

also ein gemeinsames Wachstumssignal teilen (Zang et al. 2012). Auf den flachgründigen Böden im Bois de Forel dürfte dieses Signal vor allem durch die Wasserverfügbarkeit während der Vegetationsperiode bestimmt sein.

3.2.5 Klima und Wachstum

Das Durchmesserwachstum der Douglasienherkünfte, insbesondere "116 – Millevaches" und "300 – Enumclaw", korreliert stark positiv mit der Menge des Sommerniederschlags und (bei allen Herkünften) hohen SPEI3.SEPT-Werten (Tabellen 23 und 24), d.h. feuchten Sommern. Korreliert der Durchmesserzuwachs der Herkünfte "Salmon Arm" und "Wind River" von 1982 bis 2016 noch positiv mit warmen Temperaturen im Dezember und Januar (Tabelle 25), werden von 2000-2016 für alle Provenienzen die Temperaturen von März bis Juni bedeutend (Tabelle 26).

Das Wachstum der Schwarzföhrenherkünfte korreliert am schwächsten mit dem Trockenheitsindex, jedoch am stärksten negativ mit niedrigen Durchschnittstemperaturen. Diese fallen auch bei den Douglasienherkünften "310 – Wind River" und "320 – Salmon Arm" auf. Für den Zeitraum 1982-2016 korreliert die Jahrringbreite der Schwarzföhrenherkünfte positiv mit den Temperaturen im Februar, September und Dezember (Tabelle 25). Im jüngeren Zeitraum (2000-2016) verlieren die Temperaturen im Februar an Bedeutung (Tabelle 26), dafür werden für das Durchmesserwachstum der Schwarzföhren aus "Lozère" und "Ungarn" die Temperaturen im Frühjahr und Frühsommer relevant (April, Mai (nur Ungarn) und Juni).

Das Wachstum der Atlaszedernherkunft korreliert positiv mit feuchten Verhältnissen in den Sommermonaten (hoher SPEI3.SEPT), jedoch weniger stark als bei allen Douglasienherkünften. Anders als bei den anderen Baumarten und Herkünften korreliert bei der Atlaszeder das Wachstum im Zeitraum 1982-2016 positiv mit der Jahrestemperatur (Tabelle 25), auch wenn dieser Zusammenhang nur schwach ist. Für den Zeitraum 1982-2016 korrelieren die Durchmesserzuwächse der Zedern vor allem positiv mit den Monatstemperaturmitteln von Oktober bis Dezember. Dieser Zusammenhang verschwindet für den Zeitraum 2000-2016, in dem vor allem die Temperaturen von März und April positiv mit dem Zuwachs korrelieren (Tabelle 26).

Analog zu fallenden SPEI-Werten und steigender Jahresmitteltemperatur verändern sich die Klima-Wachstumskorrelationen im Laufe der Zeit. Vor allem die veränderte Korrelation mit SPEI sticht heraus: In der Periode 1982-2016 ist die Korrelation mit dem Durchmesserzuwachs nur schwach (Tabelle 23), in der Periode 2000-2016 aber stark (Tabelle 24), am ausgeprägtesten bei Atlaszeder und Schwarzföhre. Im selben Zeitraum nimmt bei allen Baumarten auch die Korrelation des Durchmesserzuwachses mit der Temperatur der Monate April bis Juni stark zu (Tabellen 25 und 26).

Moving-Window Korrelationen der trendbereinigten Wachstumsmittelkurven der drei Baumarten und ihrer Provenienzen für den Zeitraum von 1982 bis 2016 in Zehnjahresschritten (Abbildungen 23-25) zeigen eine zunehmend starke positive Korrelation von SPEI3-Werten und Wachstum ab den 2000er Jahren. Zudem fällt eine schrittweise Verschiebung dieses Zusammenhangs vom SPEI3 im Juni des Wachstumsjahrs in Richtung Herbst auf. Sind im Zeitraum 1994-2003 noch alle Mittelkurven am stärksten mit dem SPEI.curr.jul korreliert, verschiebt sich dieser Zusammenhang über Juli und August bis hin zu den höchsten Korrelationen mit dem SPEI für September und Oktober in den letzten drei berücksichtigten Zeitfenstern von 2004-2016. Dies legt nahe, dass der Einfluss von Temperatur und Niederschlag

in den Sommermonaten für das Durchmesserwachstum der untersuchten Bäume im Laufe der letzten zwei Jahrzehnte an Bedeutung gewinnt. Nicht auszuschliessen, aber wenig plausibel als Erklärung dafür, ist allerdings auch ein Alterstrend.

Während sich die Korrelationsmatrizen von Douglasie und Atlaszeder stark ähneln, fällt ein zunehmend negativer Zusammenhang zwischen dem Wachstum der Schwarzföhrenherkünfte und SPEI3-Werten für März des Wachstumsjahres auf (Abbildung 24). Feuchte Winter könnten sich demnach auf das Wachstum der untersuchten Schwarzföhren negativ auswirken. Der Grund dafür könnte sein, dass feuchte Winter die Anfälligkeit der Schwarzföhre auf Befall durch den Diplodia Erreger Sphaeropsis sapinea fördern (Petercord & Strasser 2017).

3.2.6 Resilienzindizes für 2003

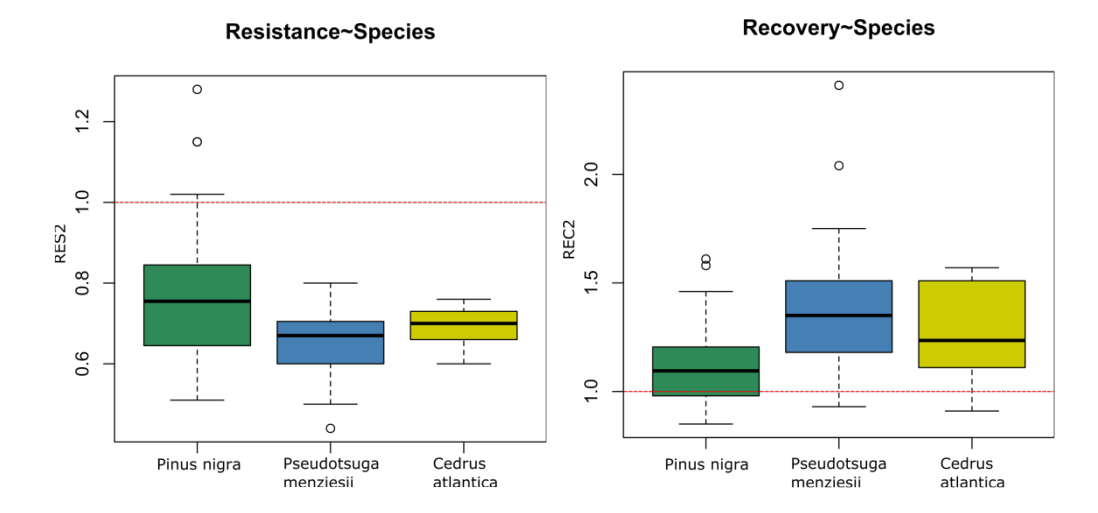
Die für jeweils zwei Jahre vor und nach dem Hitzesommer 2003 berechneten Resilienzindizes zeigt Tabelle 12. Sie werden im Folgenden beschreibend erläutert; die statistische Modellierung findet sich im nachfolgenden Kapitel 3.2.7.

Baumart	Resistenz		Reco	Recovery		Resilienz	
Herkunft	mean	sd	mean	sd	mean	sd	
Douglasie	0.652	0.081	1.372	0.285	0.888	0.168	
Enumclaw	0.601	0.083	1.384	0.127	0.835	0.159	
Millevaches	0.689	0.056	1.303	0.171	0.902	0.149	
Salmon Arm	0.681	0.090	1.321	0.201	0.894	0.143	
Wind River	0.638	0.069	1.479	0.496	0.919	0.223	
Schwarzföhre	0.771	0.173	1.110	0.185	0.849	0.211	
Corse	0.768	0.230	1.164	0.207	0.863	0.165	
Hongrie	0.769	0.116	1.118	0.226	0.860	0.227	
Lozère	0.773	0.180	1.080	0.146	0.835	0.229	
Atlaszeder	0.694	0.050	1.263	0.230	0.879	0.173	
Provence	0.694	0.050	1.263	0.230	0.879	0.173	
Ø	0.712	0.141	1.238	0.266	0.869	0.189	

Resistenz

Baumarten Die Werte der Resistenz für das Jahr 2003, verglichen mit dem mittleren Wachstum der beiden vorangegangenen Jahre, ähneln sich über Baumarten und Herkünfte hinweg (Abbildung 15). Die grössten relativen Wachstumseinbussen verzeichnen die Douglasien (RES2 ~0.652) während der geringste Verlust, jedoch mit der grössten Standardabweichung, im Schwarzföhrenkollektiv zu finden ist.

Herkünfte Unter den Douglasien bricht das Wachstum der Herkunft "Enumclaw" am stärksten ein, während die französische "Millevaches" Provenienz und die Herkunft "Salmon Arm" die geringsten Einbussen verzeichnen. Die Wachstumseinbussen der drei Schwarzföhrenherkünfte sind einander sehr ähnlich.



Resilience~Species

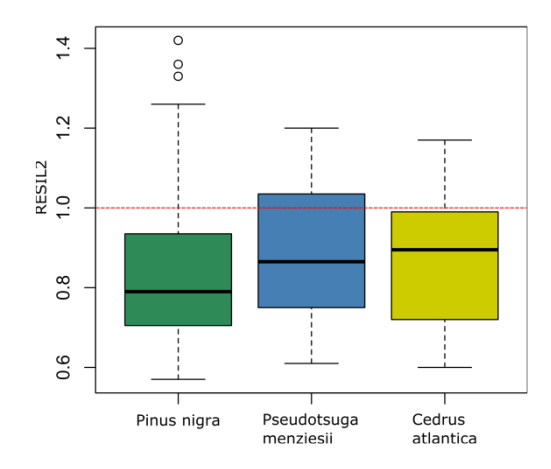


Abbildung 15. Boxplots der Resilienzindizes Resistance (RES2, links oben), Resilience (RESIL2, rechts oben) und Recovery (REC2, links unten) für 2 Jahre vor/nach dem Trockenjahr 2003 nach Baumarten.

Recovery

Baumarten Das mittlere Wachstumsniveau der Jahre 2004 und 2005 liegt für die Douglasien am deutlichsten über dem des Trockenjahrs 2003, gefolgt von Atlaszedern und Schwarzföhren (Tabelle 12). Während über ein Drittel der Schwarzföhren in den beiden Jahren nach der Trockenheit weniger stark wachsen als 2003, ist dies bei nur 10% der Atlaszedern und nur knapp einem Prozent der Douglasien der Fall.

Herkünfte Die Douglasienherkünfte mit geringeren RES2 Werten zeigen die höheren Erholungsraten. So liegt das mittlere Dickenwachstum der Herkunft "Wind River" in den beiden Jahren nach der Trockenheit um fast 50% über dem im Jahr 2003, allerdings auch mit der höchsten Streuung. Die Hälfte der Bäume dieser Provenienz stockt auf dem BT 3, dem tiefgründigen, am besten mit Wasser versorgten Boden. Die REC2 dieser Bäume beträgt 1.654, während sie bei Bäumen derselben Herkunft auf BT 2 nur 1.304 beträgt (Tabelle 13 im Anhang). Damit liegt dieses Teilkollektiv der Herkunft auf dem Niveau von "Millevaches" am unteren Ende der Recovery-Werte der Douglasien. Die Provenienz "Enumclaw" zeigt ohne Berücksichtigung der Bäume auf BT3 die höchste Erholungsrate.

Die korsischen Schwarzföhren erholen sich am stärksten von ihrem Wachstumseinbruch, die Schwarzföhren der Herkunft "Lozère" am schwächsten.

Resilienz

Baumarten Das mittlere Wachstum der beiden Folgejahre von 2003 liegt für alle Baumarten und Herkünfte unter dem der Jahre 2001 und 2002 (Tabelle 12, Abbildungen 15 und 16). Die Resilienzniveaus der Baumarten sind sich deutlich ähnlicher als die Resistenz- und Recovery-Werte und liegen im Mittel bei 0.869. Douglasien zeigen eine ähnlich hohe mittlere Resilienz wie die Atlaszedern, dicht gefolgt von den Schwarzföhren. Dies verändert sich bei Ausschluss der Bäume auf BT3 (s. Tabelle 13 im Anhang).

Herkünfte Die Douglasienherkunft "Wind River" hebt sich mit einer RESIL2 von 0.919 etwas von den anderen Provenienzen ab. Hier nehmen wiederum die Bäume auf BT 3 mit einer mittleren Resilienz-Wert von 0.956 eine Sonderstellung ein. Die mittlere Resilienz der restlichen Bäume dieser Herkunft beträgt 0.882 und liegt damit noch unter derjenigen der Herkünfte "Millevaches" und "Salmon Arm". "Enumclaw" erreicht trotz höchster Erholungswerte nur die geringsten RESIL2-Werte der Douglasienherkünfte. Möglicherweise setzt sich deren Erholung aber in den Folgejahren fort.

Zusammenfassung Resilienzindizes

Die untersuchten Douglasien weisen die grössten Wachstumsverluste im Trockenjahr 2003, aber auch die höchsten Erholungsraten in den beiden Folgejahren auf. Demgegenüber zeigen die Schwarzföhren die geringsten Wachstumseinbussen, aber auch die trägsten Erholungsraten (Abbildungen 15 und 16). Die Ergebnisse werden leicht dadurch beeinflusst, dass die Atlaszedern nicht auf BT 3 vorkommen; zudem liegen hier nur Ergebnisse einer Herkunft vor.

Die Douglasienprovenienz "Wind River" weist besonders hohe RES2 und RESIL2 Werte auf (Abbildung 16). Allerdings wächst die Hälfte der Bäume auf dem BT 3, was auch die grossen Streuungen der Indizes erklären dürfte. Die übrigen Bäume dieser Provenienz, die auf einem mit den anderen Herkünften vergleichbaren BT wachsen, zeigen keine erhöhten Erholungsraten (Tabelle 13 im Anhang). Dass der BT möglicherweise eine bedeutende Rolle spielt, zeigen auch die beiden Schwarzföhren der Herkunft Lozère, die auf BT 3 stocken (Abbildung 31): Ihre mittleren Resilienzindizes liegen mit einem RES2 von 1.03 (Ø Lozère: 0.773), REC2 von 1.354 (Ø Lozère: 1.080) und RESIL2 mit 1.375 (Ø Lozère: 0.835) deutlich über dem Mittelwert der Herkunft (vgl. Tabellen 12 sowie 13 im Anhang).

Resistenz, Erholungsrate (Recovery) und Resilienz im Trockenjahr 2003 hängen zusammen (Abbildung 32). Je geringer der Wachstumseinbruch war, desto geringer ist die Erholungsfähigkeit. Bäume mit rascher Wiederaufnahme des Wachstums vor dem Trockenjahr (hoher Resilienz) weisen auch eine erhöhte Resistenz und eine erhöhte Erholungsrate auf.

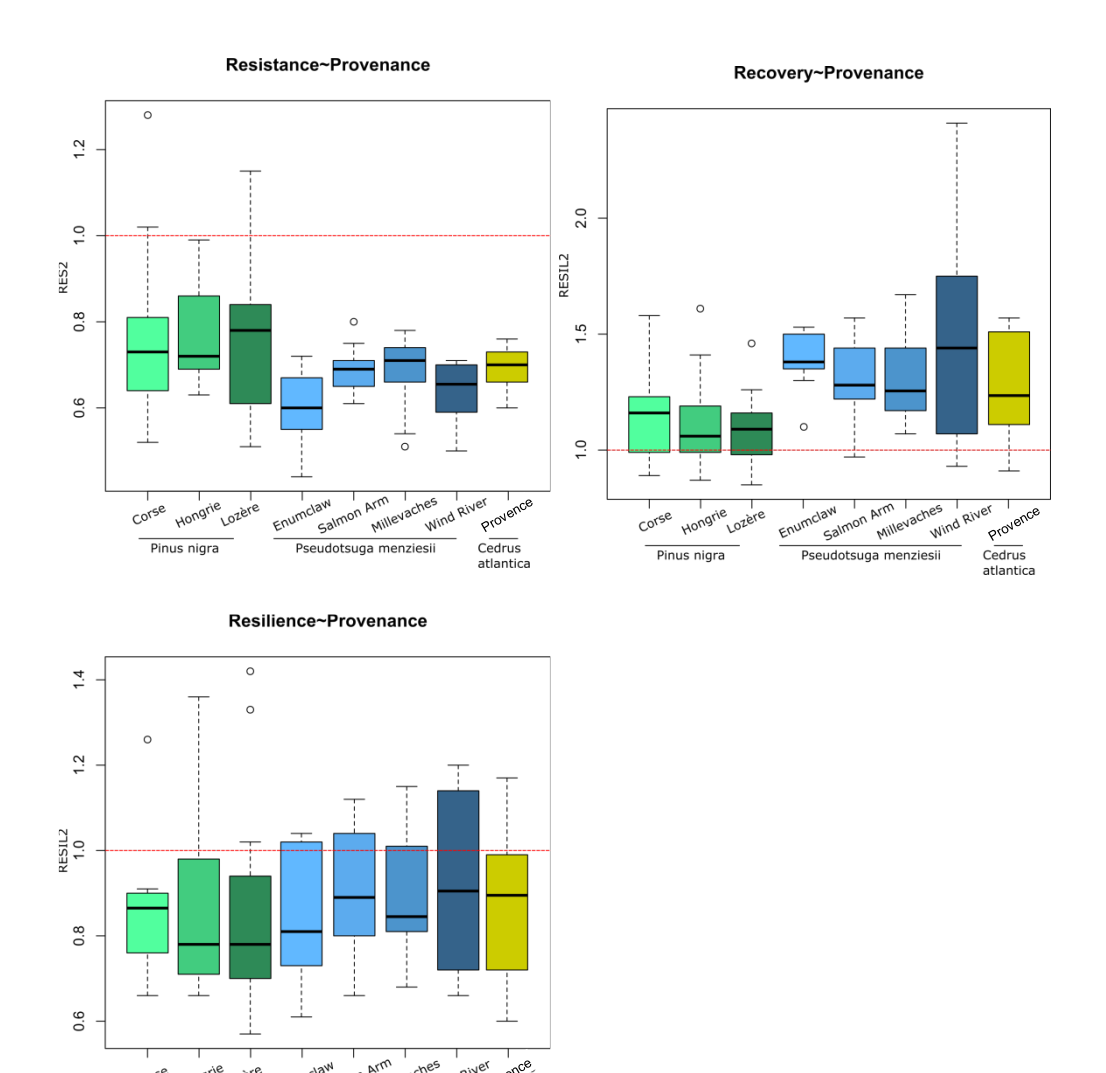


Abbildung 16. Boxplots der Resilienzindizes Resistance (RES2, links oben), Resilience (RESIL2, rechts oben) und Recovery (REC2, links unten) für 2 Jahre vor/nach dem Trockenjahr 2003 nach Provenienzen.

3.2.7 Statistische Modellierung der Resilienzindizes

Die Ergebnisse der statistischen Modellierung sind in Kap. 7.5 im Anhang ausführlich, hier hingegen nur knapp dargestellt.

Bei Einbezug von Bäumen auf BT 3 überprägen die Effekte der Bodentypunterschiede die Unterschiede zwischen Baumarten und Provenienzen. Douglasien und Schwarzföhren profitieren von tiefgründigeren, besser wasserversorgten Böden; im Mittel erholt sich ihr Wachstum hier schneller (Recovery), ist dem vor der Trockenperiode ähnlicher (Resilienz) und bricht tendenziell auch weniger stark ein (Resistenz).

Die Provenienzunterschiede sind insgesamt gering. Die Douglasienprovenienz "Enumclaw" fällt mit vergleichsweise geringer Resistenz auf. Die Schwarzföhrenprovenienz "Lozère" zeigt sowohl im Modell über alle Baumarten als auch im separaten Föhrenmodell eine geringere Resistenz und Erholungsrate.

3.3 Zusammenfassung und Interpretation der Jahrringstudie

3.3.1 Zusammenfassung

Auf der 1970 angelegten Versuchspflanzung Bois de Forel in Romainmôtier stocken u.a. mehrere Douglasien-, Schwarzföhren- und Atlaszedernprovenienzen. Im Rahmen dieser Studie untersuchten wir die Reaktionen des Durchmesserzuwachses von vier Douglasien- und drei Schwarzföhrenprovenienzen sowie einer Atlaszedernherkunft auf die starke Sommertrockenheit des Jahres 2003. Dazu wurde ein Weiserjahransatz verwendet.

Für insgesamt 94 Bäume wurden Jahrringbreiten gemessen und daraus Zuwachsdaten ermittelt. Diese Durchmesserzuwächse wurden mithilfe von Informationen über Bodengüte und klimatische Wachstumsbedingungen und auf Art- und Herkunftsebene analysiert. Da nur herrschende Bäume beprobt wurden, sind die Ergebnisse nur wenig von der gegenseitigen Konkurrenz beeinflusst.

Klima und Boden Seit Anlage der Versuchspflanzung hat die Jahresmitteltemperatur bei konstanter jährlicher Niederschlagssumme zugenommen. Sinkende Werte des Trockenheitsindex SPEI deuten ebenfalls auf zunehmend trockenere Wachstumsbedingungen hin. Auch im Bois de Forel nimmt das Trockenjahr 2003 eine Sonderstellung ein, weswegen dieses zur Analyse von Resilienzindizes ausgewählt wurde. Die Bodenkartierung ergab 3 BT mit unterschiedlicher Güte. Die Auswertung der Zuwachsdaten bestätigt die Ergebnisse dieser Kartierung.

Durchmesserwachstum

Auffällig ist die hohe Gleichläufigkeit des Wachstums über die drei Baumarten hinweg. Hohe EPS-Werte für alle gebildeten Chronologien deuten ausserdem auf ein starkes gemeinsames Wachstumssignal hin (Tabelle 10). Ab Mitte der 1990er Jahre verlief das Durchmesserwachstum der Atlaszedern nicht nur fast perfekt synchron mit dem der Douglasien, sondern auch auf einem sehr ähnlichen Niveau (Abbildung 11). Bis Anfang der 1990er Jahre bewegten sich die Grundflächenzuwächse der Schwarzföhren und Douglasien auf einem ähnlichen Niveau, während die Zedern deutlich geringere Zuwächse zeigten. Gegen Ende der 1990er Jahre stiegen die Grundflächenzuwächse der Zedern deutlich an, die der Schwarzföhren blieben unverändert. Ab Mitte der 2000er Jahre liegen die Zuwächse der Zedern auf einem mittleren Niveau zwischen den hohen Zuwächsen der Douglasien und den geringen der Schwarzföhren.

Resilienzindizes Im Trockenjahr 2003 zeigten die Schwarzföhren, die Baumart mit den geringsten mittleren Zuwächsen, die geringsten Wachstumseinbussen im Vergleich zu den beiden Vorjahren. Am stärksten brach das Wachstums bei den Douglasien ein. Recovery und Resilienz waren im Douglasienkollektiv am höchsten, dicht gefolgt von der Atlaszeder. Wenn Bäume auf dem feuchtesten BT 3 ausgeschlossen werden, verschwinden die Unterschiede zwischen Douglasie und Atlaszeder weitgehend.

Die statistische Modellierung der Resilienzindizes belegte die Bedeutung des Gradienten der Bodengüte über die VFL: Je tiefgründiger der Boden, desto höher war die Resistenz des Durchmesserwachstums gegenüber Trockenheit. Für den BT 3 gilt dies auch für die Erholungsfähigkeit der Bäume sowie deren Resilienz, während sich die trockeneren BT 1 und BT 2 hierin nicht signifikant unterschieden. Die Model-

lierung ergab keine signifikanten Unterschiede zwischen der Wachstumsreaktion von Douglasie und Atlaszeder, jedoch eine geringere Erholung der Schwarzföhre.

Die Douglasienprovenienz "Enumclaw" fiel im Modell mit vergleichsweise geringer Resistenz auf. Die Schwarzföhrenprovenienz "Lozère" zeigte eine verminderte Resistenz und Erholungsrate.

3.3.2 Interpretation im Licht anderer Studien

In einer Studie zu sechs Douglasienprovenienzen zeigten Jansen et al. (2013), dass die Wachstumsreaktion auf Trockenheit herkunftsabhängig ist. Zwischen den Douglasienprovenienzen im Bois de Forel wurden dagegen keine signifikanten Unterschiede in der Reaktion der Jahrringbreiten auf Trockenheit gefunden. In der genannten Studie (Jansen et al. 2013) waren Provenienzen mit den geringsten langfristigen Höhenzuwächsen diejenigen mit den geringsten Zuwachseinbussen bei Trockenheit. Die Autoren schliessen daraus, dass bei der Provenienzwahl Tradeoffs zwischen hohem Zuwachs und Trockenheitsresistenz berücksichtigt werden müssen. Dies bestätigt die Studie im Bois de Forel tendenziell. Die beiden Herkünfte mit den geringsten mittleren Jahrringbreiten, "Millevaches" und "Salmon Arm", zeigten auch die geringsten Wachstumseinbussen im Jahr 2003 und die höchste Resilienz unter den Herkünften.

In einer weiteren Studie mit sechs Douglasienprovenienzen weist die Herkunft "Salmon Arm" die geringste Wuchsleistung und schlechte Stammqualitäten auf (Weller & Jansen 2017). Tatsächlich sind die mittlere Jahrringbreite und der mittlere Grundflächenzuwachs dieser Herkunft unter den im Bois de Forel beprobten Provenienzen am kleinsten. Allerdings ist keine weitere der von Weller & Jansen (2017) verglichenen Herkünfte im Bois de Forel gepflanzt worden. "Salmon Arm" wird hier in einer ersten Einschätzung als qualitativ hochwertig eingeordnet und es wird eine Anbauempfehlung ausgesprochen (Jeantet 2002).

Im Allgemeinen sind sommerliche Trockenheit und Sommerniederschlag die Haupteinflussfaktoren für das Wachstum der korsischen Schwarzföhren (Lebourgeois 1998). Zudem wachsen laut Fkiri et al. (2018) Schwarzföhren der Subspezies *nigra* (Ungarn) auf Kalkgestein besser als solche der Subspezies *salzmanii* (Lozère) und *laricio* (Korsika). Seho et al. (2010) fanden bei einem Herkunftsversuch mit Schwarzföhren auf Kalkstandorten in Baden-Württemberg nach 49 Jahren, dass die korsische Herkunft im Höhenwachstum den anderen drei Herkünften überlegen war, im Durchmesserwachstum aber zurückblieb. Im Bois de Forel konnte keine Unterlegenheit der korsischen Herkunft festgestellt werden. Die Schwarzföhrenherkünfte unterschieden sich weder im Wachstum noch in der Reaktion auf Trockenheit signifikant.

Junge Schwarzföhren erwiesen sich in einer Studie von Correia et al. (2018) unter 33 untersuchten Baumarten als eine derjenigen mit den geringsten Tradeoffs zwischen Wachstum und Überlebensraten in der Jugend und einer geringen Plastizität des Wachstums gegenüber klimatischen Veränderungen. Diese Beobachtung deckt sich mit dem vergleichsweise hohen Wachstumsniveau in den ersten Jahren nach der Pflanzung (Abbildungen 11-14) und den hohen Überlebensraten von *Pinus nigra* in Folge des Trockenjahrs 1976 (Jeantet 2002) im Bois de Forel.

Im Bois de Forel stockt die Zeder auf verhältnismässig flachgründigen Böden mit karbonatischem Ausgangsgestein. Diese werden nur bei ausreichend Niederschlag toleriert (Huber & Storz 2014). Verhältnismässig grosse Grundflächenzuwächse und Jahrringbreiten sowie geringe Mortalität auf den Zedernflächen sprechen dafür, dass ihr die trockenen Buchenwaldstandorte im Bois de Forel zusagen. Die Wachstumsperiode dauert in den Herkunftsgebieten von Ende April bis Ende September (König 2004). Für die Periode von 2000-2018 ist das Wachstum der Atlaszeder im Bois de Forel aber bereits stark positiv mit den Märztemperaturen korreliert. Dies deutet auf einen noch früheren Beginn des Durchmesserwachstums auf den untersuchten Standorten hin.

Es scheint im Moment trotz grossen Bemühungen unmöglich, Saatgut aus den natürlichen Herkunftsgebieten zu beschaffen (Muhidin Seho, mündl. Mitteilung). In Provenienztests in Italien zeigten Atlaszedern der sekundären französischen Provenienz aber grössere Zuwächse als solche aus Marokko (Fusaro 2007). Der Rückgriff auf die seit vielen Jahrzehnten bewährten Herkünfte aus Südfrankreich scheint daher vertretbar, ja vielleicht sogar von Vorteil.

Die Jahrringbreite der Atlaszeder im Bois de Forel ist über den Zeitraum von 1982-2016 positiv mit den Temperaturen von Oktober bis Dezember korreliert. Ein solcher positiver Effekt von warmen Temperaturen ausserhalb der Vegetationszeit wurde auch von Till (1987) für die Januartemperatur berichtet, allerdings für Zedernbestände zwischen 1400 und 2600 m ü.M. Auf tiefer gelegenen Standorten finden Linares et al. (2013) keinen solchen Effekt hoher Wintertemperaturen. Im Zeitraum von 2000-2016 fällt ein solcher Effekt auch im Bois de Forel weg. Dies könnte eine Auswirkung steigender Temperatur im Bois de Forel, möglicherweise aber auch des zunehmenden Baumalters sein.

4 Erhebung der Douglasien-Naturverjüngung

4.1 Ziel und Methoden

Ziel dieser Teilstudie war, Hinweise auf ein potenziell invasives Verhalten der untersuchten Baumarten zu finden. Bei Atlaszeder, Gelbföhre und Schwarzföhre wurden keine Naturverjüngung gefunden. Die Douglasie verjüngt sich hingegen in mehreren TFL. In den TFL 321 und 322, wo die Douglasien-Naturverjüngung am dichtesten auftritt, wurden alle Douglasienpflanzen mit BHD<8 cm in den TFL sowie in einem Pufferstreifen von 5 m rund um diese erfasst und mit einem nummerierten Metallplättchen am Stammfuss versehen. In TFL 321 wurden die Baumnummern 2-133, in TFL 322 die Baumnummern 134-157 vergeben. Die Höhe jeder Pflanze wurde gemessen und der Überschirmungsgrad über der Pflanze in Schritten von 10% geschätzt. Die Position aller Pflanzen wurde mit einem Vertex-Distanzmessgerät und einem Wyssen-Kompass bestimmt, relativ zu den Positionen der in der ertragskundlichen Inventur aufgenommenen Bäume und Eckpunkte.

4.2 Ergebnisse

Die Dichte der Douglasien-Verjüngungspflanzen war innerhalb der TFL (ohne Pufferstreifen) in TFL 321 1298/ha (Höhe: 17.3 ± 1.5 cm, Mittelwert ± Standardfehler, N=130), und in TFL 322 98/ha (Höhe: 58.3 ± 4.0 cm, N=24). Die Verjüngung trat stark geklumpt auf und nur wenige Meter ausserhalb des Kronenbereichs der gepflanzten Samenträger. Einzelne, hier nicht erfasste Pflanzen können auch weiter entfernt stehen. Die Klumpung könnte darauf zurückzuführen sein, dass erst wenige Douglasien fruktifizieren. Dies dürfte auch bei den Zedern der Fall sein, bei denen 2018 nur einzelne Zapfen trugen. Die geringe Dichte der Douglasien und ihre geringe horizontale Ausbreitung geben keine Hinweise auf invasives Verhalten. Es ist geplant, diese Inventur auf die weiteren TFL mit Douglasien zu erweitern.

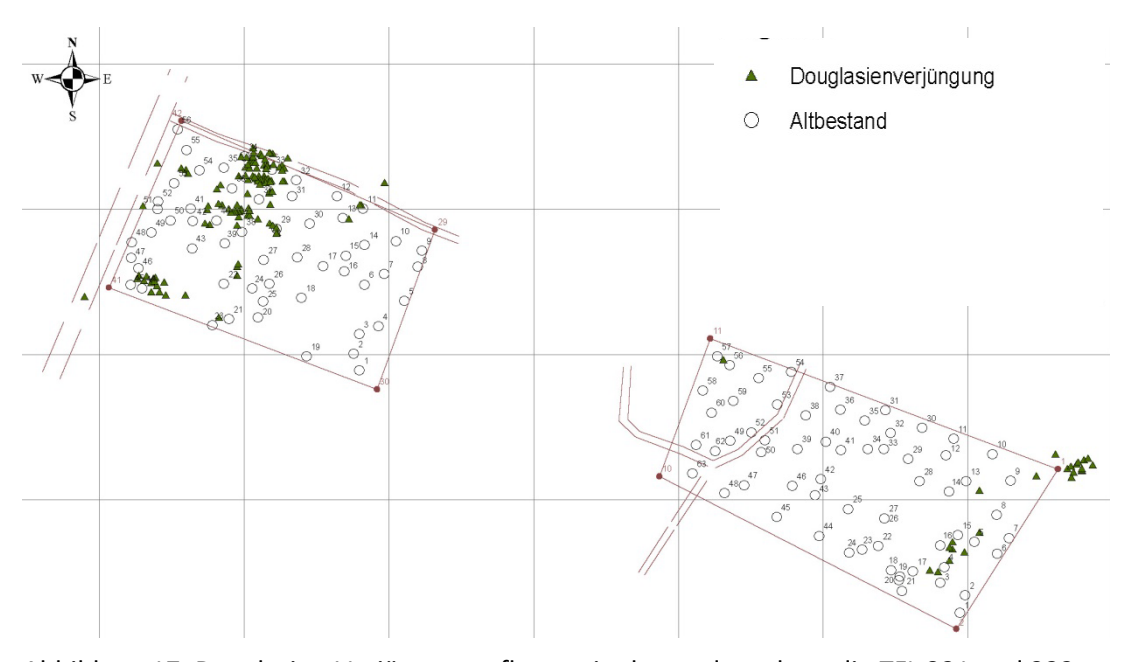


Abbildung 17. Douglasien-Verjüngungspflanzen in den und rund um die TFL 321 und 322.

5 Diskussion

5.1 Methodenkritik

Die Motivation zur Durchführung des Projekts "Reaktivierung Versuche mit Gastbaumarten Bois de Forel" lag darin, neben neuen Versuchen mit Gastbaumarten (vgl. Projekt Testpflanzungen, <u>www.testpflanzungen.ch</u>) auch von der langen, 47jährigen Beobachtungszeit in einem bestehenden Versuch zu profitieren, von dem bereits Messungen bis 2002 vorliegen. Dies ist grundsätzlich gelungen, und 37 der ursprünglich 71 TFL (3,7 ha von 7,5 ha und damit weniger als geplant) konnten rekonstruiert werden. Hauptgrund für die Aufgabe von TFL war der Ausfall der gepflanzten Bäume; in einigen TFL waren auch die Grenzen unklar oder die TFL waren von Beginn weg zu klein.

Bei der Datenanalyse stellte sich heraus, dass das ursprüngliche Versuchsdesign die unterschiedlichen BT nicht berücksichtigte, die sich als für das Baumwachstum entscheidende Einflussfaktoren herausstellten. Daher ist der relativ tiefgründige BT 3 anteilig unterrepräsentiert. Darum wurden auch separate Modelle ohne diesen BT berechnet. Bei den auf BT 3 vertretenen Herkünften sind die Bäume deutlich rascher gewachsen als Bäume auf minderen Bodenqualitäten.

Da in der Jahrringstudie nur dominante Individuen beprobt wurden, sind keine Aussagen über den Einfluss der sozialen Stellung oder Dimension der Bäume innerhalb einer Baumart und Herkunft möglich. Da die ertragskundliche Aufnahmemethode Höhenmessungen nur bei einer Stichprobe der Bäume vorsieht, sind die Kennzahlen h_{dom} und dGZ etwas weniger robust als d_{dom} und G, die auf an allen Bäumen gemessenen BHD-Werten beruhen.

5.2 Synthetische Bewertung der Baumarten

Entsprechend dem Projektziel wird hier versucht, die Eignung der Baumarten und Herkünfte für trockene Standorte im Mittelland gesamthaft einzuschätzen. Dabei ist die Datenlage für die ertragskundliche Inventur 2018 und für die Jahrringstudie zwar sehr gut, bezieht sich aber nur auf einen Teil der Baumarten und Herkünfte. Es wurde versucht, frühere Daten und Bewertungen einzubeziehen. Allerdings sind fast alle Rohdaten der Messungen bis 2002 verloren gegangen. Anscheinend wurden direkt Oberhöhen und -durchmesser gemessen, doch die Auswahl der gemessenen Bäume und deren Zuordnung zu TFL sind nicht dokumentiert. Dennoch werden diese Messwerte (1979, 1985, 1992, 2002) hier verwendet.

In der fünften bzw. sechsten Vegetationsperiode nach der Pflanzung führte der Trockensommer 1976 zum Ausfall folgender Baumarten (Jeantet 2002): Lärche, serbische Fichte und *Pinus rigida*; von den Douglasien, Atlaszedern und Waldföhren überlebten rund 70%. Dagegen überlebten Schwarz- und Gelbföhre zu fast 100%. Schlecht wuchsen auch *Pinus leucodermis, P. jeffreyi, P. maritima* und die Sommerlinde. Damit reduziert sich die Auswahl der im Bois de Forel geeigneten Baumarten auf Douglasie, Atlaszeder sowie Wald-, Schwarz- und Gelbföhre. Für diese Baumarten sowie für die serbische Fichte, die in einer TFL gut überlebte, wird die Eignung im Folgenden eingeschätzt.

Insgesamt sind die Unterschiede im Wachstum, in der rezenten Mortalität und in der Reaktion auf Trockenheit zwischen den Baumarten grösser als diejenigen zwischen den Herkünften (Abbildung 18). Die Wachstumsunterschiede bleiben im Verlauf der Zeit auch weitgehend konstant: Die Douglasien sind nach 9 Jahren (1979) den anderen Baumarten davongewachsen und können den Vorsprung bis 2018 ausbauen, was ihnen 2018 auch das grösste Volumen und den grössten dGZ gibt. Ihre Reaktion auf Trockenheit zeigt einen ausgeprägten Wachstumseinbruch, aber auch rasche Erholung und Wiederaufnahme des Wachstums vor der Trockenheit. Die Schwarzföhren liegen im Wachstum nahe beieinander, wobei die korsische Herkunft anfänglich am raschesten wächst. Im Gegensatz zur Douglasie bricht ihr Wachstum bei Trockenheit kaum ein. Sie zeigen aber in den letzten Jahren erhöhte Mortalität, deren Ursachen nicht untersucht sind (da es alle Föhrenarten betrifft, steht eine pathogene Ursache im Vordergrund); hierbei ist eine allfällige Mortalität infolge des Trockenjahres 2018 noch unberücksichtigt. Am geringsten ist diese Mortalität bei der korsischen Herkunft. Die Waldföhre wächst ähnlich wie die Schwarzföhrenherkünfte

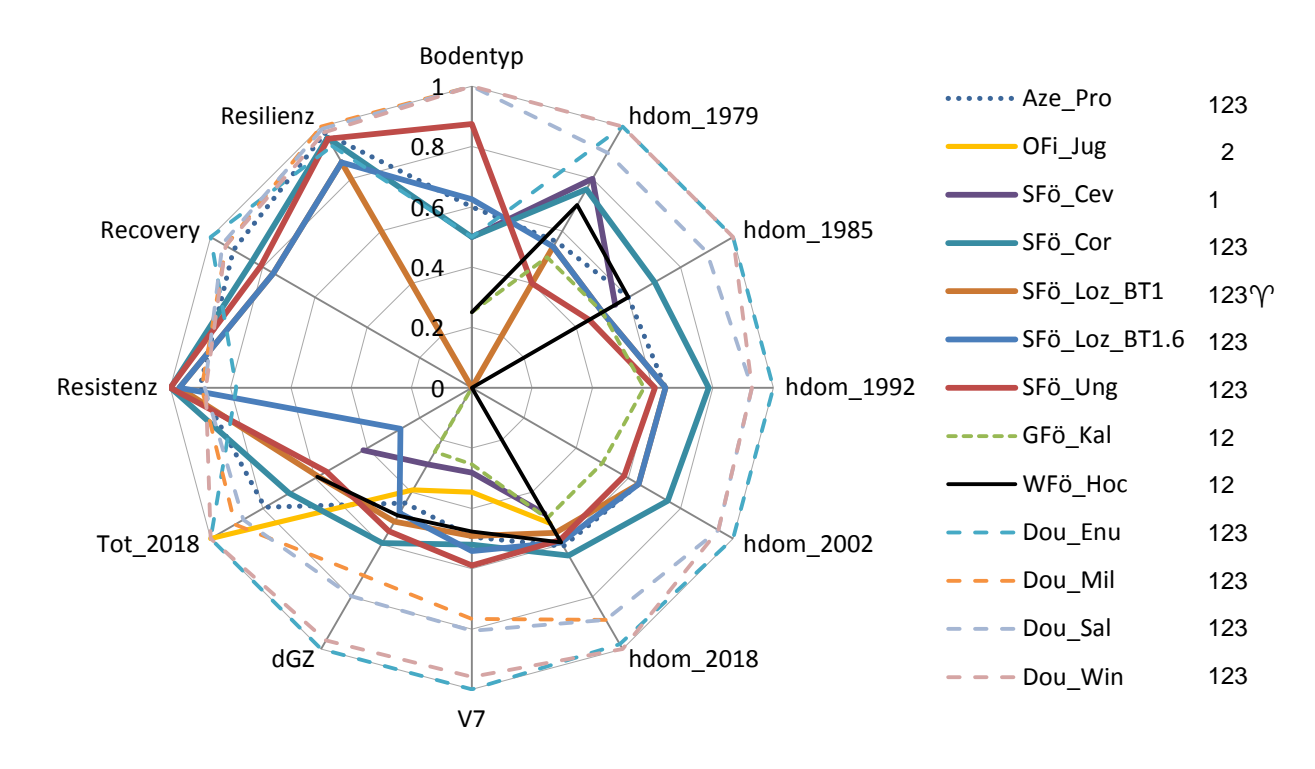


Abbildung 18. Netzdiagramm von Kennzahlen der Baumarten und Herkünfte im Versuch mit Gastbaumarten im Bois de Forel. Die wenigen Bäume und TFL auf dem feuchten BT 3 wurden ausser bei den h_{dom} -Werten von 1979 bis 2002 ausgeschlossen. Jede Linie stellt den Mittelwert von 1 bis 5 TFL dar. Die Daten wurden so transformiert, dass sie zwischen 0 und 1 liegen, wobei der Maximalwert ("beste Merkmalsausprägung") 1 beträgt und die übrigen Werte im Verhältnis zum Maximalwert liegen. Eine Ausnahme ist der BT, der vor Transformation zwischen 1 und 2 lag (wobei bei Zusammenfassung mehrerer TFL auch Zwischenwerte wie 1.8 möglich waren) und nach Subtraktion von 1 zwischen 0 und 1 zu liegen kam. Die Abkürzungen der Baumarten folgen Tabelle 1, für die Abkürzungen der Herkünfte wurden die ersten 3 Buchstaben der Herkunftsnamen benutzt. Bei einem Teil der Baumarten bzw. Herkünfte fehlen Messungen von h_{dom} aus den Jahren 1979-2002 bzw. die Werte der Jahrringstudie (Resistenz, Recovery, Resilienz). Dies ist in der Spalte rechts der Erklärungen der Signatur angegeben: 1 = mit Werten von 1979 bis 2002 (mind. teilweise); 2 mit ertragskundlicher Inventur 2018; 3 mit Jahrringstudie. – γ Die Werte von 1979 bis 2002 entsprechen der für SFÖ Loz BT1.6.

und zeigte zuletzt auch erhöhte Mortalität. Die Atlaszeder ähnelt im Wachstum und der rezenten Mortalität den Schwarzföhrenherkünften, nimmt in der Reaktion auf Trockenheit aber eine Zwischenstellung zwischen Douglasie und Schwarzföhre ein. Die Gelbföhre und die serbische Fichte (Omorikafichte) bleiben im Laufe der Zeit im Wachstum hinter der Schwarzföhre zurück, ebenso die Schwarzföhrenherkunft aus den Cevennen (deren Reaktion auf Trockenheit nicht untersucht wurde).

Auf den trockenen Buchenwald-Standorten im Bois de Forel sind keine sehr guten Stammqualitäten zu erwarten. Dabei sind Herkunftsunterschiede wenig relevant. Frühere Beobachtungen (Jeantet 2002) ergaben zwar bei den Douglasienherkünften Empfehlungen für die Herkunft "Enumclaw", weil sie raschwüchsig und feinastig ist, sowie von "Salmon Arm", die mittelmässig wüchsig und feinastig ist. Von "Wind River" wird trotz raschem Wachstum wegen Grobastigkeit abgeraten. Diese Einschätzung ist aufgrund der Tatsache zu hinterfragen, dass für die Produktion von Qualitätsholz auf jeden Fall eine Wertastung nötig ist. Eine solche Astung wurde im Bois de Forel an Douglasien durchgeführt.

Bei der Schwarzföhre ist die Einschätzung von Jeantet (2002), dass "La Sorba" von Korsika am raschwüchsigsten ist, fraglich, denn bis 2018 haben sich die 4 Herkünfte im Wachstum aneinander angeglichen (Abbildung 18). Die ungarische Herkunft hingegen, die 2002 im Wachstum etwas zurücklag, hat inzwischen die anderen Herkünfte eingeholt. Bezüglich Stammqualität gilt das bei der Douglasie gesagte: Grobastigkeit (ausgeprägt bei der Herkunft aus Ungarn) ist mit Wertastung zu beheben. Wertastung ist auch bei der Atlaszeder wichtig, um gute Stammqualität zu erhalten.

In ihrem natürlichen Verbreitungsgebiet in den Gebirgen Algeriens und Marokkos kommt die Zeder von eher semiariden Höhenstufen mit geringem Niederschlag (500-700 mm) bis in humide Höhenlagen (>1000 mm) vor und hat ihr Optimum in Höhenlagen zwischen 1600 und 2200 m (Huber 2014). Demarteau et al. (2007) zeigen, dass die Baumart nördlich der Alpen auch im Zuge eines moderaten Klimawandels geeignete Wuchsbedingungen findet. Hinweise dazu finden sich auch in Courbet et al. (2012b).

Insgesamt hat sich auf den trockenen Kalkstandorten des Bois de Forel bis ins Alter von 47 Jahren die Douglasie am besten bewährt, bei geringen Herkunftsunterschieden. Die Atlaszeder hatte erhebliche Anwuchsschwierigkeiten und stand der Douglasie im Wachstum anfänglich nach, hat aber inzwischen aufgeholt. Die Föhrenarten reagierten (ausser der Waldföhre) auf Trockenheit sehr gut, zeigen aber seit kurzem hohe Mortalität (am wenigsten die korsische Schwarzföhrenherkunft), was ihre Eignung stark einschränkt. Die serbische Fichte bleibt im Wachstum hinter den anderen Baumarten zurück; zudem überlebten nur wenige Bäume die Trockenheit von 1976. Die Lärche hat sich als ungeeignet erwiesen.

Die Verwendung von Nadelbaumarten auf den trockenen Standorten des Bois de Forel erhöht zwar den Holzertrag, gemessen am Volumen und noch mehr am Holzwert. Trotzdem bleiben die untersuchten Standorte im Zuwachs erheblich hinter mittleren Schweizer Standorten zurück, für die Begin (1991) bei den raschwüchsigen Douglasien einen mittleren Gesamtzuwachs im Alter 50 von 12 bis 26 m³ ha⁻¹ a⁻¹ errechnet hat. Er weist dabei auch nach, dass das Wachstum von Douglasien auf kalk- und skelettreichen Böden – wie im Bois de Forel – vermindert ist.

Die Resultate des Versuchs im Bois de Forel belegen wieder einmal, dass Resultate aus der Frühphase von Pflanzversuchen zu falschen Schlüssen führen können. Die Rangfolge der Baumarten im Bois de Forel hat sich im Laufe der Zeit erheblich geändert, dies noch einmal sehr kürzlich, mit der an den Föhrenarten auftretenden Mortalität. Besonders problematisch ist das, wenn nur eine Versuchsfläche vorliegt wie im Bois de Forel. Daher sind Netze von Versuchsflächen für wissenschaftliche Versuche von grossem Vorteil.

6 Literatur

Arbeitskreis Standortskartierung in der Arbeitsgemeinschaft Forsteinrichtung. 1996. Forstliche Standortsaufnahme. Begriffe, Definitionen, Einteilungen, Kennzeichnungen, Erläuterungen. 5. Auflage, IHW-Verlag, Eiching bei München, 352 S.

Bariteau M, Vauthier D. 2011. Main results from the French cedar comparative field test network. In: Status of the Experimental Network of Mediterranean Forest Genetic Resources. CRA SEL, Arezzo and FAO – Silva Mediterranea. Rome, Italy, S. 61-64.

Begin J. 1991. Productivité du Douglas vert (*Pseudotsuga menziesii* (Mirb.) Franco var. menziesii Franco) en relation avec des caractéristiques stationnelles. Diss. Techn. Wiss. ETH Zürich, Nr. 9567.

Bösch B. 2001. Neue Bonitierungs-und Zuwachshilfen. Wissenstransfer in Praxis und Gesellschaft–FVA Forschungstage 5.06.

Bunn AG. 2008. A dendrochronology program library in R (dplR). *Dendrochronologia* 26(2), 115-124.

Buras A. 2017. A comment on the expressed population signal. *Dendrochronologia* 44, 130-132.

Courbet F, Lagacherie M, Marty P, Ladier J, Ripert C, Riou-Nivert P, Huard F, Amandier L, Paillassa E. 2012a. Le cèdre en France face au changement climatique: un projet pour un bilan et un transfert des connaissances. *Forêt Entreprise* 204, 41-45.

Courbet F, Lagacherie M, Marty P, Ladier J, Ripert C, Riou-Nivert P, Huard F, Amandier L, Paillassa É. 2012b. Le cèdre en France face au changement climatique: bilan et recommandations. RMT AFORCE, 32 S. https://prodinra.inra.fr/?locale=fr#!ConsultNotice:179283

Demarteau M, François L, Cheddadi R, Roche E. 2007. Réponses de *Cedrus atlantica* aux changements climatiques passés et futurs. Geo-Eco-Trop: Revue Internationale de Géologie, de Géographie et d'Ecologie Tropicales.

Frehner M, Brang P, Kaufmann G, Küchli C. 2018. Standortkundliche Grundlagen für die Waldbewirtschaftung im Klimawandel. WSL Berichte (66): 43 S.

Fritts HC. 2012. Tree rings and climate. Elsevier.

Fusaro E. 2007. Cedrus atlantica and Cedrus libani provenances tests. Synthesis of the research carried out in Italy. Book FAO-Silva Mediterranea "Status of the Experimental network of Mediterranean Forest Genetic Resources, 52-58.

Huber G, Storz C. 2014. Zedern und Riesenlebensbaum – welche Herkünfte sind bei uns geeignet? *LWF-Wissen 74*, 63-71.

Jansen K, Sohrt J, Kohnle U, Ensminger I, Gessler A. 2013. Tree ring isotopic composition, radial increment and height growth reveal provenance-specific reactions of Douglas-fir towards environmental parameters. *Trees* 27(1), 37-52.

Jeantet G. 1970. Forêt Cantonale de Forel (Romainmôtier). Essai de plantation et de culture d'essences calcicoles indigènes et exotiques [Beschreibung der Versuchsplanung]. 14 S.

Jeantet G. 2002. Romainmôtier (Bois de Forel). Essais de plantation et de culture d'essences calcicoles indigènes et exotiques. Chronologie des travaux. Principaux résultats. Photos. 18 S.

König AO. 2004. Cedrus atlantica. *Enzyklopädie der Holzgewächse: Handbuch und Atlas der Dendrologie*, 1-28.

Linares JC, Taïqui L, Sangüesa-Barreda G, Seco JI, Camarero JJ. 2013. Age-related drought sensitivity of Atlas cedar (*Cedrus atlantica*) in the Moroccan Middle Atlas forests. *Dendrochronologia* 31(2), 88-96.

Lloret F, Keeling EG, Sala A. 2011. Components of tree resilience: effects of successive low-growth episodes in old ponderosa pine forests. *Oikos* 120(12), 1909-1920.

Nitzsche J, Schmid H. 2018. Einrichtung und Erstinventur der ertragskundlichen Versuchsfläche Bois de Forel. Technischer Bericht. Birmensdorf, Eidg. Forschungsanstalt für Wald, Schnee und Landschaft WSL. 16 S.

Petercord R, Strasser L. 2017. Mit der Trockenheit kommt der Pilz. *LWF aktuell* 112, 9-11.

Rinntech 2009. LINTAB-Präzision-Jahrring für Jahrring. http://www.rinntech.com/content/view/16/47/lang

Seho M, Kohnle U, Albrecht A, Lenk E. 2010. Wachstumsanalysen von vier Schwarzkiefer-Provenienzen (*Pinus nigra*) auf trockenen Standorten in Baden-Württemberg. *Allg Forst Jagd-Ztg* 181(5/6), 104-116.

Stocker R, Burger T, Elsener O, Liechti T, Portmann-Orlowski K, Zantop S. 2002. Die Waldstandorte des Kantons Aargau. Wohlen: Kasimir Meyer AG.

Teepe R, Dilling H, Beese F. 2003. Estimating water retention curves of forest soils from soil texture and bulk density. *J Plant Nutr Soil Sci* 166, 111-119.

Till C. 1987. The summary response function of *Cedrus atlantica* (Endl.) Carrière in Morocco. *Tree-ring bulletin (USA)* 47, 23-36.

van der Maaten-Theunissen M, van der Maaten E, Bouriaud O. 2015. pointRes: An R package to analyze pointer years and components of resilience. *Dendrochronologia* 35, 34-38.

Vincente-Serrano SM, Beguería S, López-Moreno. Jl. 2010. A multiscalar drought index sensitive to global warming: the standardized precipitation evapotranspiration index. *Journal of climate* 23(7), 1696-1718.

Walthert L, Zimmermann S, Blaser P, Luster J, Lüscher P. 2004. Waldböden der Schweiz. Band 1. Grundlagen und Region Jura. Birmensdorf, Eidgenössische Forschungsanstalt WSL. Bern, Hep Verlag. 768 S.

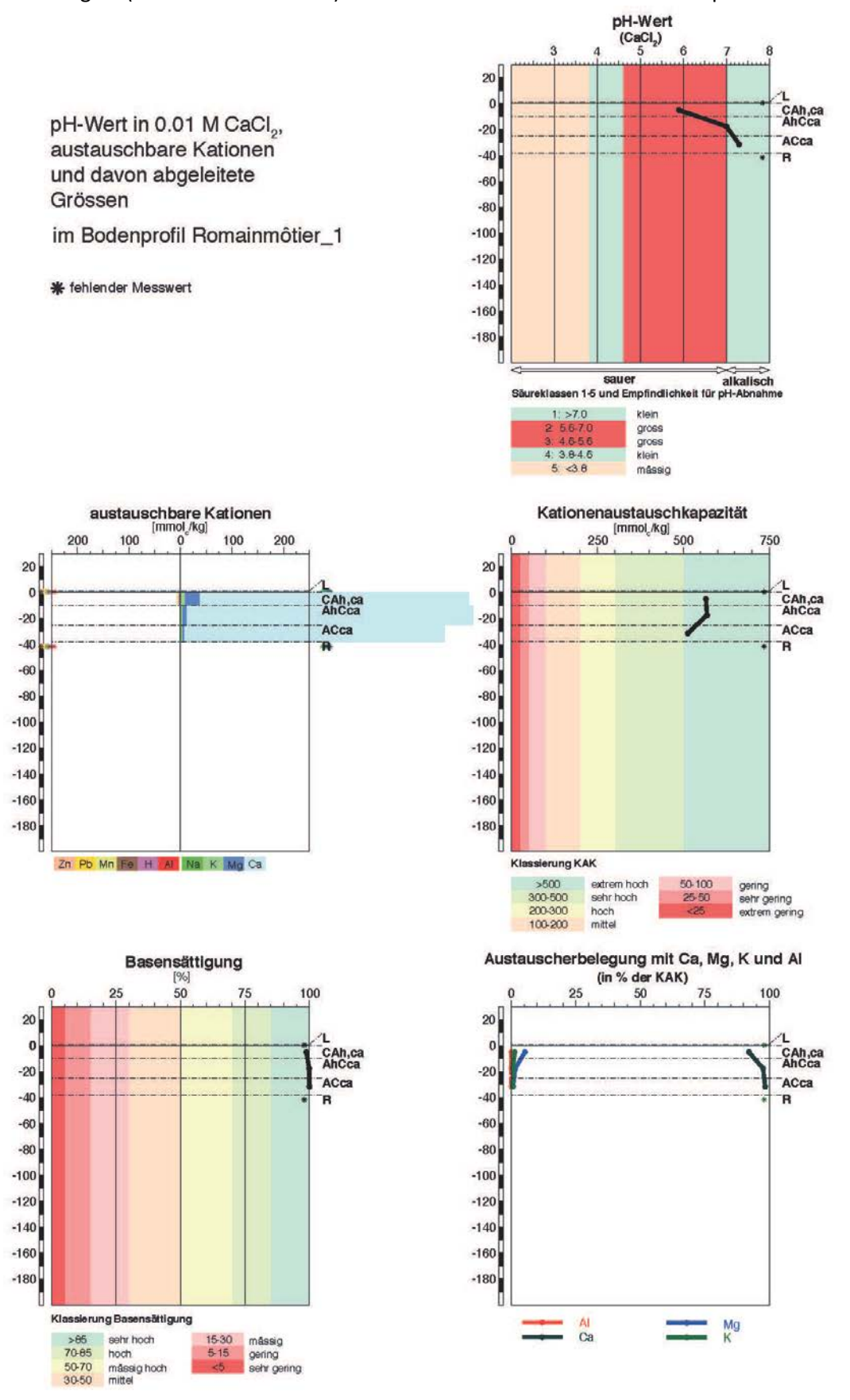
Zang C, Pretzsch H, Rothe A. 2012. Size-dependent responses to summer drought in Scots pine, Norway spruce and common oak. *Trees* 26 (2), 557-569.

Zang C, Biondi F. 2015. treeclim: an R package for the numerical calibration of proxy-climate relationships. *Ecography* 38(4), 431-436.

7 Anhang zur Jahrringstudie

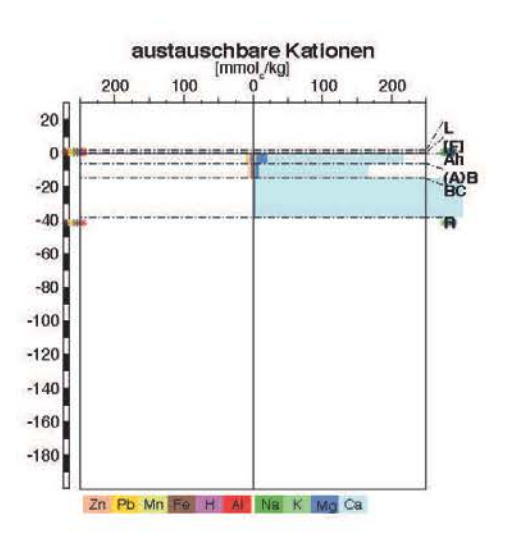
7.1 Kennwerte der fünf Bodenprofile

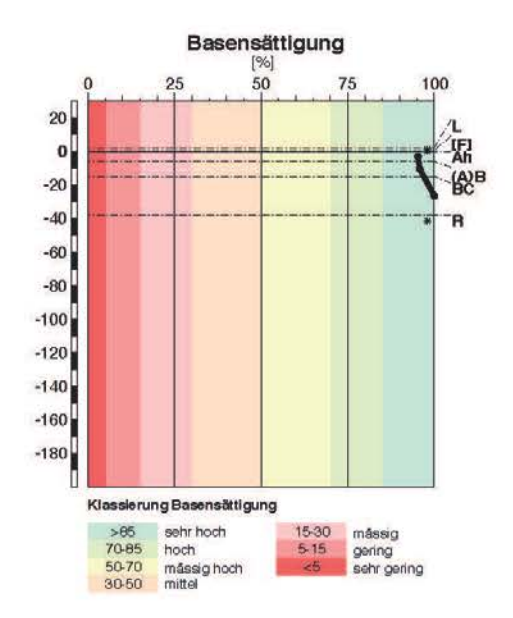
Abbildung 19 (inkl. 4 nächste Seiten). Chemische Kennwerte der fünf Bodenprofile im Bois de Forel.

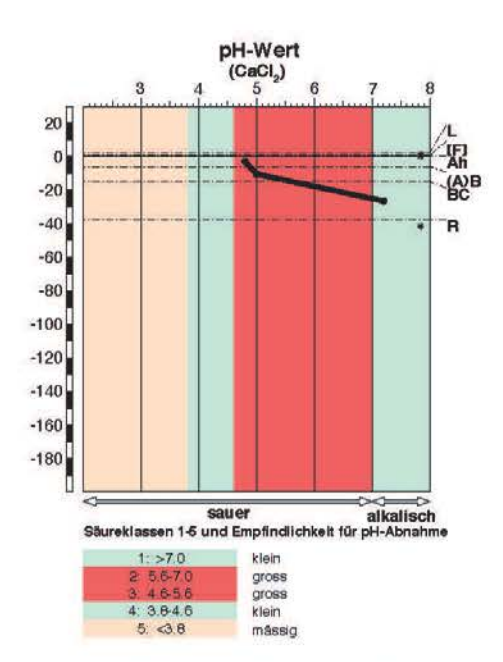


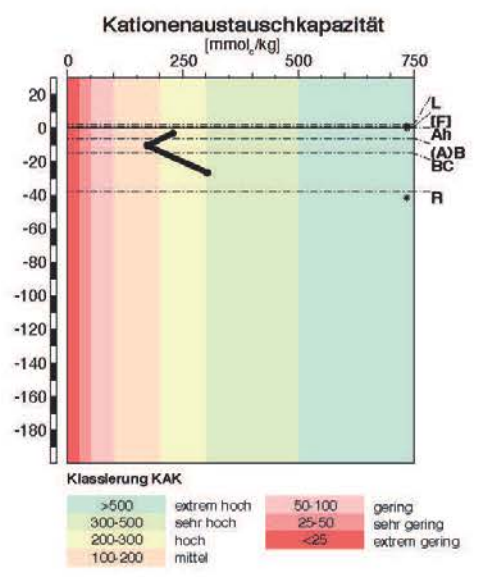
im Bodenprofil Romainmôtier_2

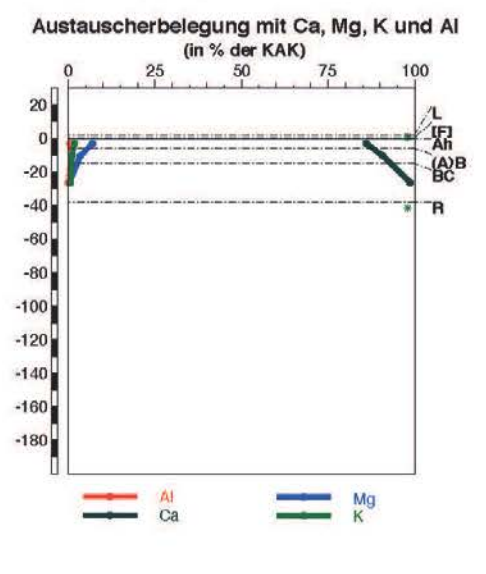
* fehlender Messwert





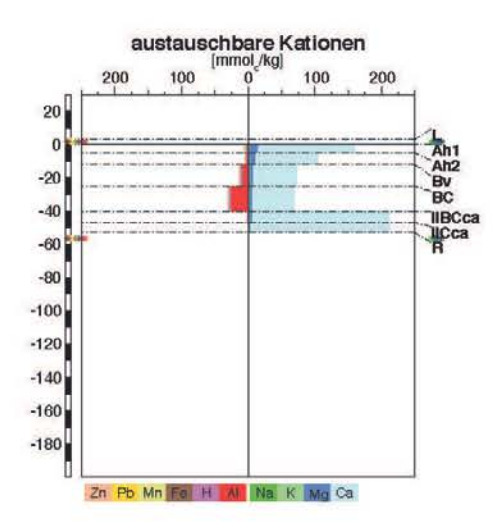


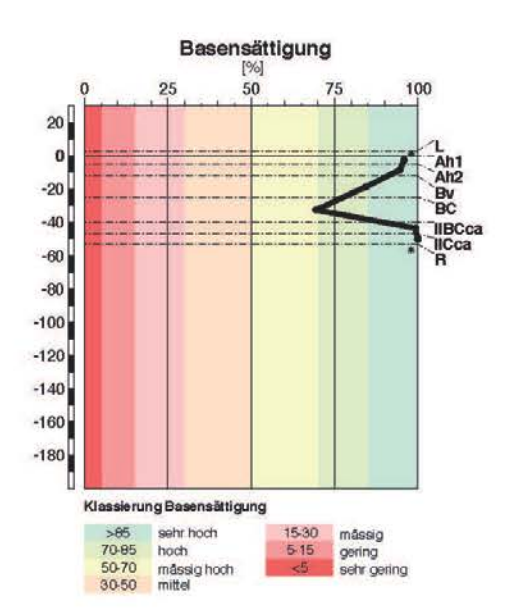


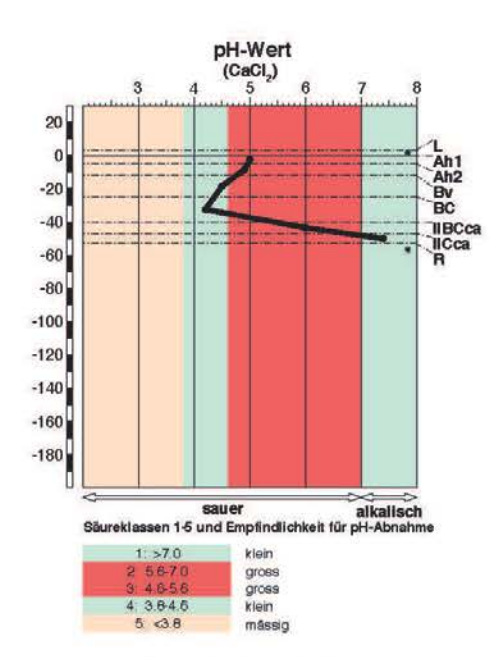


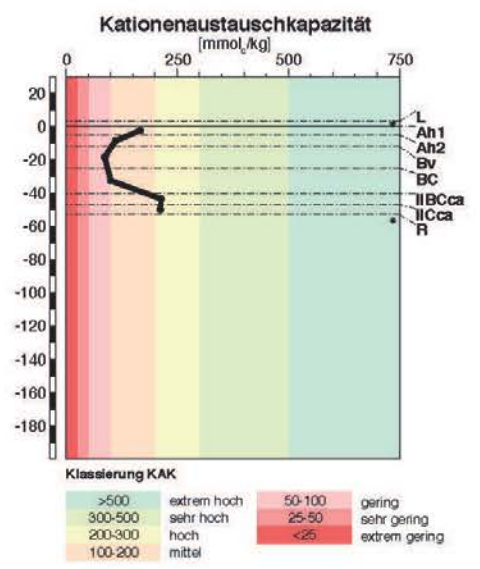
im Bodenprofil Romainmôtier_3

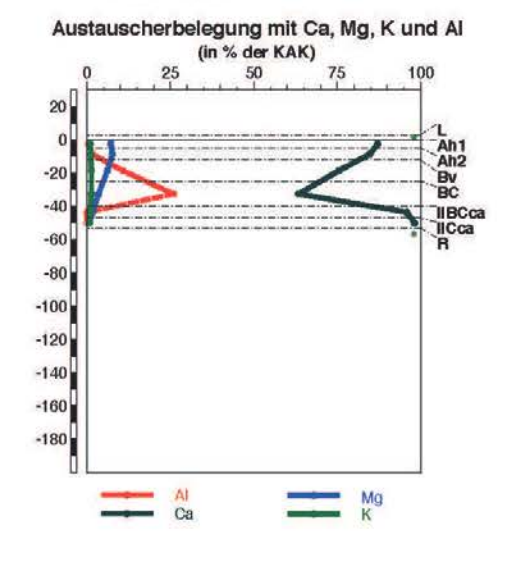
* fehlender Messwert





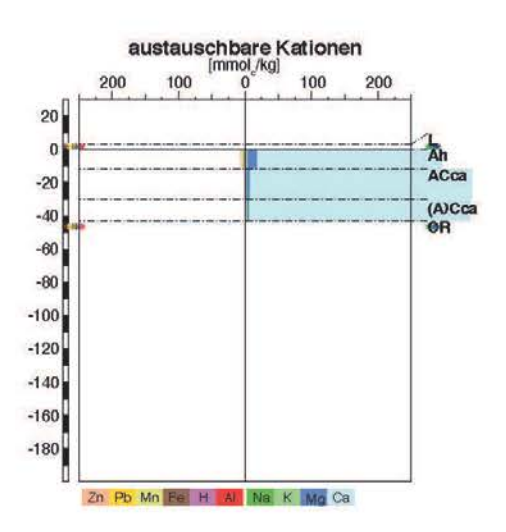


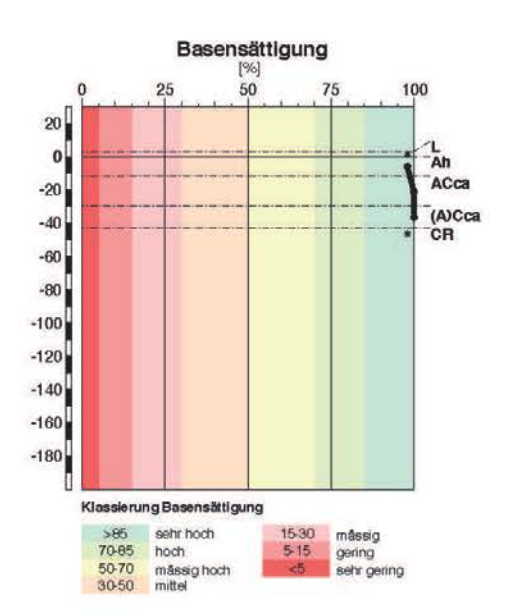


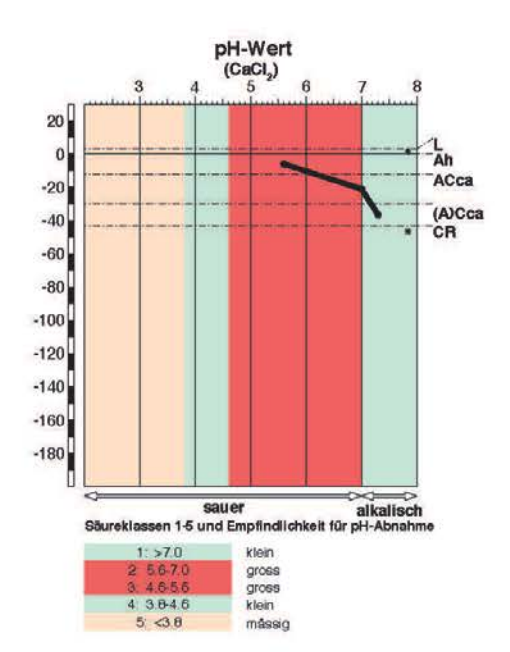


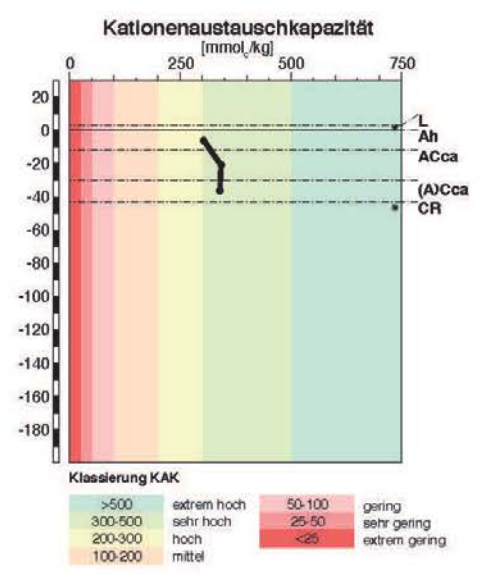
im Bodenprofil Romainmôtier_4

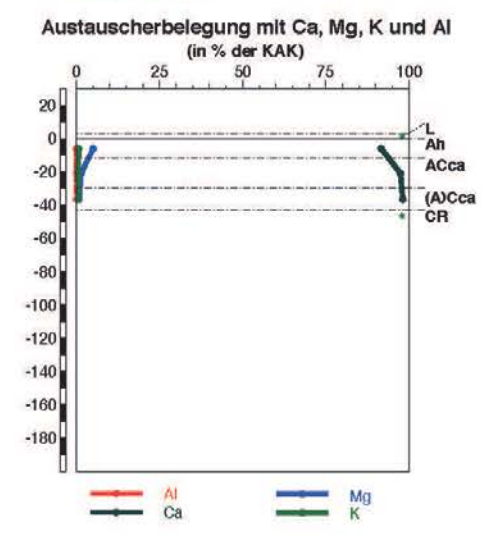
* fehlender Messwert



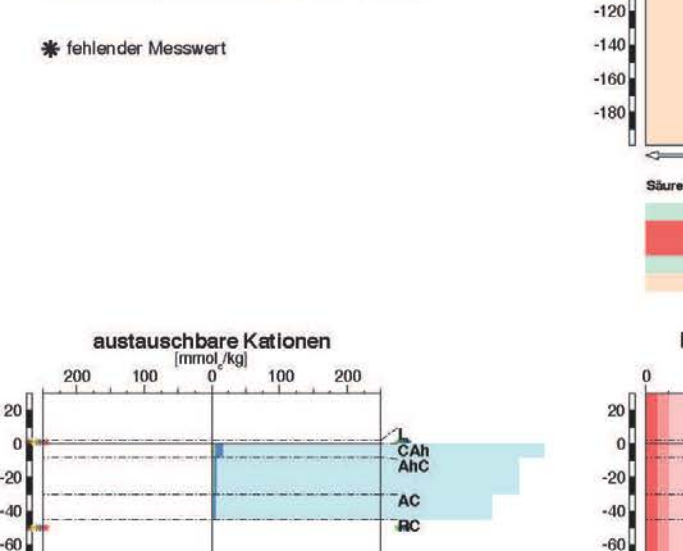


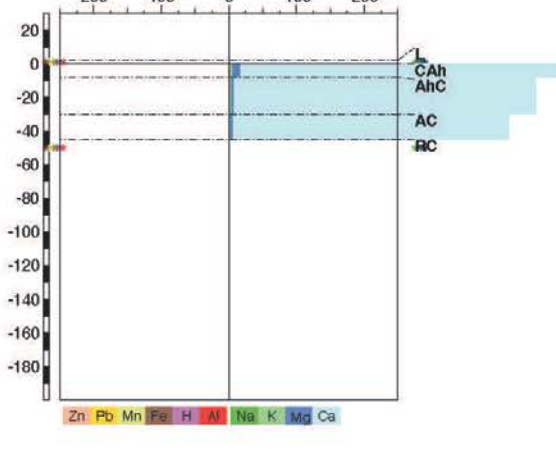


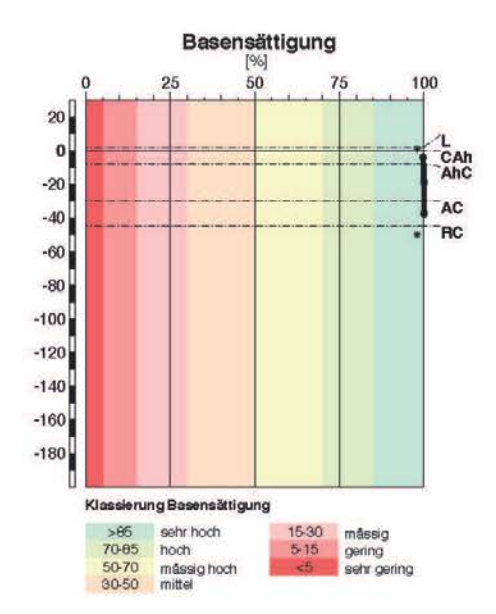


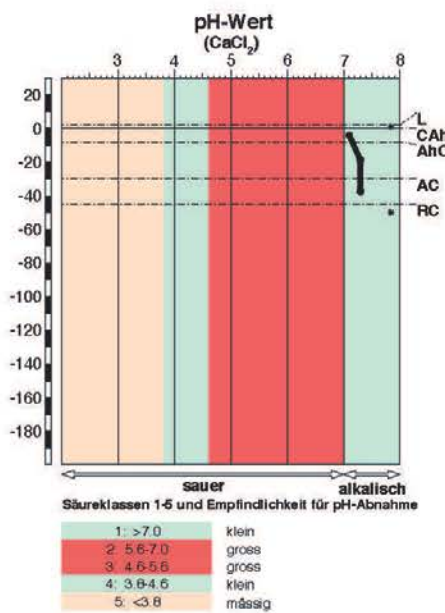


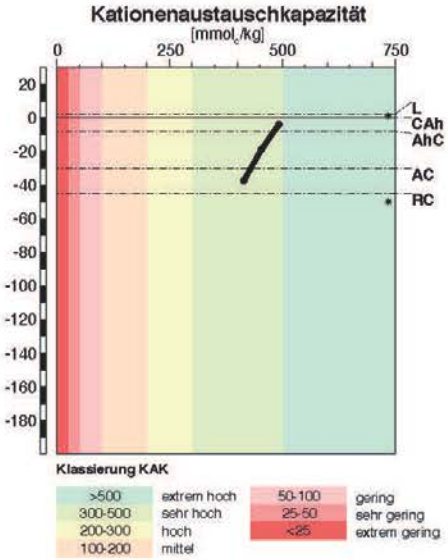
im Bodenprofil Romainmôtier_5

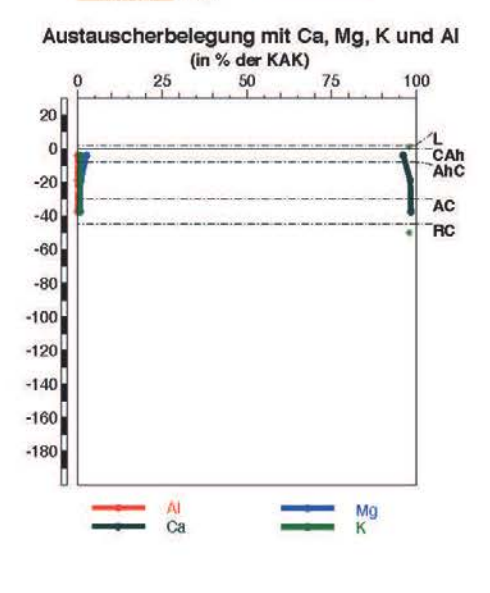












7.2 Chronologien (Rohwerte und trendbereinigte Werte)

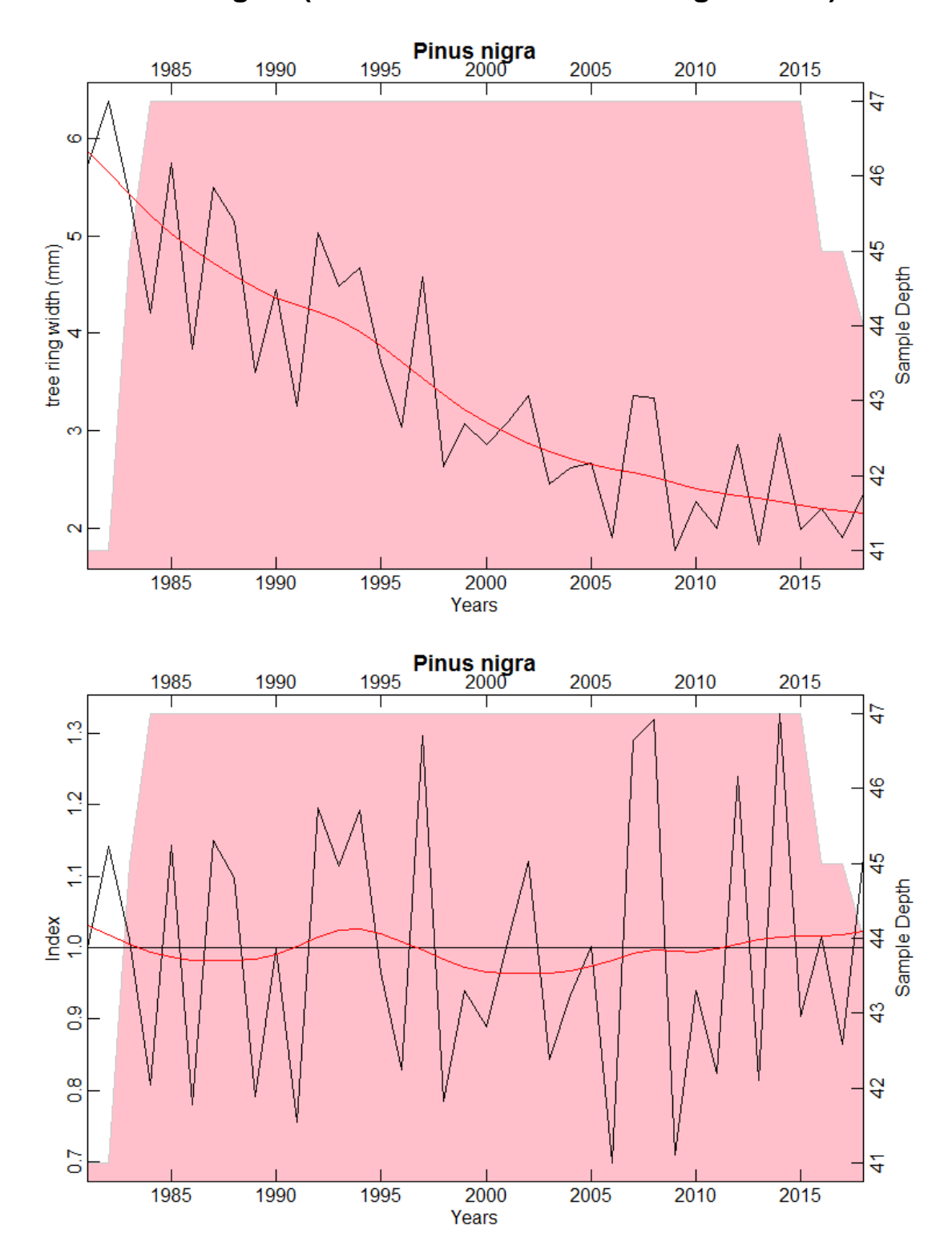


Abbildung 20. Rohe (oben) und trendbereinigte (unten) Chronologien von 47 Schwarzföhren im Bois de Forel. Die rote Linie stellt einen 15-Jahre Spline dar, der Probeumfang ist in Rosa unterlegt.

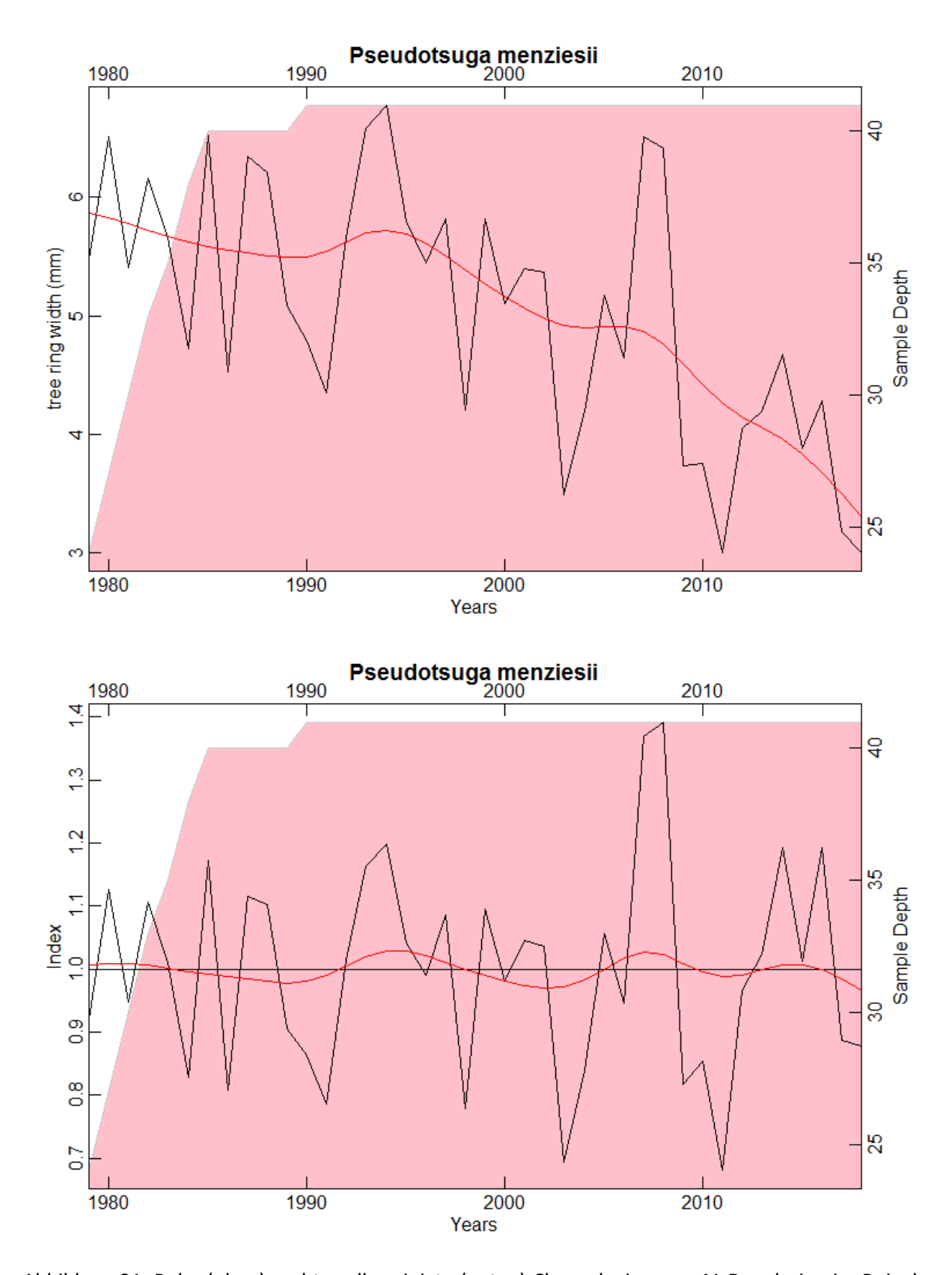


Abbildung 21. Rohe (oben) und trendbereinigte (unten) Chronologien von 41 Douglasien im Bois de Forel. Die rote Linie stellt einen 15-Jahre Spline dar, der Probeumfang ist in Rosa unterlegt.

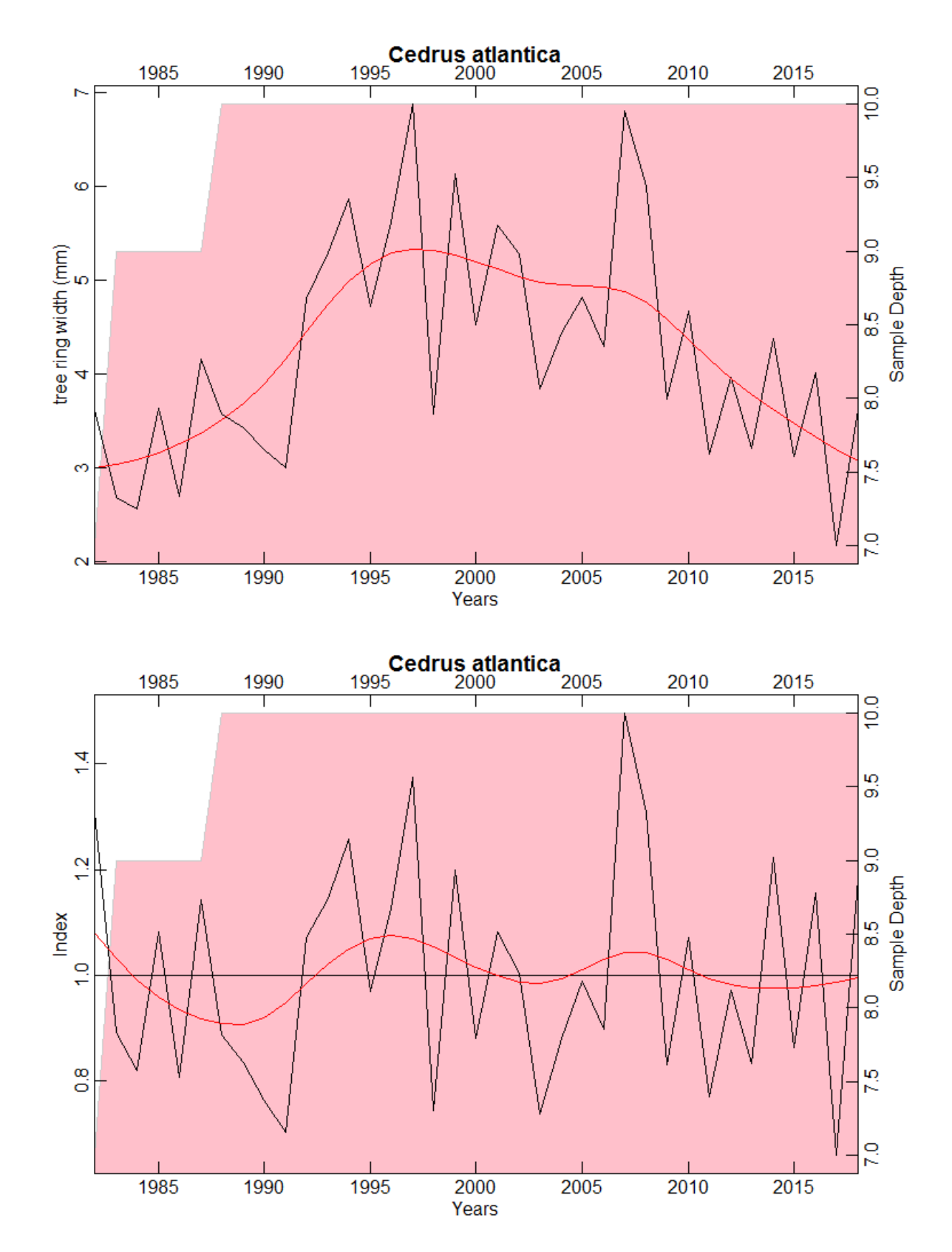


Abbildung 22. Rohe (oben) und trendbereinigte (unten) Chronologien von 10 Atlaszedern im Bois de Forel. Die rote Linie stellt einen 15-Jahre Spline dar, der Probeumfang ist in Rosa unterlegt.

7.3 Klima-Wachstumskorrelationen

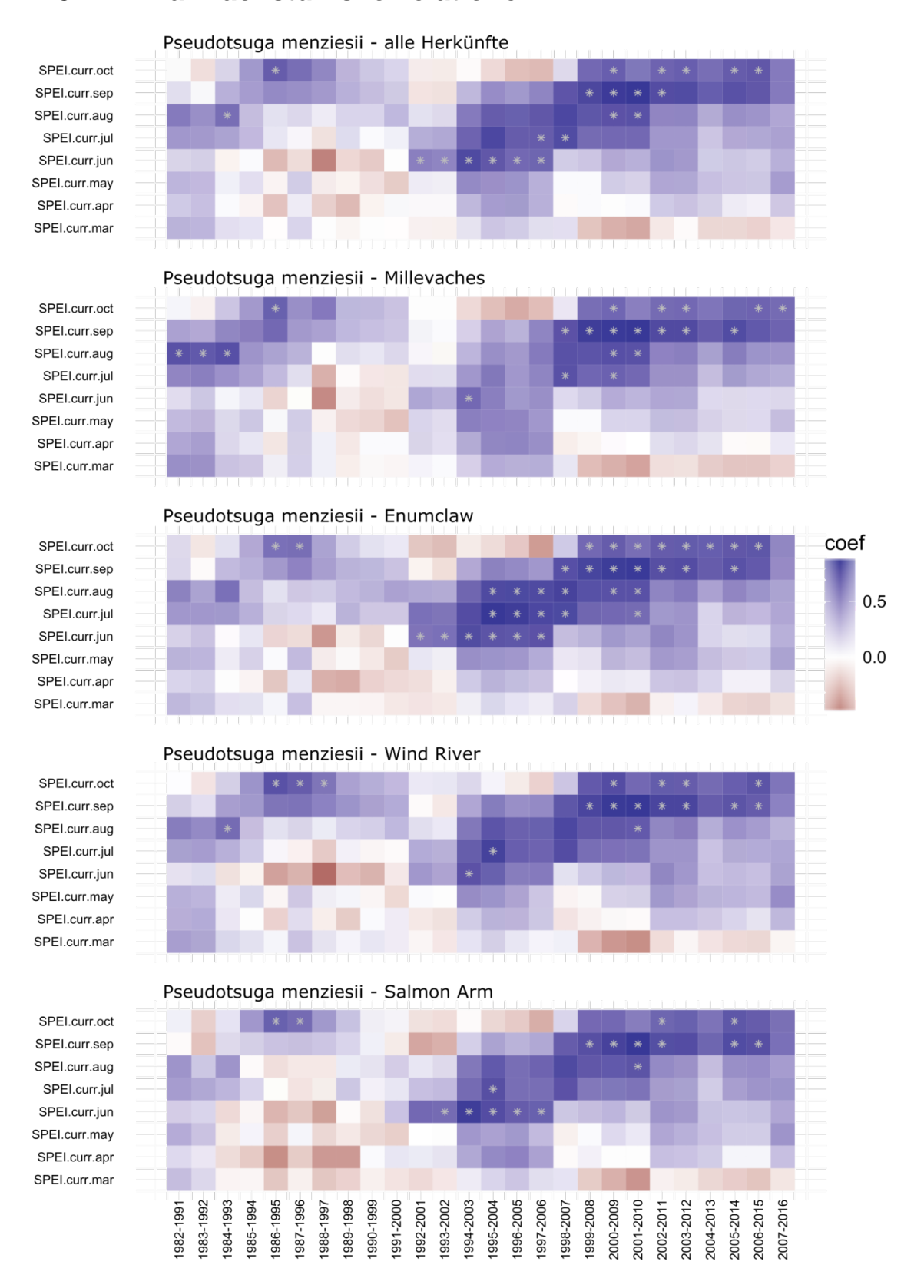


Abbildung 23. Moving-Window Korrelationen von SPEI3 und den trendbereinigten Wachstumsmittelkurven der Douglasienherkünfte.

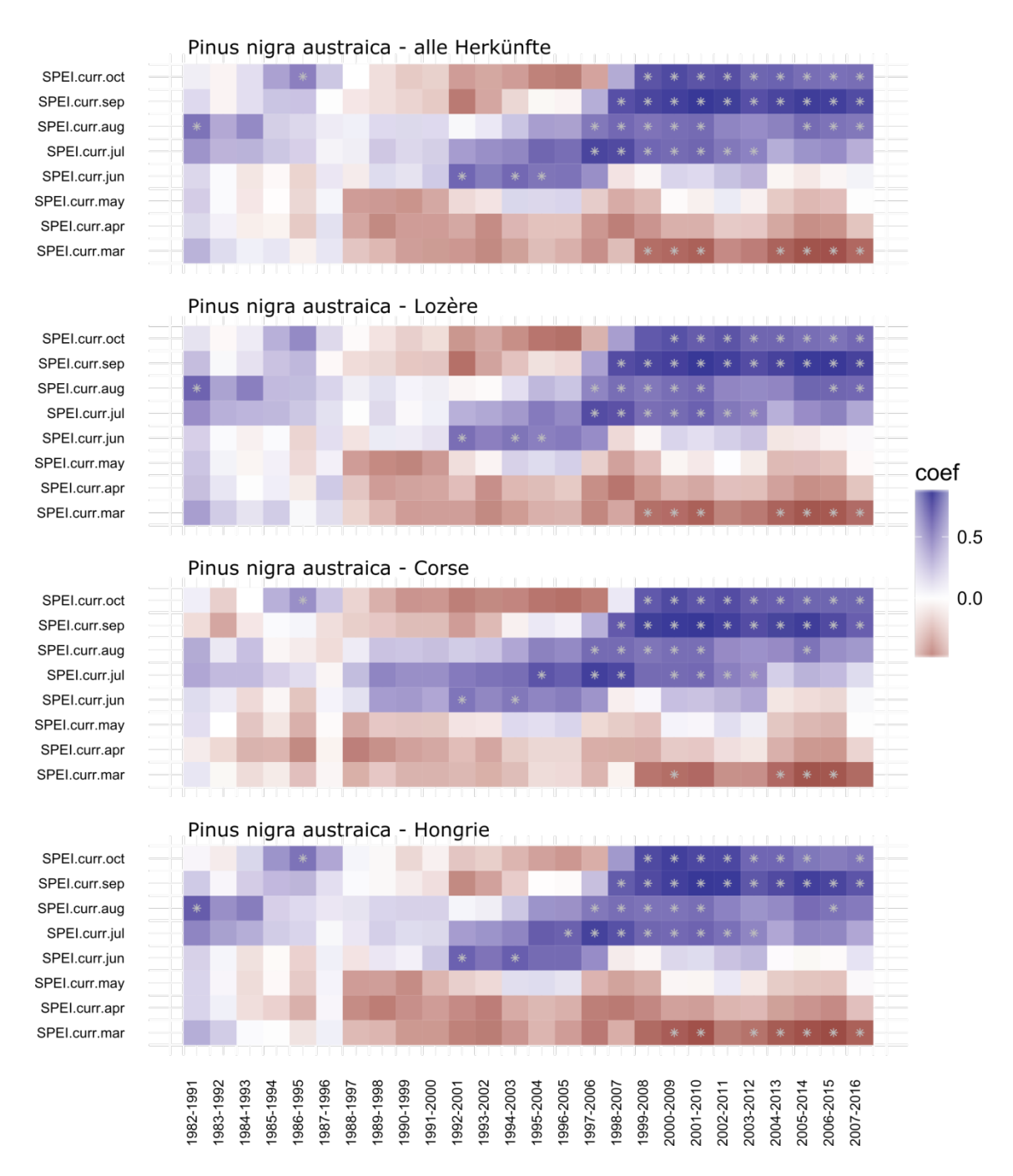


Abbildung 24. Moving-Window Korrelationen von SPEI3 und den trendbereinigten Wachstumsmittelkurven der Schwarzföhrenherkünfte.

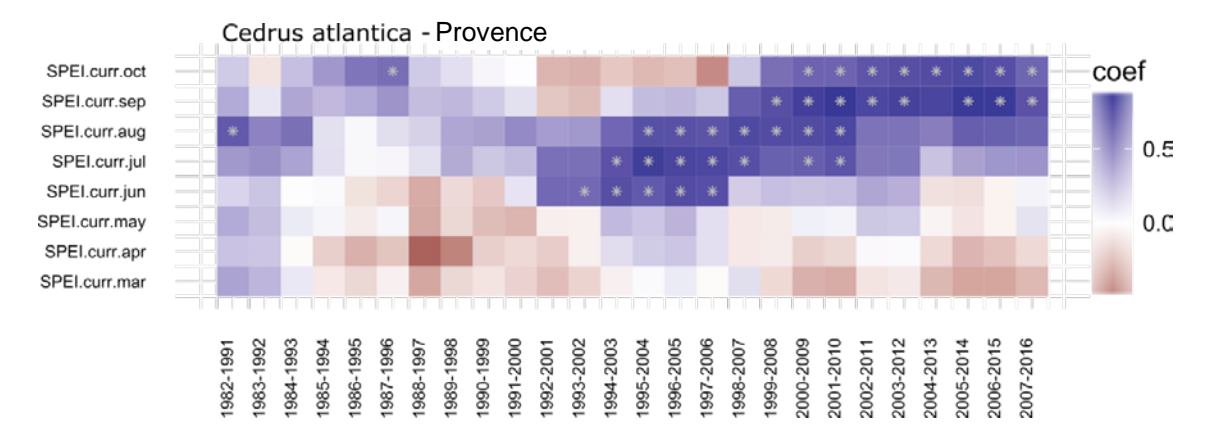


Abbildung 25. Moving-Window Korrelationen von SPEI3 und den trendbereinigten Wachstumsmittelkurven der Atlaszedernherkunft.

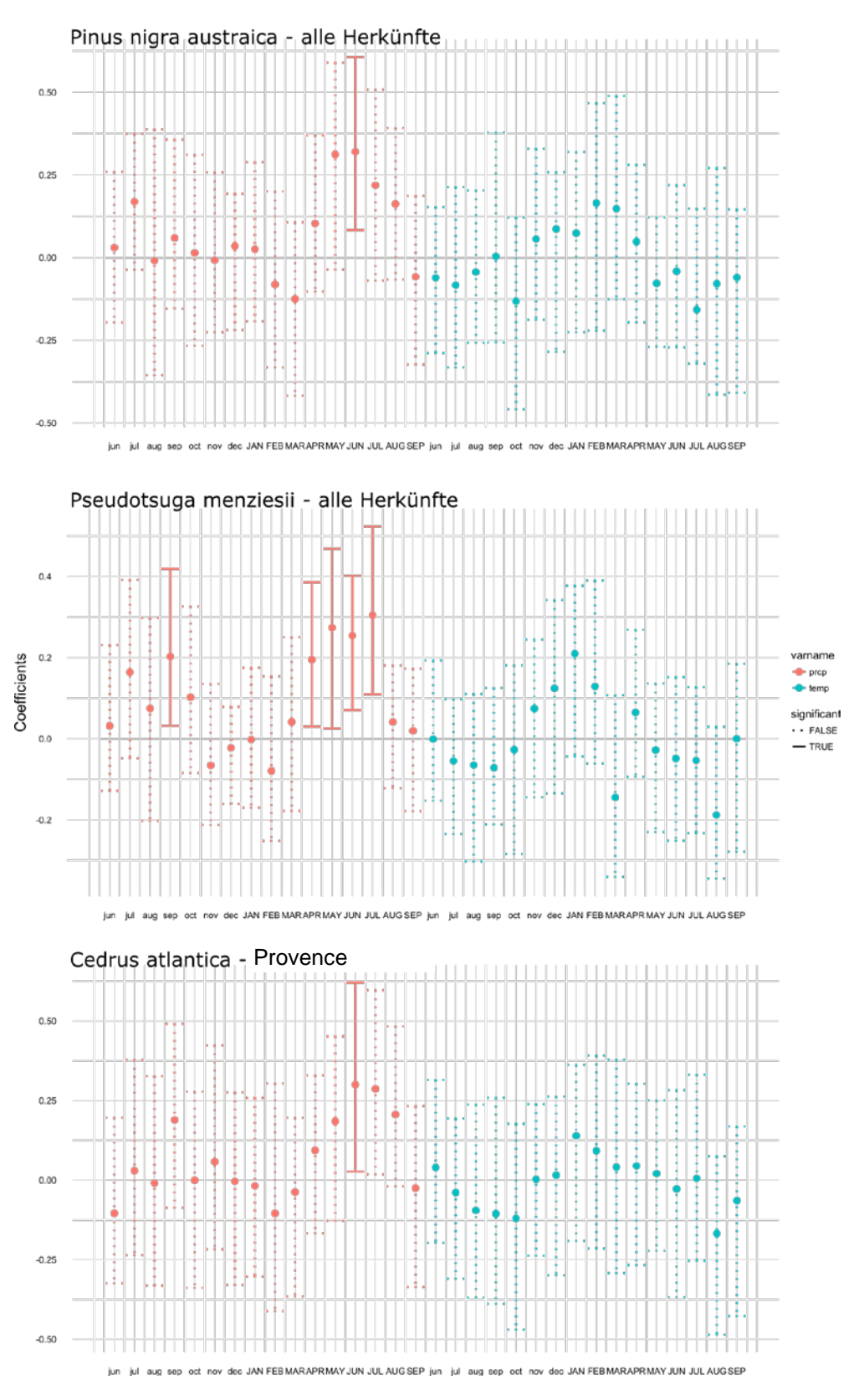


Abbildung 26. Korrelationsplots der Mittelkurven pro Baumart mit dem Monatsmittel der Temperatur (rot) und der monatlichen Niederschlagssumme (blau). Für einzelne Provenienzen s. Abbildung 27 und 28.

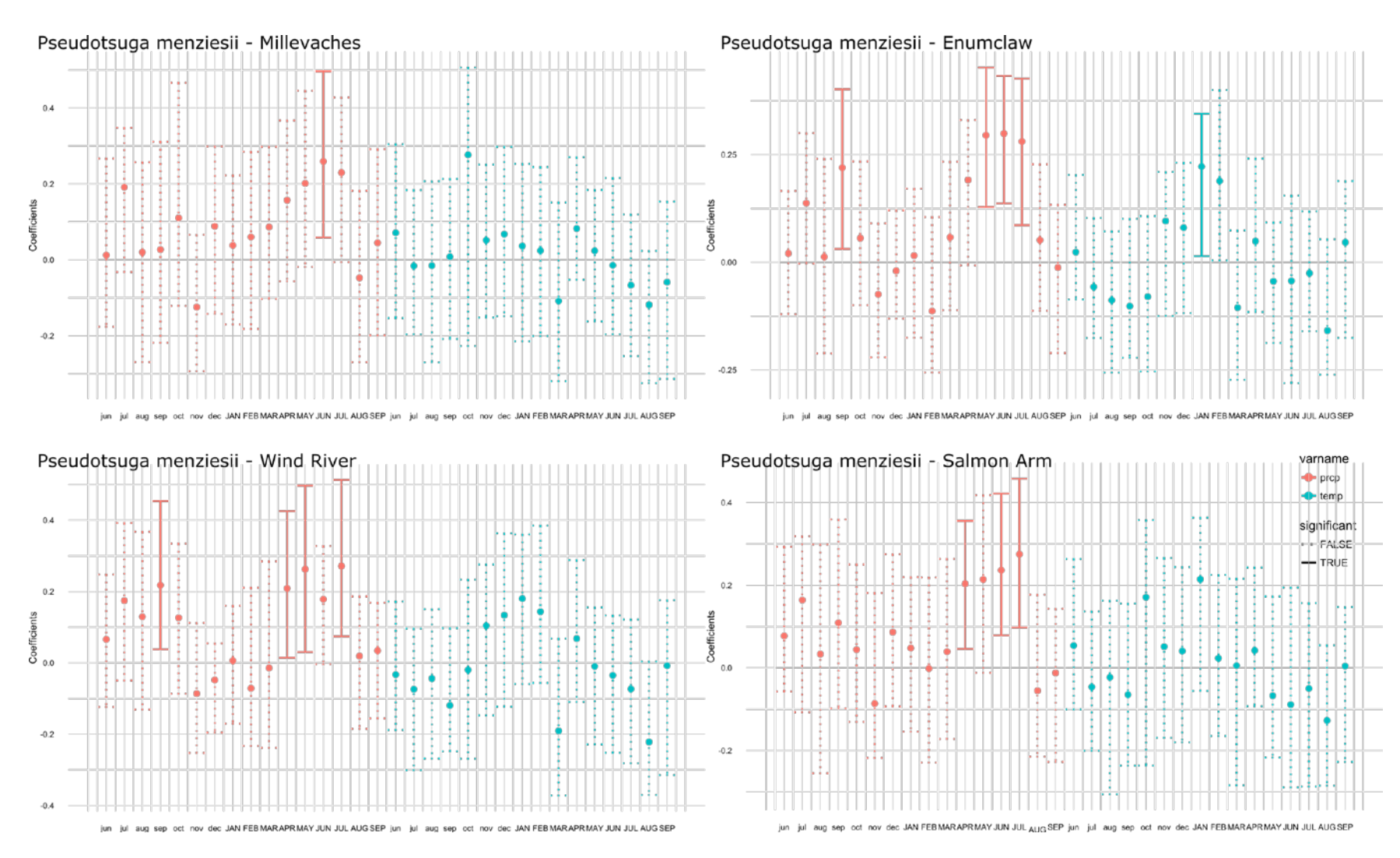


Abbildung 27. Korrelationsplot der Jahrringbreite der Douglasienherkünfte mit dem Monatsmittel der Temperatur (rot) und der monatlichen Niederschlagssumme (blau) von Juni des Vorjahres bis September des Wachstumsjahres.

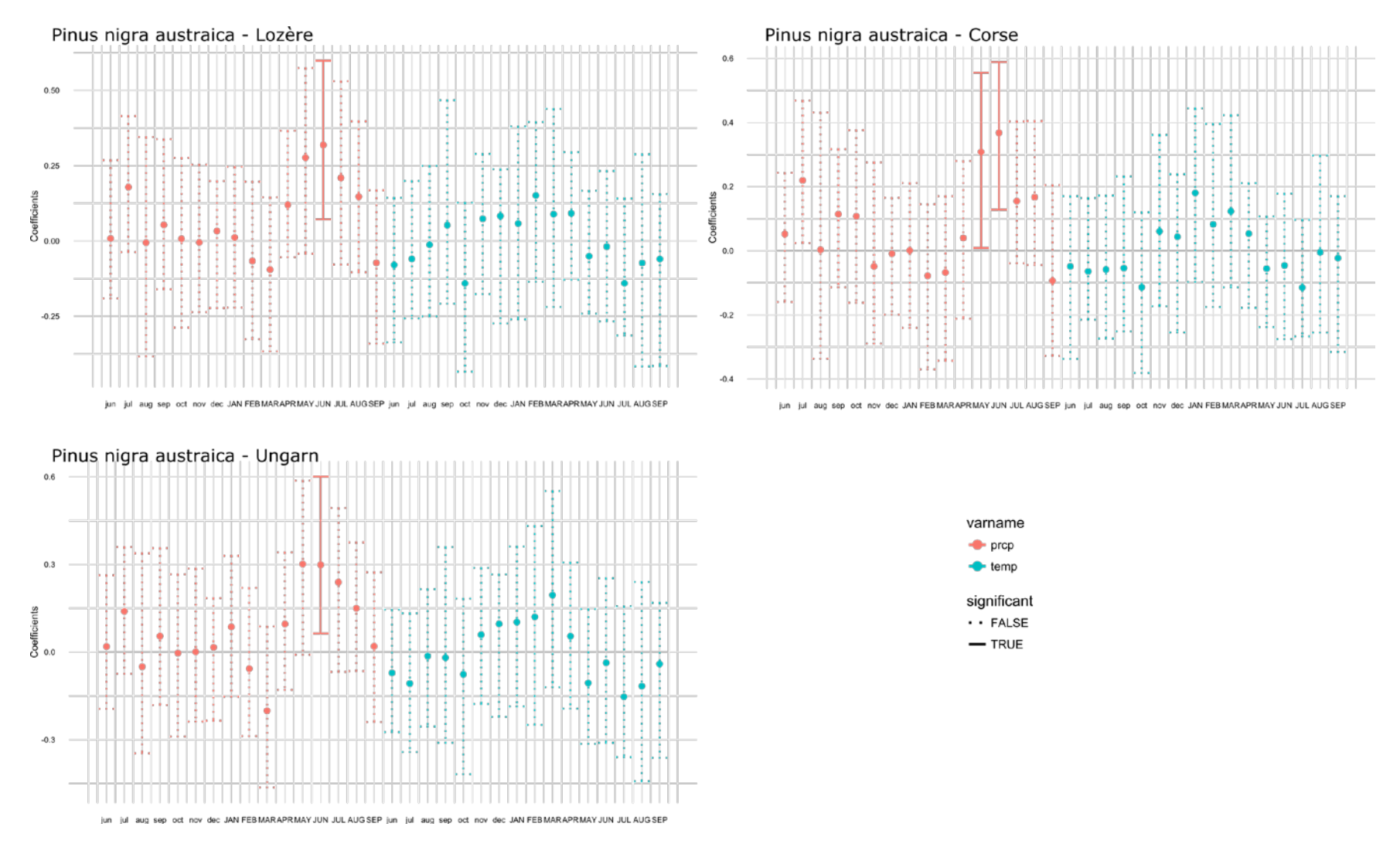


Abbildung 28. Korrelationsplot der Jahrringbreite der Schwarzföhrenherkünfte mit dem Monatsmittel der Temperatur (rot) und der monatlichen Niederschlagssumme (blau) von Juni des Vorjahres bis September des Wachstumsjahres.

7.4 Resilienzindizes

Tabelle 13. Mittlere Resilienzindizes nach Baumart und Herkunft (nur BT 1 und 2).

Baumart	Resistenz		Reco	Recovery		Resilienz	
Herkunft	mean	sd	mean	sd	mean	sd	
Douglasie	0.660	0.080	1.331	0.199	0.878	0.157	
Enumclaw	0.601	0.083	1.384	0.127	0.835	0.159	
Millevaches	0.689	0.056	1.303	0.171	0.902	0.149	
Salmon Arm	0.681	0.090	1.321	0.201	0.894	0.143	
Wind River	0.678	0.031	1.304	0.363	0.882	0.227	
Schwarzföhre	0.758	0.165	1.099	0.180	0.824	0.180	
Corse	0.768	0.230	1.164	0.207	0.863	0.165	
Hongrie	0.769	0.116	1.118	0.226	0.860	0.227	
Lozère	0.746	0.162	1.052	0.116	0.778	0.149	
Atlaszeder	0.694	0.050	1.263	0.230	0.879	0.173	
Provence	0.694	0.050	1.263	0.230	0.879	0.173	
mean	0.711	0.134	1.211	0.221	0.852	0.171	

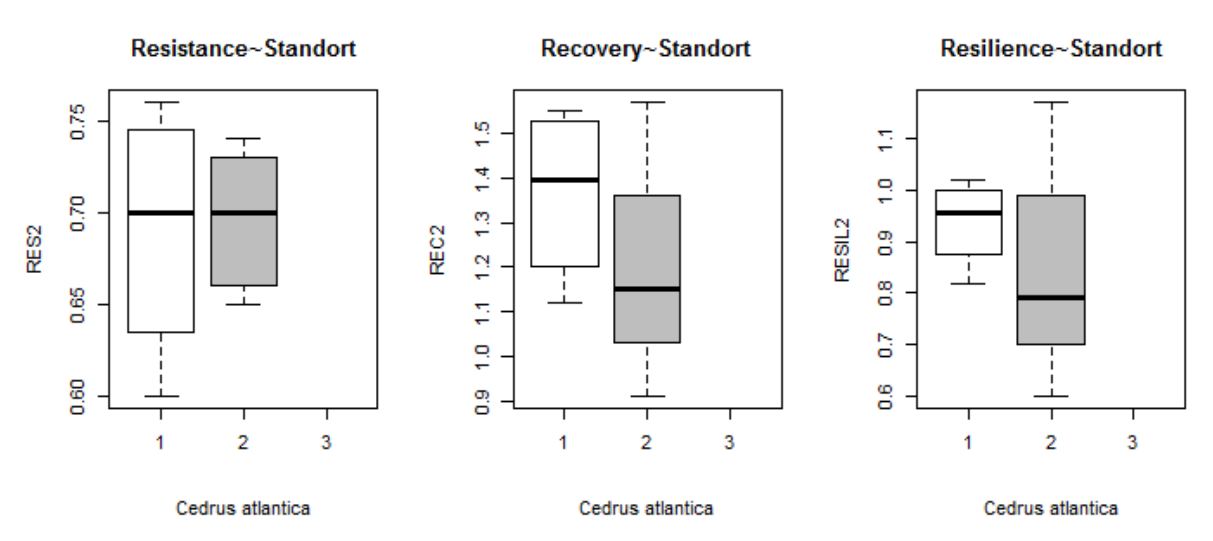


Abbildung 29. Boxplots der Resilienzindizes für Cedrus atlantica nach BT.

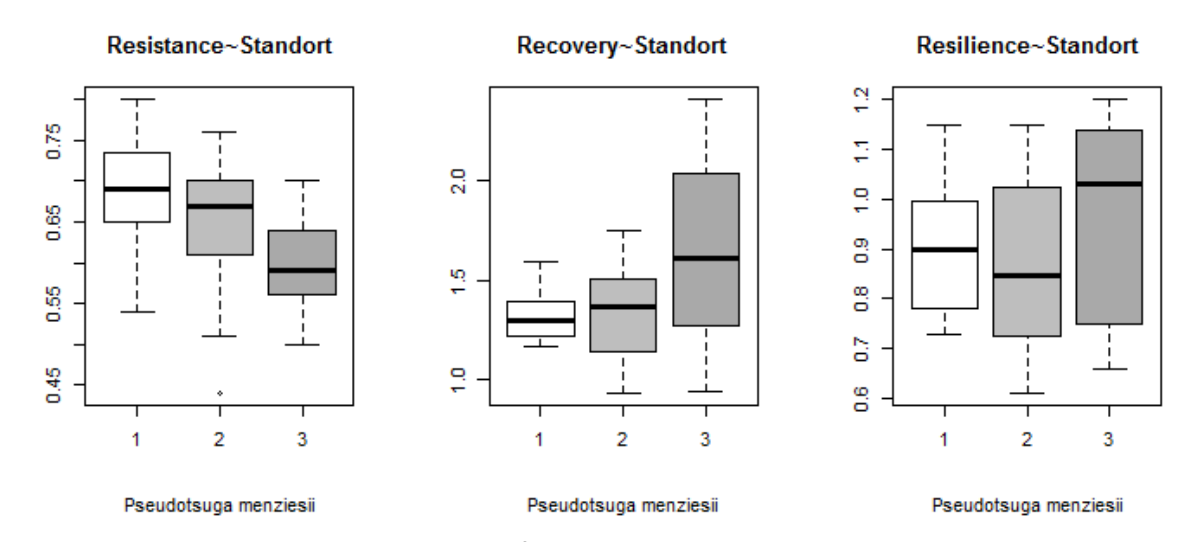


Abbildung 30. Boxplots der Resilienzindizes für Pseudotsuga menziesii nach BT.

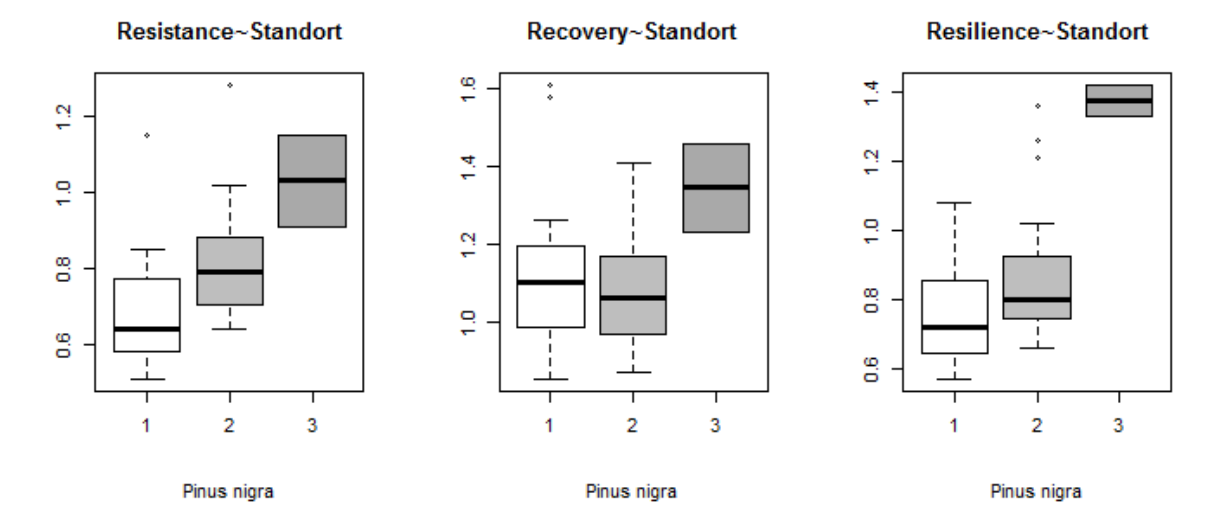


Abbildung 31. Boxplots der Resilienzindizes für Pinus nigra nach BT.

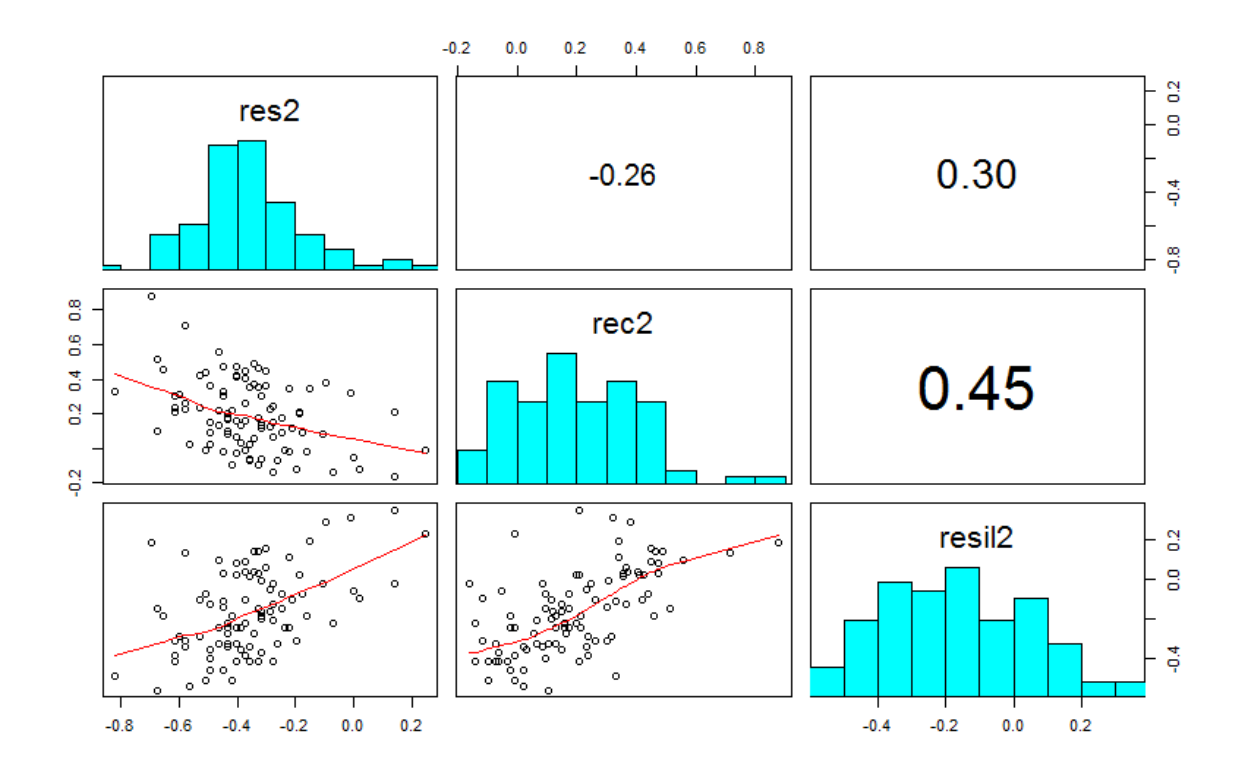


Abbildung 32. Korrelationen zwischen den Resilienzindizes.

7.5 Modellergebnisse

Im Folgenden werden die Ergebnisse der statistischen Modellierung (Tabellen 14 bis 22) kurz in Worten dargestellt.

7.5.1 Modelle für alle Arten

Modell für alle Arten und BT (Tabelle 14)

RES2

Durch BT 2 tendenziell positiv beeinflusst.

REC2

Deutlich positiver Einfluss von BT 3. Tendenziell negativer Einfluss der Schwarzföhre.

RESIL2

Deutlich positiver Einfluss von BT3

Modell für alle Arten und BT 1 und 2 (Tabelle 15)

RES2

Tendenz zu Vorteil von BT 2 gegenüber BT1.

REC2

Signifikant negativer Einfluss von Schwarzföhre auf REC2.

RESIL2

Keine signifikanten Effekte.

7.5.2 Modelle für alle Herkünfte

Modell für alle Herkünfte und BT (Tabelle 16)

RES2

Im Vergleich zu BT 1 hat BT 2 einen signifikant positiven Einfluss auf die Resistenz der Bäume im Trockenjahr 2003, während der Einfluss des BT3 nur tendenziell signifikant ist. Die Douglasienprovenienzen "Enumclaw", "Wind River" sowie die Schwarzföhrenprovenienz "Lozère" zeigen im Vergleich mit den Atlaszedern einen tendenziell negativen Einfluss auf die Resistenz des Durchmesserwachstums.

REC2

Die Erholung des Wachstums nach 2003 ist deutlich positiv von BT 3 beeinflusst. Darüber hinaus hat die Schwarzföhrenprovenienz "Lozère" einen signifikant negativen Einfluss auf die Erholung.

RESIL2

BT 3 hat einen stark positiven Effekt auf die Resilienz des Durchmesserzuwachses. Die Unterschiede im BT überprägen die Unterschiede zwischen den Provenienzen.

Modell für alle Herkünfte und BT 1 und 2 (Tabelle 17)

RES2

Im Vergleich zu BT1 hat BT2 einen signifikant positiven Einfluss auf die Resistenz der Bäume im Trockenjahr 2003, während der Einfluss der Douglasienprovenienz "Enumclaw" im Vergleich mit den Atlaszedern tendenziell negativ ist.

REC2

BT2 unterscheidet sich nicht signifikant von BT1. Die Schwarzföhrenprovenienz "Lozère" zeigt im Vergleich zu den Atlaszedern eine deutlich geringere Erholung.

RESIL2

Resilienzeffekte sind in diesem Modell nicht signifikant. Eine deutlich geringere Resilienz von "Lozère" ist jedoch nach wie vor sichtbar.

7.5.3 Modell für Atlaszeder

Für alle Resilienzparameter keine signifikanten Unterschiede zwischen den BT 1 und 2 (Tabelle 18).

7.5.4 Modelle für Schwarzföhre

Modell für Schwarzföhrenherkünfte und alle BT (Tabelle 19)

RES2

Signifikanter Einfluss des BT: Je tiefgründiger der Boden, desto höher die Resistenz gegenüber Einbrüchen des Durchmesserzuwachses.

REC2

Tendenziell signifikant positiver Einfluss des BT 3. Im Vergleich zur Herkunft "Corse" zeigt "Lozère" einen tendenziell negativen Einfluss auf die Recovery.

RESIL2

Sehr deutlicher, positiver Einfluss des BT 3 auf die Resilienz.

Modell für Schwarzföhrenherkünfte und alle BT (Tabelle 20)

RES2

Deutlich positiver Effekt des BT2 auf Resistenz des Durchmesserzuwachs.

REC2

Geringere Erholung des Durchmesserzuwachses der Herkunft "Lozère" im Vergleich zu "Corse" (knapp nicht signifikant).

RESIL2

Keine signifikanten Effekte.

7.5.5 Modelle für Douglasie

Modell für Douglasienherkünfte und alle BT (Tabelle 21)

RES2

Über den Gradienten der BT nimmt die Resistenz ab, wobei nur BT 3 einen tendenziell negativen Effekt auf RES2 hat. Die Provenienz "Enumclaw" zeigt im

Vergleich die geringsten RES2 Werte, alle anderen Provenienzen wirken sich signifikant positiv auf die modellierte RES2 aus.

REC2

BT3 hat einen tendenziell positiven Effekt auf REC2, BT1 und 2 unterscheiden sich diesbezüglich ebenso wenig wie die 4 Provenienzen.

RESIL2

Das Modell ergibt keine signifikanten Effekte der Variablen für RESIL2.

Modell für Douglasienherkünfte und nur BT 1 und 2 (Tabelle 22)

RES2

Deutlich geringere Resistenz von "Enumclaw".

REC2

Keine signifikanten Effekte.

RESIL2

Keine signifikanten Effekte.

Tabelle 14. Modellergebnisse für glm(R2 $^{\sim}$ BT + Baumart), alle BT.

Alle Arten und BT					
Response Variable	Parameter	Estimate	SE	Pr(> t)	signific. Code
Resistenz 2					
	(Intercept)	0.66232	0.04446	<2e-16	***
	BT 2	0.05279	0.02872	0.0693	•
	BT 3	0.07335	0.05491	0.1850	
	SPDouglas	-0.05092	0.04634	0.2748	
	SPPinus	0.07743	0.04549	0.0922	•
Recovery 2					
	(Intercept)	1.28610	0.07743	< 2e-16	***
	BT 2	-0.03850	0.05001	0.44339	
	BT 3	0.27451	0.09563	0.00512	**
	SPDouglas	0.07444	0.08070	0.35881	
	SPPinus	-0.16823	0.07922	0.03649	*
Resilienz 2					
	(Intercept)	0.86015	0.06249	< 2e-16	***
	BT 2	0.03142	0.04036	0.43840	
	BT 3	0.24218	0.07718	0.00231	**
	SPDouglas	-0.02177	0.06513	0.73893	
	SPPinus	-0.03872	0.06393	0.54634	

Tabelle 15. Modellergebnisse für glm(R2 $^{\sim}$ BT + Baumart), nur BT 1 und 2.

Alle Arten (BT 1 und 2)					
Response Variable	Parameter	Estimate	SE	Pr(> t)	signific. Code
Resistenz 2					
	(Intercept)	0.66409	0.04296	<2e-16	***
	BT 2	0.04985	0.02776	0.0762	•
	SPDouglas	-0.03827	0.04496	0.3971	
	SPPinus	0.06694	0.04408	0.1326	
Recovery 2					
	(Intercept)	1.28572	0.06654	<2e-16	***
	BT 2	-0.03786	0.04300	0.3811	
	SPDouglas	0.07167	0.06964	0.3064	
	SPPinus	-0.16594	0.06828	0.0172	*
Resilienz 2					
	(Intercept)	0.86269	0.05868	<2e-16	***
	BT 2	0.02719	0.03792	0.475	
	SPDouglas	-0.00362	0.06142	0.953	
	SPPinus	-0.05377	0.06022	0.375	

Tabelle 16. Modellergebnisse für glm(R2 $^{\sim}$ BT + Provenienz _in_Baumart), alle BT.

Alle Arten, Herkünft	e und BT				
Response Variable	Parameter	Estimate	SE	Pr(> t)	signific. Code
Resistenz 2					
	(Intercept)	0.64889	0.04476	<2e-16	***
	BT 2	0.07518	0.03104	0.0176	*
	BT 3	0.12651	0.06582	0.0580	•
	Douglas Enumclaw	-0.10804	0.05789	0.0655	•
	Douglas Millevaches	0.01004	0.05789	0.8628	
	Douglas Salmon Arm	-0.02052	0.05764	0.7227	
	Douglas Wind River	-0.11174	0.06585	0.0934	•
	Pinus Corse	0.07400	0.05755	0.2021	
	Pinus Hongrie	0.05672	0.05467	0.3024	
	Pinus Lozère	0.09044	0.05038	0.0762	
Recovery 2					
	(Intercept)	1.30563	0.07909	<2e-16	***
	BT 2	-0.07105	0.05486	0.1988	
	BT 3	0.27538	0.11632	0.0202	*
	Douglas Enumclaw	0.13521	0.1023	0.1899	
	Douglas Millevaches	0.02579	0.1023	0.8016	
	Douglas Salmon Arm	0.06510	0.10186	0.5244	
	Douglas Wind River	0.07120	0.11638	0.5423	
	Pinus Corse	-0.09900	0.10171	0.3332	
	Pinus Hongrie	-0.12782	0.09661	0.1894	
	Pinus Lozère	-0.23156	0.08903	0.0110	*
Resilienz 2					
	(Intercept)	0.85538	0.06392	< 2e-16	***
	BT 2	0.03937	0.04434	0.37702	
	BT 3	0.32149	0.09401	0.00097	***
	Douglas Enumclaw	-0.05187	0.08268	0.53209	
	Douglas Millevaches	0.03087	0.08268	0.70977	
	Douglas Salmon Arm	0.01106	0.08232	0.89342	
	Douglas Wind River	-0.11681	0.09406	0.21774	
	Pinus Corse	-0.01600	0.0822	0.84614	
	Pinus Hongrie	-0.02869	0.07808	0.71420	
	Pinus Lozère	-0.06200	0.07196	0.39132	

Tabelle 17. Modellergebnisse für glm(R2 $^{\sim}$ BT + Provenienz _in_Baumart), nur BT 1 und 2.

Alle Arten und Herkünfte (BT 1 und 2)						
Response Variable	Parameter	Estimate	SE	Pr(> t)	signific. Code	
Resistenz 2						
	(Intercept)	0.65696	0.04384	<2e-16	***	
	BT 2	0.06173	0.03078	0.0483	*	
	Douglas Enumclaw	-0.10535	0.05657	0.0664		
	Douglas Millevaches	0.00735	0.05657	0.8970		
	Douglas Salmon Arm	-0.01917	0.05632	0.7345		
	Douglas Wind River	-0.04069	0.06997	0.5625		
	Pinus Corse	0.07400	0.05624	0.1921		
	Pinus Hongrie	0.06004	0.05343	0.2647		
	Pinus Lozère	0.06933	0.04990	0.1687		
Recovery 2						
	(Intercept)	1.30541	0.06767	< 2e-16	***	
	BT 2	-0.07068	0.04750	0.1408		
	Douglas Enumclaw	0.13514	0.08732	0.1258		
	Douglas Millevaches	0.02586	0.08732	0.7679		
	Douglas Salmon Arm	0.06507	0.08693	0.4564		
	Douglas Wind River	0.06927	0.10800	0.5231		
	Pinus Corse	-0.09900	0.08680	0.2576		
	Pinus Hongrie	-0.12791	0.08248	0.1250		
	Pinus Lozère	-0.23098	0.07702	0.0036	**	
Resilienz 2						
	(Intercept)	0.86817	0.06038	<2e-16	***	
	BT 2	0.01806	0.04238	0.671		
	Douglas Enumclaw	-0.04761	0.07792	0.543		
	Douglas Millevaches	0.02661	0.07792	0.734		
	Douglas Salmon Arm	0.01320	0.07757	0.865		
	Douglas Wind River	-0.00422	0.09636	0.965		
	Pinus Corse	-0.01600	0.07745	0.837		
	Pinus Hongrie	-0.02344	0.07359	0.751		
	Pinus Lozère	-0.09545	0.06873	0.169		

Tabelle 18. Modellergebnisse für das Zedernkollektiv: glm(R2 $^{\sim}$ BT).

Cedrus atlantica					
Response Variable	Parameter	Estimate	SE	Pr(> t)	signific. Code
Resistenz 2					
	(Intercept)	0.69000	0.02642	4.96E-09	***
	BT 2	0.00667	0.03411	0.85	
Recovery 2					
	(Intercept)	1.3650	0.1126	1.99E-06	***
	BT 2	-0.1700	0.1454	0.276	
Resilienz 2					
	(Intercept)	0.9375	0.08766	5.13E-06	***
	BT 2	-0.0975	0.11316	0.414	

Tabelle 19. Modellergebnisse für das Schwarzföhrenkollektiv: glm(R2 $^{\sim}$ BT + Provenienz _in_Baumart), alle BT.

Pinus nigra					
Response Variable	Parameter	Estimate	SE	Pr(> t)	signific. Code
Resistenz 2					
	(Intercept)	0.68268	0.05982	5.34E-14	***
	BT 2	0.14220	0.05507	0.01369	*
	BT 3	0.32912	0.11851	0.00838	**
	Pinus Hongrie	-0.03377	0.06770	0.62067	
	Pinus Lozère	0.01821	0.06356	0.77608	
Recovery 2					
	(Intercept)	1.22411	0.06624	<2e-16	***
	BT 2	-0.10018	0.06098	0.1085	
	BT 3	0.26126	0.13122	0.0535	
	Pinus Hongrie	-0.02165	0.07496	0.7743	
	Pinus Lozère	-0.14037	0.07038	0.0531	•
Resilienz 2					
	(Intercept)	0.81166	0.06672	7.53E-15	***
	BT 2	0.08557	0.06143	0.171	
	BT 3	0.62360	0.13217	3.04E-05	***
	Pinus Hongrie	-0.02406	0.07550	0.752	
	Pinus Lozère	-0.06026	0.07089	0.401	

Tabelle 20. Modellergebnisse für das Schwarzföhrenkollektiv: glm(R2 $^{\sim}$ BT + Provenienz _in_Baumart), nur BT 1 und 2.

Pinus nigra (BT 1 und	2)				
Response Variable	Parameter	Estimate	SE	Pr(> t)	signific. Code
Resistenz 2					
	(Intercept)	0.68268	0.05970	7.22E-14	***
	BT 2	0.14220	0.05496	0.0136	*
	Pinus Hongrie	-0.03377	0.06756	0.6200	
	Pinus Lozère	0.01821	0.06343	0.7757	
Recovery 2					
	(Intercept)	1.22411	0.06635	<2e-16	***
	BT 2	-0.10018	0.06109	0.1093	
	Pinus Hongrie	-0.02165	0.07509	0.7747	
	Pinus Lozère	-0.14037	0.07050	0.0537	•
Resilienz 2					
	(Intercept)	0.81166	0.06748	1.59E-14	***
	BT 2	0.08557	0.06212	0.176	
	Pinus Hongrie	-0.02406	0.07636	0.754	
	Pinus Lozère	-0.06026	0.07170	0.406	

Tabelle 21. Modellergebnisse für das Douglasienkollektiv: glm(R2 $^{\sim}$ BT + Provenienz _in_Baumart), alle BT.

Pseudotsuga menzi	esii				
Response Variable	Parameter	Estimate	SE	Pr(> t)	signific. Code
Resistenz 2					
	(Intercept)	0.62080	0.03362	<2e-16	***
	BT 2	-0.02475	0.03007	0.4161	
	BT 3	-0.10475	0.05577	0.0689	•
	Douglas Millevaches	0.07810	0.03532	0.0339	*
	Douglas Salmon Arm	0.07752	0.03335	0.0262	*
	Douglas Wind River	0.08195	0.04112	0.0543	
Recovery 2					
	(Intercept)	1.37757	0.12712	1.43E-12	***
	BT 2	0.00803	0.11370	0.9441	
	BT 3	0.35803	0.21088	0.0987	•
	Douglas Millevaches	-0.07779	0.13357	0.5642	
	Douglas Salmon Arm	-0.06220	0.12610	0.6250	
	Douglas Wind River	-0.08161	0.15548	0.6031	
Resilienz 2					
	(Intercept)	0.85677	0.07912	1.46E-12	***
	BT 2	-0.02721	0.07076	0.703	
	BT 3	0.04679	0.13125	0.724	
	Douglas Millevaches	0.05611	0.08313	0.504	
	Douglas Salmon Arm	0.05628	0.07848	0.478	
	Douglas Wind River	0.05244	0.09677	0.591	

Tabelle 22. Modellergebnisse für das Douglasienkollektiv: glm(R2 $^{\sim}$ BT + Provenienz _in_Baumart), nur BT 1 und 2.

Pseudotsuga menzi	esii (BT 1 und 2)				
Response Variable	Parameter	Estimate	SE	Pr(> t)	signific. Code
Resistenz 2					
	(Intercept)	0.62080	0.03349	<2E-16	***
	BT 2	-0.02475	0.02996	0.4151	
	Douglas Millevaches	0.07810	0.03519	0.0342	*
	Douglas Salmon Arm	0.07752	0.03322	0.0265	*
	Douglas Wind River	0.08195	0.04096	0.0546	
Recovery 2					
	(Intercept)	1.37757	0.094286	3.52E-15	***
	BT 2	0.00803	0.084332	0.925	
	Douglas Millevaches	-0.07779	0.099067	0.438	
	Douglas Salmon Arm	-0.06220	0.093528	0.511	
	Douglas Wind River	-0.08161	0.115322	0.485	
Resilienz 2					
	(Intercept)	0.85677	0.07436	1.53E-12	***
	BT 2	-0.02721	0.06651	0.685	
	Douglas Millevaches	0.05611	0.07814	0.478	
	Douglas Salmon Arm	0.05628	0.07377	0.451	
	Douglas Wind River	0.05244	0.09096	0.569	

7.6 Material

Für die Feldarbeit wurde folgendes Material verwendet:

Versuchsflächenpläne

Umfangmassband

Zuwachsbohrer (Schärfset und Reinigungsmaterial)

Tabelle 23. Korrelationskoeffizienten (Pearson) für die mittleren, unbehandelten Jahrringchronologien der drei Baumarten sowie ihre jeweiligen Provenienzen, SPEI3.SEPT, Jahresniederschlagsumme (PREC), Jahresmitteltemperatur (TEMP) und Niederschlagsumme von Mai-September (summerPREC). Alle Werte >0.6 sind grün hinterlegt. Zeitraum 1982-2016 (längstes gemeinsames Intervall).

	Douglasie	D116	D300	D310	D320	S.Föhre	SK580	SK360	SK540	A.Zeder	SPEI3.SEPT	PREC	TEMP	Summer-PREC
Douglasie		0.78	0.93	0.95	0.94	0.74	0.70	0.77	0.75	0.57	0.44	0.56	-0.26	0.67
D116	0.78		0.78	0.58	0.57	0.29	0.26	0.33	0.31	0.73	0.39	0.42	0.20	0.61
D300	0.93	0.78		0.82	0.81	0.62	0.56	0.68	0.64	0.71	0.39	0.53	-0.05	0.68
D310	0.95	0.58	0.82		0.97	0.84	0.82	0.85	0.85	0.38	0.42	0.51	-0.46	0.55
D320	0.94	0.57	0.81	0.97		0.86	0.83	0.87	0.85	0.38	0.36	0.52	-0.47	0.56
S.Föhre	0.74	0.29	0.62	0.84	0.86		0.99	0.98	0.99	0.07	0.21	0.42	-0.46	0.45
SK580	0.70	0.26	0.56	0.82	0.83	0.99		0.95	0.98	0	0.20	0.40	-0.50	0.42
SK360	0.77	0.33	0.68	0.85	0.87	0.98	0.95		0.97	0.15	0.18	0.42	-0.40	0.46
SK540	0.75	0.31	0.64	0.85	0.85	0.99	0.98	0.97		0.12	0.24	0.44	-0.42	0.48
A.Zeder	0.57	0.73	0.71	0.38	0.38	0.07	0	0.15	0.12		0.39	0.29	0.30	0.43
SPEI3.SEPT	0.44	0.39	0.39	0.42	0.36	0.21	0.20	0.18	0.24	0.39		0.69	-0.05	0.43
PREC	0.56	0.42	0.53	0.51	0.52	0.42	0.40	0.42	0.44	0.29	0.69		-0.12	0.69
TEMP	-0.26	0.20	-0.05	-0.46	-0.47	-0.46	-0.50	-0.40	-0.42	0.30	-0.05	-0.12		-0.05
summerPREC	0.67	0.61	0.68	0.55	0.56	0.45	0.42	0.46	0.48	0.43	0.43	0.69	-0.05	

Tabelle 24. Korrelationskoeffizienten (Pearson) für die mittleren, unbehandelten Jahrringchronologien der drei Baumarten sowie ihre jeweiligen Provenienzen, SPEI3.SEPT, Jahresniederschlagsumme (PREC), Jahresmitteltemperatur (TEMP) und Niederschlagsumme von Mai-September (summerPREC). Alle Werte >0.6 sind grün hinterlegt. Zeitraum **2000-2016**.

	Douglasie	D116	D300	D310	D320	S.Föhre	K580	K360	K540	A.Zeder	SPEI3.SEP	PREC	TEMP	summerPREC
Douglasie		0.98	0.97	0.99	0.99	0.79	0.8	0.79	0.7	0.89	0.71	0.59	-0.11	0.65
D116	0.98		0.93	0.97	0.98	0.77	0.79	0.76	0.68	0.88	0.74	0.57	-0.09	0.68
D300	0.97	0.93		0.95	0.93	0.79	0.79	0.81	0.7	0.89	0.69	0.62	-0.06	0.66
D310	0.99	0.97	0.95		0.97	0.77	0.78	0.78	0.69	0.84	0.67	0.55	-0.13	0.61
D320	0.99	0.98	0.93	0.97		0.76	0.79	0.74	0.69	0.88	0.68	0.55	-0.18	0.60
S.Föhre	0.79	0.77	0.79	0.77	0.76		0.99	0.96	0.98	0.81	0.78	0.54	0.07	0.54
K580	0.80	0.79	0.79	0.78	0.79	0.99		0.93	0.96	0.84	0.80	0.54	0.03	0.57
K360	0.79	0.76	0.81	0.78	0.74	0.96	0.93		0.88	0.79	0.73	0.49	0.07	0.43
K540	0.70	0.68	0.7	0.69	0.69	0.98	0.96	0.88		0.71	0.75	0.54	0.11	0.56
A.Zeder	0.89	0.88	0.89	0.84	0.88	0.81	0.84	0.79	0.71		0.75	0.45	-0.16	0.59
SPEI3.SEPT	0.71	0.74	0.69	0.67	0.68	0.78	0.8	0.73	0.75	0.75		0.49	0.03	0.71
PREC	0.59	0.57	0.62	0.55	0.55	0.54	0.54	0.49	0.54	0.45	0.49		-0.05	0.74
TEMP	-0.11	-0.09	-0.06	-0.13	-0.18	0.07	0.03	0.07	0.11	-0.20	0.03	-0.05		0.12
summerPREC	0.65	0.68	0.66	0.61	0.6	0.54	0.57	0.43	0.56	0.59	0.71	0.74	0.12	

Tabelle 25. Korrelationskoeffizienten (Pearson) für die mittleren, unbehandelten Jahrringchronologien der drei Baumarten sowie ihre jeweiligen Provenienzen, mit den Monatsmitteln der Temperatur. Alle Werte >0.6 sind grün hinterlegt. Zeitraum **1982-2016** (längstes gemeinsames Intervall).

	JAN	FEB	MAR	APR	MAY	JUN	JUL	AUG	SEP	ОСТ	NOV	DEC
Douglasie	0.69	0.11	0.28	0.14	0.54	0.02	0.24	0.09	0.22	0.99	0.03	0.78
D116	0.10	0.03	1.00	0.26	0.15	0.99	0.55	0.41	0.19	0.17	0.60	0.41
D300	0.25	0.01	0.56	0.42	0.85	0.07	0.38	0.35	0.19	0.85	0.11	0.49
D310	0.61	0.35	0.10	0.02	0.14	0.00	0.17	0.04	0.28	0.67	0.01	0.87
D320	0.79	0.63	0.18	0.01	0.11	0.00	0.24	0.06	0.50	0.45	0.01	0.60
S.Föhre	0.33	0.95	0.29	0.02	0.07	0.00	0.29	0.38	0.69	0.29	0.13	0.76
K580	0.22	0.80	0.16	0.03	0.06	0.00	0.32	0.29	0.74	0.32	0.13	0.83
K360	0.51	0.87	0.51	0.02	0.11	0.00	0.35	0.62	0.67	0.25	0.15	0.75
K540	0.46	0.92	0.46	0.04	0.10	0.00	0.22	0.41	0.63	0.28	0.13	0.67
A.Zeder	0.12	0.01	0.12	0.15	0.04	0.61	0.13	0.89	0.27	0.83	0.75	0.92

Tabelle 26. Korrelationskoeffizienten (Pearson) für die mittleren, unbehandelten Jahrringchronologien der drei Baumarten sowie ihre jeweiligen Provenienzen, mit den Monatsmitteln der Temperatur. Alle Werte >0.6 sind grün hinterlegt. Zeitraum **2000-2016**.

	JAN	FEB	MAR	APR	MAY	JUN	JUL	AUG	SEP	OCT	NOV	DEC
Douglasie	0.02	0.03	0.79	0.55	0.67	0.67	0.27	0.07	0.06	0.32	0.04	0.48
D116	0.02	0.06	0.95	0.74	0.53	0.68	0.28	0.08	0.04	0.28	0.06	0.52
D300	0.02	0.00	0.79	0.44	0.65	0.56	0.24	0.10	0.08	0.33	0.04	0.59
D310	0.04	0.05	0.71	0.56	0.81	0.87	0.31	0.07	0.08	0.38	0.05	0.59
D320	0.02	0.07	0.75	0.52	0.72	0.62	0.31	0.08	0.06	0.35	0.04	0.26
S.Föhre	0.01	0.03	0.09	0.62	0.59	0.65	0.02	0.48	0.01	0.68	0.12	0.66
K580	0.01	0.04	0.12	0.75	0.60	0.71	0.03	0.44	0.01	0.67	0.10	0.53
K360	0.03	0.03	0.15	0.34	0.31	0.58	0.03	0.64	0.01	0.64	0.11	0.76
K540	0.00	0.05	0.05	0.74	0.90	0.64	0.03	0.45	0.03	0.76	0.21	0.81
A.Zeder	0.09	0.01	0.95	0.97	0.52	0.67	0.19	0.09	0.03	0.52	0.03	0.14

8 Anhang zur ertragskundlichen Fläche und Auswertung

8.1 Provenienzverzeichnis

Die Pflanzenherkunft ist in der Dokumentation des Kantons Waadt durch Lieferscheine von Pflanzen und Zwischenberichte von G. Jeantet relativ gut dokumentiert (Tabelle 27); es gibt aber einzelne Lücken und Widersprüche.

Atlaszeder: Hier wird z.T. eine Herkunft "Monts Atlas" und "Maroc" erwähnt. Es gibt aber die genauesten Herkunftshinweise auf die Provence, weshalb angenommen wird, dass es um eine Provence-Herkunft geht.

Tabelle 27. Verzeichnis der verwendeten Herkünfte. Quelle: Versuchsdokumentation des Kantons Waadt. "Nr. auf Plan" bezieht sich auf die zahlreichen Pläne des Kantons Waadt (verzeichnet in Tabelle 36).

Baumart	Nr. auf Plan	Herkunftsbezeichnung	Jahr	Höhe ü.M. [m]
Cedrus atlantica	34, 103	Provence, Frankreich	Frühjahr 1970, 1973 (in Töpfen)	230
Larix decidua	90	Schlitz, Deutschland	Herbst 1970, Frühjahr 1973	
Pseudotsuga menziesii	32	Salmon Arm, British Columbia, Kanada	Frühjahr 1970	335
Pseudotsuga menziesii	31	Wind River, USA	Frühjahr 1970	345
Pseudotsuga menziesii	30	Enumclaw, Washington, USA	Frühjahr 1970, Herbst 1973	390
Pseudotsuga menziesii	116	Millevaches, Frankreich	Frühjahr 1973	
Pseudotsuga menziesii	133	Kandern, Deutschland	Frühjahr 1972	300-900
Pseudotsuga menziesii	113	Darrington, Washinghton, USA	Frühjahr 1973 (1974?)	600
Picea omorica	60	Nördlich Visegrad, Jugoslawien (heute Bosnien)	Herbst 1970	1200
Pinus jeffreyi	44	Jackson (Ashland), Oregon, USA	Frühjahr 1970	1200
Pinus leucodermis	42	Banderitza, Bulgarien	Frühjahr 1970	1500
Pinus nigra var. Iaricio corsicana	36	La Sorba, La Rospa, Korsika, Frankreich	Frühjahr 1970, Herbst 1970, Frühjahr 1977	1000
Pinus nigra var. laricio salzmannii	37	Cévennes, Frankreich	Frühjahr 1970, Herbst 1970, Frühjahr 1975	500
Pinus nigra var. austriaca	54	Ungarn	Herbst 1970	
Pinus nigra var. austriaca	58	Lozère, Frankreich	Herbst 1970	
Pinus sylvestris	89	Hochrhein, Deutschland	Herbst 1970	
Pinus sylvestris	?	Niederwil, Schweiz	1973	
Pinus maritima	50	Korsika, Frankreich	Frühjahr 1970	600-800

Baumart	Nr. auf Plan	Herkunftsbezeichnung	Jahr	Höhe ü.M. [m]
var.				
mesogeensis				
Pinus	43	Kalifornien, USA	Frühjahr 1970,	1260
ponderosa			Frühjahr 1975	
Pinus	115	USA	Frühjahr 1973	1260
ponderosa				
Pinus rigida	52	Adirondack Mountains,	Frühjahr 1970	_
		USA		
Tilia grandifolia	88	Le Muids, Schweiz	Herbst 1970	_
Pseudotsuga		Unbekannt	Frühjahr 1977 (in	
menziesii			Töpfen)	
Pinus nigra		Unbekannt	Frühjahr 1977	

8.2 Modellergebnisse mit modifiziertem Datensatz

Tabelle 28. Modellergebnisse für glm (dGZ $^{\sim}$ Herkunft+ BT) mit BT 1.5 und BT 3.

dGZ	Parameter		Estimate	Std. Error	t value	Pr(> t)	
	(Intercept)		4.90714	0.54596	8.988	2.85E-08	***
	Cedrus atlantica	Provence	-0.29643	0.76788	-0.386	0.703756	
	Pseudotsuga menziesii	Enumclaw	5.05857	0.76788	6.588	2.64E-06	***
	Pseudotsuga menziesii	Millevaches	2.78284	0.98301	2.831	0.010678	*
	Pseudotsuga menziesii	Salmon Arm	3.02357	0.76788	3.938	0.000884	***
	Pseudotsuga menziesii	Wind River	4.46429	0.98809	4.518	0.000235	***
	Picea omorica	Jugoslawien	-1.27714	0.99242	-1.287	0.213591	
	Pinus ponderosa	Kalifornien	-2.42178	0.65458	-3.700	0.001521	**
	Pinus nigra	Cevennen	-2.27716	0.98301	-2.317	0.031854	*
	Pinus nigra	Korsika	1.28667	0.67667	1.901	0.072517	
	Pinus nigra	Korsika_Cevennen	3.46429	0.98809	3.506	0.002363	**
	Pinus nigra	Ungarn	0.69893	0.65574	1.066	0.299845	
	Pinus nigra	Lozère	0.42553	0.56629	0.751	0.461593	
	Nullfläche	NA	-3.04714	0.99242	-3.070	0.006297	**
	Pinus sylvestris	Oberrhein	-0.08215	0.76648	-0.107	0.915776	
	BT 1.5	·	0.31002	0.42281	0.733	0.472364	
	BT 2		0.62857	0.45695	1.376	0.184951	
	BT 3		5.23857	1.25796	4.164	0.000526	***

Tabelle 29. Modellergebnisse für glm (dGZ $^{\sim}$ Herkunft+ BT) mit BT 3 ohne BT 1.5.

dGZ	Parameter		Estimate	Std. Error	t value	Pr(> t)	
	(Intercept)		4.87384	0.64354	7.574	2.69E-07	***
	Cedrus atlantica	Provence	-0.05346	0.91796	-0.058	0.95414	
	Pseudotsuga menziesii	Enumclaw	5.30154	0.91796	5.775	1.19E-05	***
	Pseudotsuga menziesii	Millevaches	3.12616	1.19138	2.624	0.01626	*
	Pseudotsuga menziesii	Salmon Arm	3.00692	0.92600	3.247	0.00404	**
	Pseudotsuga menziesii	Wind River	6.22496	1.01221	6.150	5.22E-06	***
	Picea omorica	Jugoslawien	-1.24384	1.19138	-1.044	0.30893 0.00699	
	Pinus ponderosa	Kalifornien	-2.36115	0.78567	-3.005		**
	Pinus nigra	Cevennen	-2.45308	1.16624	-2.103	0.04829	*
	Pinus nigra	Korsika	1.45975	0.83062	1.757	0.09415	
	Pinus nigra	Korsika_Cevennen	3.60692	1.16624	3.093	0.00574	**
	Pinus nigra	Ungarn	0.89173	0.76657	1.163	0.25841	
	Pinus nigra	Lozère	0.26105	0.69294	0.377	0.71034	
	Nullfläche	NA	-3.01384	1.19138	-2.530	0.01993	*
	Pinus sylvestris	Oberrhein	0.10616	0.95748	0.111	0.91282	
	BT 2		0.51924	0.42175	1.231	0.23255	
	BT 3		1.89315	0.89617	2.112	0.04742	*

Tabelle 30. Modellergebnisse für glm (G $^{\sim}$ Herkunft+ BT) mit BT 1.5 und BT 3.

6	Dament atau		Estima-	Std.	t	D-/- [+])	
G	Parameter		te	Error	value	Pr(> t)	**
	(Intercept)		30.007	2.8631	10.48	2.46E-09	**
	Cedrus atlantica	Provence	-2.1963	4.0269	-0.545	0.59182	
	Pseudotsuga menziesii	Enumclaw	16.153	4.0269	4.011	7.46E-04	**
	Pseudotsuga menziesii	Millevaches	9.3611	5.1550	1.816	0.08519	
	Pseudotsuga menziesii	Salmon Arm	10.153	4.0269	2.521	0.02077	*
	Pseudotsuga menziesii	Wind River	12.846	5.1817	2.479	0.02271	*
	Picea omorica	Jugoslawien	-5.0074	5.2044	-0.962	0.34805	
	Pinus ponderosa	Kalifornien	-13.019	3.4327	-3.793	0.00123	**
	Pinus nigra	Cevennen	-	5.1550	-2.452	0.02406	*
	Pinus nigra	Korsika	3.000	3.5486	0.845	0.40840	
	Pinus nigra	Korsika_Cevenn	12.446	5.1817	2.402	0.02669	*
	Pinus nigra	Ungarn	1.1000	3.4388	0.320	0.75254	
	Pinus nigra	Lozère	0.1711	2.9697	0.058	0.95466	
	Nullfläche	NA	-	5.2044	-2.922	0.00874	**
	Pinus sylvestris	Oberrhein	-2.5232	4.0195	-0.628	0.53765	
	BT 1.5		1.6314	2.2173	0.736	0.47084	
	BT 2		2.4462	2.3963	1.021	0.32015	
	BT 3		25.346	6.5969	3.842	0.00109	**

Tabelle 31. Modellergebnisse für glm (G $^{\sim}$ Herkunft+ BT) ohne BT 1.5 mit BT 3.

G	Parameter		Estimate	Std. Error	t value	Pr(> t)	
	(Intercept)		29.8911	3.3307	8.974	1.89E-08	***
	Cedrus atlantica	Provence	-1.1478	4.751	-0.242	0.811564	
	Pseudotsuga menziesii	Enumclaw	17.2022	4.751	3.621	0.001704	**
	Pseudotsuga menziesii	Millevaches	11.1089	6.1662	1.802	0.086705	
	Pseudotsuga menziesii	Salmon Arm	10.0955	4.7926	2.106	0.047993	*
	Pseudotsuga menziesii	Wind River	21.3571	5.2388	4.077	0.000588	***
	Picea omorica	Jugoslawien	-4.8911	6.1662	-0.793	0.436966	
	Pinus ponderosa	Kalifornien	-12.8444	4.0664	-3.159	0.00494	**
	Pinus nigra	Cevennen	-13.1045	6.036	-2.171	0.042136	*
	Pinus nigra	Korsika	3.7378	4.299	0.869	0.394912	
	Pinus nigra	Korsika_Cevennen	12.7955	6.036	2.120	0.04672	*
	Pinus nigra	Ungarn	1.7989	3.9675	0.453	0.655139	
	Pinus nigra	Lozère	-0.5199	3.5864	-0.145	0.886194	
	Nullfläche	NA	-15.0911	6.1662	-2.447	0.023748	*
	Pinus sylvestris	Oberrhein	-1.5911	4.9556	-0.321	0.751492	
	BT 2		2.2134	2.1828	1.014	0.32269	
	BT 3		8.7903	4.6383	1.895	0.072616	

Tabelle 32. Modellergebnisse für glm (H $_{\rm dom}$ $^{\sim}$ Herkunft+ BT) mit BT 1.5 und BT 3.

Höh							
е			Estima-	Std.			
dom	Parameter		te	Error	t value	Pr(> t)	
	(Intercept)		15.2391	0.6831	22.308	4.34E-	**
	Cedrus atlantica	Provence	0.6196	0.9608	0.645	0.5268	
	Pseudotsuga	Enumclaw	10.1196	0.9608	10.530	2.27E-09	**
	Pseudotsuga	Millevaches	8.0540	1.2300	6.548	2.86E-06	**
	Pseudotsuga	Salmon Arm	7.6196	0.9608	7.930	1.91E-07	**
	Pseudotsuga	Wind River	10.1851	1.2364	8.238	1.08E-07	**
	Picea omorica	Jugoslawien	-1.2391	1.2418	-0.998	0.3309	
	Pinus ponderosa	Kalifornien	-2.1330	0.8191	-2.604	0.0174	*
	Pinus nigra	Cevennen	-2.9460	1.2300	-2.395	0.0271	*
	Pinus nigra	Korsika	1.3333	0.8467	1.575	0.1318	
	Pinus nigra	Korsika_Cevenne	2.1851	1.2364	1.767	0.0932	
	Pinus nigra	Ungarn	-0.8476	0.8205	-1.033	0.3145	
	Pinus nigra	Lozère	-0.1645	0.7086	-0.232	0.8189	
	Nullfläche	NA	-2.2391	1.2418	-1.803	0.0872	
	Pinus sylvestris	Oberrhein	0.4074	0.9591	0.425	0.6757	
	BT 1.5		0.7069	0.529	1.336	0.1973	
	BT 2		1.5757	0.5718	2.756	0.0126	*
	BT 3		0.5757	1.574	0.366	0.7186	

Tabelle 33. Modellergebnisse für glm (H $_{\rm dom}$ $^{\sim}$ Herkunft+ BT) ohne BT 1.5 mit BT 3.

Höhe			Estimat	Std.			
dom	Parameter		е	Error	t value	Pr(> t)	
	(Intercept)		15.3396	0.6911	22.19	1.47E-15	**
	Cedrus atlantica	Provence	1.1651	0.9859	1.182	0.2511	
	Pseudotsuga	Enumclaw	10.6651 0.985		10.818	8.3E-10	**
	Pseudotsuga	Millevaches	8.6604	1.2795	6.769	1.39E-06	**
	Pseudotsuga	Salmon Arm	7.6698	0.9945	7.712	2.04E-07	**
	Pseudotsuga	Wind River	10.0317	1.0871	9.228	1.2E-08	**
	Picea omorica	Jugoslawien	-1.3396	1.2795	-1.047	0.3076	
	Pinus ponderosa	Kalifornien	-2.0872	0.8438	-2.474	0.0225	*
	Pinus nigra	Cevennen	-3.3302	1.2525	-2.659	0.0151	*
	Pinus nigra	Korsika	1.6635	0.8921	1.865	0.0769	
	Pinus nigra	Korsika_Cevenne	2.6698	1.2525	2.132	0.0456	*
	Pinus nigra	Ungarn	-0.3326	0.8233	-0.404	0.6905	
	Pinus nigra	Lozère	-0.2444	0.7442	-0.328	0.7460	
	Nullfläche	NA	-2.3396	1.2795	-1.829	0.0824	
	Pinus sylvestris	Oberrhein	0.6604	1.0283	0.642	0.5280	
	BT 2		0.9906	0.4529	2.187	0.0408	*
	BT 3		1.2668	0.9625	1.316	0.2030	

Tabelle 34. Modellergebnisse für glm (D $_{
m dom}$ $^{\sim}$ Herkunft+ BT) mit BT 1.5 und BT 3.

BHD							
dom	Parameter		Estimate	Std. Error	t value	Pr(> t)	
	(Intercept)		33.8351	1.1134	30.39	< 2e-16	***
	Cedrus atlantica	Provence	-1.2824	1.5659	-0.819	0.422965	
	Pseudotsuga menziesii	Enumclaw	11.8176	1.5659	7.547	3.94E-07	***
	Pseudotsuga menziesii	Millevaches	9.1633	2.0046	4.571	0.000209	***
	Pseudotsuga menziesii	Salmon Arm	7.7676	1.5659	4.960	8.69E-05	***
	Pseudotsuga menziesii	Wind River	11.9718	2.015	5.941	1.02E-05	***
	Picea omorica	Jugoslawien	-6.8351	2.0238	-3.377	0.003163	**
	Pinus ponderosa	Kalifornien	-10.9084	1.3349	-8.172	1.22E-07	***
	Pinus nigra	Cevennen	-5.7367	2.0046	-2.862	0.009983	**
	Pinus nigra	Korsika	1.0000	1.3799	0.725	0.477484	
	Pinus nigra	Korsika_Cevennen	3.1718	2.015	1.574	0.131966	
	Pinus nigra	Ungarn	-1.4303	1.3373	-1.070	0.298210	
	Pinus nigra	Lozère	-1.4850	1.1548	-1.286	0.213914	
	Nullfläche	NA	-10.5351	2.0238	-5.206	5.03E-05	***
	Pinus sylvestris	Oberrhein	-2.5359	1.5631	-1.622	0.121198	
	BT 1.5		0.5016	0.8622	0.582	0.567608	
	BT 2		2.1930	0.9319	2.353	0.029524	*
	BT 3		3.3930	2.5654	1.323	0.201657	

Tabelle 35. Modellergebnisse für glm (D $_{\rm dom}$ $^{\sim}$ Herkunft+ BT) ohne BT 1.5 mit BT 3.

BHD							
dom	Parameter		Estimate	Std. Error	t value	Pr(> t)	
	(Intercept)		33.292	0.9902	33.621	< 2e-16	***
	Cedrus atlantica	Provence	-0.4730	1.4125	-0.335	0.7412	
	Pseudotsuga menziesii	Enumclaw	12.627	1.4125	8.94	2.01E-08	***
	Pseudotsuga menziesii	Millevaches	10.208	1.8332	5.568	1.89E-05	***
	Pseudotsuga menziesii	Salmon Arm	7.4960	1.4248	5.261	3.78E-05	***
	Pseudotsuga menziesii	Wind River	13.4573	1.5575	8.64	3.48E-08	***
	Picea omorica	Jugoslawien	-6.2920	1.8332	-3.432	0.00264	**
	Pinus ponderosa	Kalifornien	-10.3575	1.2089	-8.568	3.98E-08	***
	Pinus nigra	Cevennen	-6.8540	1.7945	-3.819	0.00107	**
	Pinus nigra	Korsika	1.7206	1.2781	1.346	0.19328	
	Pinus nigra	Korsika_Cevennen	3.7460	1.7945	2.088	0.04985	*
	Pinus nigra	Ungarn	-0.7385	1.1795	-0.626	0.53834	
	Pinus nigra	Lozère	-1.4202	1.0662	-1.332	0.19785	
	Nullfläche	NA	-9.9920	1.8332	-5.451	2.46E-05	***
	Pinus sylvestris	Oberrhein	-1.7420	1.4733	-1.182	0.25091	
	BT 2		2.1619 0.649		3.331	0.00333	**
	BT 3		1.5394	1.379	1.116	0.27750	

8.3 Dokumentübersicht und ertragskundliche Kennzahlen der Teilflächen

Tabelle 36. Verzeichnis der zur Geschichte des Versuchs verfügbaren Dokumente.

Datum	Тур	Umfang	Inhalt
	CD	1 CD	Fotos von David Petter vom 24.10.2001 [wurden auf Server kopiert]
04.08.2016	E-Mail	1 A4	Kopie der Versuchsdokumente und CD mit Fotos zugeschickt von Micheline Meylan
	Tabelle	1 A4	Auflistung der Waldeigenschaften
	Tabelle	2 A4	Tagebuch der ausgeführten Arbeiten 1970-2009
	Dokument	1 A4	Fiche des Projekts, kantonsintern
25.08.2010	Rechnung	1 A4	Ausmähen der Fusswege
23.12.2009	Rechnung	1 A4	Durchforsten der Parzellen 58A, 89A, 90C, 89C, 60B, 54C und
			Ausmähen der Fusswege
02.10.2009	E-Mail	1 A4	Budget für das Ausmähen der Fussweg und für die Unterwuchspflege
			in den Parzellen 58A, 89A, 90C, 89C, 60B, 54C
01.10.2008	Rechnung	2 A4	Pflege der Parzellen 52C, 43E, 44, 58F, 58B, 89B und Ausmähen der
			Fusswege
12.03.2008	E-Mail	1 A4	Budget für das Ausmähen der Fussweg und für die Unterwuchspflege
10.07.2007	Daalaaaaa	1 1 1	in den Parzellen 52C, 43E, 50, 44, 58F, 58B, 89B
10.07.2007	Rechnung	1 A4	Durchforstung der Parzellen 36 und 43
10.07.2007	Rechnung	1 A4	Pflege der Fusswege und Nutzung der "Douglas déperissants"
16.11.2006	E-Mail	1 A4	Budget für den Unterhalt der Fusswege, die Durchforstung der
			Schwarzföhren in den Parzellen 36 und 43 und die Nutzung der "Douglas déperissants"
25.07.2005	Pechnung	1 A4	Ausmähen der Fusswege
01.04.2005		1 A4	Budget für das Ausmähen der Fusswege im Bois de Forel, sowie für
01.04.2003	L-IVIAII	1 74	das Durchforsten des Stangenholzes im Versuch "EPIJURA" (anderer
			Versuch)
11.11.2004	Rechnung	4 A4	Für 61 gravierte Etiketten, Liste mit den Etiketten.
07.10.2004	Rechnung	2 A4	Pflege des Waldlehrpfades und Durchforstung der Versuchspflanzung
03.10.2003	Rechnung	1 A4	Pflege des Waldlehrpfades
1970	Plan/Tabelle	2 A4	Lage der Versuchsfläche, Anzahl Pflanzlinien bei Douglasie
11.10.2002	Tabelle	1 A4	Messungen der Höhe und der Durchmesser
01.10.2002	Dokument	15 A4	Resultate mit Versuchsaufbau, Messungen, Tagebuch und Fotos
01.06.1994	Dokument	11 A4	Resultate mit Versuchsaufbau, Messungen und Tagebuch
24.10.2001	Fotos	14 A4	Fotos mit Verzeichnis
	Tabelle	2 A4	Liste der Etiketten
16.11.1993	Tabelle	2 A3	Eigenschaften von Herkünften von Pinus nigra
	Text	2 A4	Text für Infotafel
	Plan	1 A3	Detaillierte Ansicht der Versuchsanordnung mit Positionen der
			Gehölze des Lehrpfades
06.11.2003	Brief	1 A4	Budget für das Pflegen der Fusswege, die Durchforstung der
			Douglasien und das Errichten einer Pferdebarriere
	Tabelle	3 A4	Etiketten für den Waldlehrpfad
20.05.2003	Plan	1 A4	?
_	Tabelle	2 A4	Liste mit Gehölzen (Agiez, vermutlich nicht Bois de Forel)
19.12.2002	Rechnung	1 A4	Unterhalt der Wege in der Versuchsfläche

24.11.2001 Brief 1 A4 Budget für die Durchforstung der Fichten (andere Versuchsfläche) und für die Pflege der Fusswege 24.11.2000 Brief 1 A4 Budget für die Durchforstung (unklar welche Parzellen betroffen sind) und für die Pflege der Fusswege 14.06.2001 E-Mail 2 A4 Einladung zur Besichtigung der Fläche und zum Essen 06.12.2000 Rechnung 1 A4 Pflege der Versuchspflanzung 08.10.2001 Rechnung 1 A4 Durchforstung auf einem Teil der Fläche Plan 1 A4 Versuchsfläche mit eingezeichnetem Bereich für die Durchforstung 2001 16.12.1998 Rechnung 1 A4 Durchforstung der Pflanzung 10.12.1998 Rechnung 1 A4 Durchforstung der Pflanzung 10.12.1998 Rechnung 1 A4 Durchforstung der Stangenholzes 05.11.1998 Brief 1 A4 Durchforstung der Durchforstung auf Föhren. Die genannte Durchforstung in der Durchforstung auf Föhren. Die genannte Durchforstung in der Durchforstung auf Föhren. Die genannte Durchforstung in Herbeit der Pinus ponderosa und P. sylvestris sowie überall wo es sonst nötlig ist) 11.12.1996 Brief 1 A4 Budget für das Durchforsten der Schwarzföhren, Aufasten der Bäume und Pflege der Wege Plan 1 A4 Versuchsfläche mit eingezeichneten Bereichen für die Durchforstung und Aufastung 10.09.1997 Rechnung 1 A4 Durchforstung im Stangenholz und Aufasten 12.08.1996 Rechnung 1 A4 Gestrüp entfernen 13.04.1995 Brief 2 A4 Einladung zur Weiterbildung 13.04.1995 Brief 3 A4 Einladung zur Weiterbildung 14.08.1999 Rechnung 1 A4 Durchforstung und Aufasten 15.03.1994 Rechnung 1 A4 Durchforstung und Aufasten 16.05.1990 Brief 2 A4 Budget für diverse Arbeiten 17.07.1991 Rechnung 1 A4 Durchforstung und Briefer Pusswege 17.08.1995 Rechnung 1 A4 Durchforstung und Briefer Pusswege 18.05.1990 Brief 2 A4 Budget für diverse Arbeiten 17.11.11.1991 Brief 1 A4 Durchforstung des gepflanzten Versuchsfläche 18.05.1990 Brief 2 A4 Budget für diverse Arbeiten für 1997 Brief 1 A4 Durchforstung des gepflanzten Versuchsfläche im 1990 18.11.11.11.1991 Rechnung 1 A4 Durchforstung des gepflanzten Versuchsfläche 18.05.1990 Brief 2 A4 Budget für diverse Arbeiten für 1979 mit T	Datum	Тур	Umfang	Inhalt
24.11.2000 Brief 1 A4 Budget für die Durchforstung (unklar welche Parzellen betroffen sind) und für die Pflege der Fusswege 14.06.2001 E-Mail 2 A4 Einladung zur Besichtigung der Fläche und zum Essen 06.12.2000 Rechnung 1 A4 Durchforstung auf einem Teil der Fläche Rechnung 1 A4 Durchforstung auf einem Teil der Fläche Rechnung 1 A4 Pflege Rechnung 1 A4 Durchforstung der Pflanzung 16.12.1998 Rechnung 1 A4 Durchforstung der Pflanzung 10.12.1998 Rechnung 1 A4 Durchforstung der Pflanzung 10.12.1998 Rechnung 1 A4 Durchforstung der Pflanzung 10.12.1998 Brief 1 A4 Durchforstung des Stangenholzes 05.11.1998 Brief 1 A4 Durchforstung der Durchforstung auf Föhren. Die genannte Durchforstung in FALL betrifft einen anderen Versuch 03.02.1998 Brief 1 A4 Budget für diverse Arbeiten (Durchforstung Douglasien, Sanitärhieb Pinus ponderosa und P. sylvestris sowie überall wo es sonst nötig ist) 11.12.1996 Brief 1 A4 Budget für das Durchforsten der Schwarzföhren, Aufasten der Bäume und Pflege der Wege Plan 1 A4 Versuchsfläche mit eingezeichneten Bereichen für die Durchforstung und Aufastung 30.09.1997 Rechnung 1 A4 Durchforstung im Stangenholz und Aufasten 24.02.1995 Brief 1 A4 Einladung zur Weiterbildung 25.08.1994 Rechnung 1 A4 Durchforstung und Aufasten 24.08.1994 Rechnung 1 A4 Durchforstung und Aufasten 25.03.1994 Rechnung 1 A4 Durchforstung der Aufasten 25.03.1994 Rechnung 1 A4 Durchforstung der Bürchforstung Priese Pries	24.10.2001	Brief	1 A4	Budget für die Durchforstung der Fichten (andere Versuchsfläche)
sind] und für die Pflege der Fusswege				und für die Pflege der Fusswege
14.06.2001 E-Mail 2 A4 Finladung zur Besichtigung der Fläche und zum Essen 06.12.2000 Rechnung 1 A4 Pflege der Versuchspflanzung 08.10.2001 Rechnung 1 A4 Durchforstung auf einem Teil der Fläche Plan 1 A4 Versuchsfläche mit eingezeichnetem Bereich für die Durchforstung 2001 16.12.1998 Rechnung 1 A4 Durchforstung der Pflanzung 10.12.1998 Rechnung 1 A4 Durchforstung der Pflanzung 10.12.1998 Rechnung 1 A4 Durchforstung der Durchforstung auf Föhren. Die genannte Durchforstung auf Föhren. Die genannte Durchforstung der Durchforstung auf Föhren. Die genannte Durchforstung in Fakt betrifft einen anderen Versuch 03.02.1998 Brief 1 A4 Budget für das Durchforstung in Fakt betrifft einen anderen Versuch 03.02.1998 Brief 1 A4 Budget für das Durchforstung in Fakt betrifft einen anderen Versuch 03.02.1998 Brief 1 A4 Budget für das Durchforstung in Fakt betrifft einen anderen Versuch 03.02.1998 Brief 1 A4 Budget für das Durchforsten der Schwarzföhren, Aufasten der Bäume und Pflege der Wege Versuchsfläche mit eingezeichneten Bereichen für die Durchforstung und Aufastung 30.09.1997 Rechnung 1 A4 Durchforstung im Stangenholz und Aufasten 30.04.1995 Brief 1 A4 Gestrüpp entfernen 42.02.1995 Brief 2 A4 Einladung zur Weiterbildung 42.02.1995 Brief 2 A4 Einladung zur Weiterbildung 42.03.03.1994 Rechnung 1 A4 Durchforstung und Aufasten 42.03.03.1994 Rechnung 1 A4 Durchforstung und Aufasten 42.03.03.1994 Rechnung 1 A4 Durchforstung und Aufasten 42.03.03.1994 Rechnung 1 A4 Durchforstung des gepflanzten Versuchs 12.03.1994 Rechnung 1 A4 Durchforstung des gepflanzten Versuchs 12.03.1995 Rechnung 1 A4 Durchforstung des gepflanzten Versuchs 12.03.1995 Rechnung 1 A4 Durchforstung des gepflanzten Versuchs 12.03.11.1990 Rechnung 1 A4 Direch 12.03.10.1991 Rechnung 1 A4 Direch 12.03.10.1991 Rechnung 1 A4 Direch 12.03.10.1991 Rechnung 1 A4 Direch 12.03.10.199	24.11.2000	Brief	1 A4	Budget für die Durchforstung (unklar welche Parzellen betroffen
06.12.2000 Rechnung 1 A4 Pflege der Versuchspflanzung 08.10.2001 Rechnung 1 A4 Durchforstung auf einem Teil der Fläche 16.12.1998 Rechnung 1 A4 Pflege 10.12.1998 Rechnung 1 A4 Durchforstung der Pflanzung 10.12.1998 Rechnung 1 A4 Durchforstung der Stangenholzes 05.11.1998 Brief 1 A4 Priorisierung der Durchforstung auf Föhren. Die genannte Durchforstung in FAEL betrifft einen anderen Versuch 03.02.1998 Brief 1 A4 Priorisierung der Durchforstung auf Föhren. Die genannte Durchforstung in FAEL betrifft einen anderen Versuch 03.02.1998 Brief 1 A4 Budget für diverse Arbeiten (Durchforstung Douglasien, Sanitärhieb Pinus ponderosa und P. sylvestris sowie überall wo es sonst nötig ist) 11.12.1996 Brief 1 A4 Budget für das Durchforsten der Schwarzföhren, Aufasten der Bäume und Pflege der Wege 12.08.1997 Rechnung 1 A4 Versuchsfläche mit eingezeichneten Bereichen für die Durchforstung und Aufastung 30.09.1997 Rechnung 1 A4 Durchforstung im Stangenholz und Aufasten 21.08.1998 Brief 1 A4 Durchforstung im Stangenhol				
1 A4 Durchforstung auf einem Teil der Fläche	14.06.2001	E-Mail	2 A4	Einladung zur Besichtigung der Fläche und zum Essen
Plan	06.12.2000	Rechnung	1 A4	Pflege der Versuchspflanzung
16.12.1998 Rechnung 1 A4 Pflege Rechnung 1 A4 Durchforstung der Pflanzung	08.10.2001	Rechnung	1 A4	Durchforstung auf einem Teil der Fläche
Rechnung 1 A4 Durchforstung der Pflanzung		Plan	1 A4	
10.12.1998 Rechnung 1 A4 Durchforstung des Stangenholzes 05.11.1998 Brief 1 A4 Priorisierung der Durchforstung auf Föhren. Die genannte 03.02.1998 Brief 1 A4 Budget für diverse Arbeiten (Durchforstung Douglasien, Sanitärhieb Pinus ponderosa und P. sylvestris sowie überall wo es sonst nötig ist) 11.12.1996 Brief 1 A4 Budget für das Durchforsten der Schwarzföhren, Aufasten der Bäume und Pflege der Wege 11.12.1996 Plan 1 A4 Durchforstung im Stangenholz und Aufasten 30.09.1997 Rechnung 1 A4 Durchforstung im Stangenholz und Aufasten 21.08.1996 Rechnung 1 A4 Einladung zur Weiterbildung 24.02.1995 Brief 1 A4 Einladung zur Weiterbildung 13.04.1995 Brief 2 A4 Einladung zur Weiterbildung 25.03.1994 Rechnung 1 A4 Durchforstung und Aufasten 25.03.1994 Rechnung 1 A4 Durchforstung des gepflanzten 18.05.1990 Brief 2 A4 Budget für diverse Arbeiten 07.12.1991 Rechnung 1 A4 Durchforstung des gepflanzten Versuchs <	16.12.1998	Rechnung	1 A4	Pflege
05.11.1998 Brief 1 A4 Priorisierung der Durchforstung auf Föhren. Die genannte Durchforstung in FAEL betrifft einen anderen Versuch 03.02.1998 Brief 1 A4 Budget für diverse Arbeiten (Durchforstung Douglasien, Sanitärhieb Pinus ponderosa und P. sylvestris sowie überall wo es sonst nötig ist) 11.12.1996 Brief 1 A4 Budget für das Durchforsten der Schwarzföhren, Aufasten der Bäume und Pflege der Wege Plan 1 A4 Versuchsfläche mit eingezeichneten Bereichen für die Durchforstung und Aufastung 30.09.1997 Rechnung 1 A4 Durchforstung im Stangenholz und Aufasten 21.08.1996 Rechnung 1 A4 Gestrüpp entfernen 24.02.1995 Brief 1 A4 Einladung zur Weiterbildung 31.04.1995 Brief 1 A4 Einladung zur Weiterbildung 26.08.1994 Rechnung 1 A4 Pflege der Fusswege 17.08.1995 Rechnung 1 A4 Durchforstung und Aufasten 25.03.1994 Rechnung 1 A4 Durchforstung und Aufasten 19.10.1992 Rechnung 1 A4 Durchforstung 18.05.1990 Brief 2 A4 Budget für dievrse Arbeiten 07.12.1991 Rechnung 1 A4 Durchforstung des gepflanzten Versuchs 11.11.1991 Brief 1 A4 Pflegemassnahmen in der Versuchsfläche<		Rechnung	1 A4	Durchforstung der Pflanzung
Durchforstung in FAEL betrifft einen anderen Versuch	10.12.1998	Rechnung	1 A4	Durchforstung des Stangenholzes
03.02.1998 Brief 1 A4 Budget für diverse Arbeiten (Durchforstung Douglasien, Sanitärhieb Pinus ponderosa und P. sylvestris sowie überall wo es sonst nötig ist) 11.12.1996 Brief 1 A4 Budget für das Durchforsten der Schwarzföhren, Aufasten der Bäume und Pflege der Wege Plan 1 A4 Versuchsfläche mit eingezeichneten Bereichen für die Durchforstung und Aufastung 30.09.1997 Rechnung 1 A4 Durchforstung im Stangenholz und Aufasten 21.08.1998 Rechnung 1 A4 Einladung zur Weiterbildung 24.02.1995 Brief 1 A4 Einladung zur Weiterbildung 13.04.1995 Brief 2 A4 Einladung zur Weiterbildung 26.08.1994 Rechnung 1 A4 Pflege der Fusswege 17.08.1995 Rechnung 1 A4 Durchforstung und Aufasten 25.03.1994 Rechnung 1 A4 Durchforstung und Aufasten 18.05.1990 Brief 2 A4 Budget für diverse Arbeiten 07.12.1991 Rechnung 1 A4 Durchforstung des gepflanzten Versuchs 11.11.1991 Brief 1 A4 Abschluss der Arbeiten für 1991 23.11.1990 Rechnung 1 A4 Pflegemassnahmen in der Versuchsfläch	05.11.1998	Brief	1 A4	Priorisierung der Durchforstung auf Föhren. Die genannte
Pinus ponderosa und P. sylvestris sowie überall wo es sonst nötig ist) 11.12.1996 Brief 1 A4 Budget für das Durchforsten der Schwarzföhren, Aufasten der Bäume und Pflege der Wege Versuchsfläche mit eingezeichneten Bereichen für die Durchforstung und Aufastung 30.09.1997 Rechnung 1 A4 Durchforstung im Stangenholz und Aufasten 21.08.1996 Rechnung 1 A4 Gestrüpp entfernen 24.02.1995 Brief 1 A4 Einladung zur Weiterbildung 30.09.1997 Rechnung 1 A4 Durchforstung im Stangenholz und Aufasten 24.02.1995 Brief 2 A4 Einladung zur Weiterbildung 26.08.1994 Rechnung 1 A4 Durchforstung und Aufasten 25.03.1994 Rechnung 1 A4 Durchforstung und Aufasten 25.03.1994 Rechnung 1 A4 Durchforstung und Aufasten 25.03.1994 Rechnung 1 A4 Durchforstung und Aufasten 27.02.1995 Brief 2 A4 Budget für diverse Arbeiten 27.12.1991 Rechnung 1 A4 Durchforstung des gepflanzten Versuchs 27.11.11.1991 Brief 1 A4 Abschluss der Arbeiten für 1991 27.11.11.1991 Brief 1 A4 Pflegemassnahmen in der Versuchsfläche 28.05.1990 Brief 2 A4 Programm und Budget für die Pflege auf der Versuchsfläche im 1990 27.12.1991 Rechnung 1 A4 Dank und Lob für die ausgeführten Arbeiten 28.05.1990 Brief 2 A4 Programm und Budget für die Pflege auf der Versuchsfläche im 1990 29.11.11.1990 Rechnung 1 A4 Demontieren des Zaunes Dokument 3 A4 Beobachtungen und Messungen im 1985 mit Tabelle Plan 1 A4 Plan der Versuchsfläche mit Messdaten 1979 27.12.1983 Rechnung 1 A4 Pflegemassnahmen in der Versuchsfläche Dokument 5 A4 Beobachtungen und Messungen im 1976 mit Tabelle und Grafik 25.11.1976 Dokument 1 A4 Pflegemassnahmen in der Versuchsfläche Plan 1 A4 Pflanzen für das Nachpflanzen auf der Versuchsfläche Plan 1 A4 Pflanzen für das Nachpflanzen auf der Versuchsfläche Plan 1 A4 Pflanzen für das Nachpflanzen auf der Versuchsfläche Plan 1 A4 Plan der Versuchsfläche mit den vertrockneten Bäumen Plan 1 A4 Plan der Versuchsfläche mit den Bäumen für die Nachpflanzung Dokument 3 A4 Beobachtungen der ersten 5 Vegetationsjahre				Durchforstung in FAEL betrifft einen anderen Versuch
11.12.1996 Brief 1 A4 Budget für das Durchforsten der Schwarzföhren, Aufasten der Bäume und Pflege der Wege Plan 1 A4 Versuchsfläche mit eingezeichneten Bereichen für die Durchforstung und Aufastung 30.09.1997 Rechnung 1 A4 Durchforstung im Stangenholz und Aufasten 21.08.1996 Rechnung 1 A4 Gestrüpp entfernen 24.02.1995 Brief 1 A4 Einladung zur Weiterbildung 13.04.1995 Brief 2 A4 Einladung zur Weiterbildung 17.08.1995 Rechnung 1 A4 Pflege der Fusswege 17.08.1995 Rechnung 1 A4 Durchforstung und Aufasten 25.03.1994 Rechnung 1 A4 Durchforstung und Aufasten 19.10.1992 Rechnung 1 A4 Durchforstung 18.05.1990 Brief 2 A4 Budget für diverse Arbeiten 07.12.1991 Rechnung 1 A4 Abschluss der Arbeiten für 1991 13.11.1991 Brief 1 A4 Abschluss der Arbeiten für die Pflege auf der Versuchsfläche 18.05.1990 Brief 2 A4 Programm und Budget für die Pflege auf der Versuchsfläche im 1990 13.11.1990 Brief 1 A4 Dank und Lob für die ausgeführten Arbeiten 26.11.1990 Rechnung 1 A4 Demontieren des Zaunes </td <td>03.02.1998</td> <td>Brief</td> <td>1 A4</td> <td>Budget für diverse Arbeiten (Durchforstung Douglasien, Sanitärhieb</td>	03.02.1998	Brief	1 A4	Budget für diverse Arbeiten (Durchforstung Douglasien, Sanitärhieb
Plan 1 A4 Versuchsfläche mit eingezeichneten Bereichen für die Durchforstung und Aufastung				Pinus ponderosa und P. sylvestris sowie überall wo es sonst nötig ist)
Plan1 A4Versuchsfläche mit eingezeichneten Bereichen für die Durchforstung und Aufastung30.09.1997Rechnung1 A4Durchforstung im Stangenholz und Aufasten21.08.1995Rechnung1 A4Gestrüpp entfernen24.02.1995Brief1 A4Einladung zur Weiterbildung13.04.1995Brief2 A4Einladung zur Weiterbildung26.08.1994Rechnung1 A4Pflege der Fusswege17.08.1995Rechnung1 A4Durchforstung und Aufasten25.03.1994Rechnung1 A4Durchforstung und Aufasten19.10.1992Rechnung1 A4Durchforstung18.05.1990Brief2 A4Budget für diverse Arbeiten07.12.1991Rechnung1 A4Durchforstung des gepflanzten Versuchs11.11.1991Brief1 A4Abschluss der Arbeiten für 199123.11.1990Rechnung1 A4Pflegemassnahmen in der Versuchsfläche18.05.1990Brief2 A4Programm und Budget für die Pflege auf der Versuchsfläche im 199013.11.1990Brief1 A4Dank und Lob für die ausgeführten Arbeiten26.11.1990Rechnung1 A4Demontieren des ZaunesDokument3 A4Beobachtungen und Messungen im 1985 mit TabellePlan1 A4Plan der Versuchsfläche mit Messdaten 197927.12.1983Rechnung1 A4Plegemassnahmen in der VersuchsflächeDokument5 A4Beobachtungen und Messungen im 1976 mit Tabelle und Grafik25.11.1976Dokument1 A4Pflanzen für das Na	11.12.1996	Brief	1 A4	Budget für das Durchforsten der Schwarzföhren, Aufasten der Bäume
und Aufastung30.09.1997Rechnung1 A4Durchforstung im Stangenholz und Aufasten21.08.1996Rechnung1 A4Gestrüpp entfernen24.02.1995Brief1 A4Einladung zur Weiterbildung13.04.1995Brief2 A4Einladung zur Weiterbildung16.08.1994Rechnung1 A4Pflege der Fusswege17.08.1995Rechnung1 A4Durchforstung und Aufasten25.03.1994Rechnung1 A4Durchforstung und Aufasten19.10.1992Rechnung1 A4Durchforstung18.05.1990Brief2 A4Budget für diverse Arbeiten07.12.1991Rechnung1 A4Durchforstung des gepflanzten Versuchs11.11.1991Brief1 A4Abschluss der Arbeiten für 199123.11.1990Rechnung1 A4Pflegemassnahmen in der Versuchsfläche18.05.1990Brief1 A4Pflegemassnahmen in der Versuchsfläche18.05.1990Brief1 A4Dank und Lob für die ausgeführten Arbeiten26.11.1990Rechnung1 A4Dank und Lob für die ausgeführten Arbeiten26.11.1990Rechnung1 A4Demontieren des ZaunesDokument3 A4Beobachtungen und Messungen im 1985 mit TabellePlan1 A4Pflegemassnahmen in der Versuchsfläche27.12.1983Rechnung1 A4Pelan der Versuchsfläche mit Messdaten 197927.12.1983Rechnung1 A4Pflegemassnahmen in der Versuchsfläche25.11.1976Dokument5 A4Beobachtungen und				und Pflege der Wege
30.09.1997Rechnung1 A4Durchforstung im Stangenholz und Aufasten21.08.1996Rechnung1 A4Gestrüpp entfernen24.02.1995Brief1 A4Einladung zur Weiterbildung13.04.1995Brief2 A4Einladung zur Weiterbildung26.08.1994Rechnung1 A4Pflege der Fusswege17.08.1995Rechnung1 A4Durchforstung und Aufasten25.03.1994Rechnung1 A4Durchforstung und Aufasten19.10.1992Rechnung1 A4Durchforstung18.05.1990Brief2 A4Budget für diverse Arbeiten07.12.1991Rechnung1 A4Durchforstung des gepflanzten Versuchs11.11.1991Brief1 A4Abschluss der Arbeiten für 199123.11.1990Rechnung1 A4Pflegemassnahmen in der Versuchsfläche18.05.1990Brief2 A4Programm und Budget für die Pflege auf der Versuchsfläche im 199013.11.1990Brief1 A4Dank und Lob für die ausgeführten Arbeiten26.11.1990Rechnung1 A4Demontieren des ZaunesDokument3 A4Beobachtungen und Messungen im 1985 mit TabelleDokument4 A4Beobachtungen und Messungen im 1979 mit Tabelle27.12.1983Rechnung1 A4Plan der Versuchsfläche mit Messdaten 197927.12.1983Rechnung1 A4Pflegemassnahmen in der Versuchsfläche25.11.1976Dokument5 A4Beobachtungen und Messungen im 1976 mit Tabelle und Grafik25.11.1976Dokument5 A4Beoba		Plan	1 A4	Versuchsfläche mit eingezeichneten Bereichen für die Durchforstung
21.08.1996Rechnung1 A4Gestrüpp entfernen24.02.1995Brief1 A4Einladung zur Weiterbildung13.04.1995Brief2 A4Einladung zur Weiterbildung26.08.1994Rechnung1 A4Pflege der Fusswege17.08.1995Rechnung1 A4Durchforstung und Aufasten25.03.1994Rechnung1 A4Durchforstung19.10.1992Rechnung1 A4Durchforstung18.05.1990Brief2 A4Budget für diverse Arbeiten07.12.1991Rechnung1 A4Durchforstung des gepflanzten Versuchs11.11.1991Brief1 A4Abschluss der Arbeiten für 199123.11.1990Rechnung1 A4Abschluss der Arbeiten für 199113.11.1990Brief1 A4Pflegemassnahmen in der Versuchsfläche18.05.1990Brief2 A4Programm und Budget für die Pflege auf der Versuchsfläche im 199013.11.1990Brief1 A4Dank und Lob für die ausgeführten Arbeiten26.11.1990Rechnung1 A4Demontieren des ZaunesDokument3 A4Beobachtungen und Messungen im 1985 mit TabelleDokument4 A4Beobachtungen und Messungen im 1979 mit Tabelle27.12.1983Rechnung1 A4Pflegemassnahmen in der Versuchsfläche25.11.1976Dokument5 A4Beobachtungen und Messungen im 1976 mit Tabelle und Grafik25.11.1976Brief1 A4Pflegemassnahmen in der Versuchsfläche24.11.1976Brief1 A4Pflanzen für das Nachpflanzen auf der Ver				und Aufastung
24.02.1995Brief1 A4Einladung zur Weiterbildung13.04.1995Brief2 A4Einladung zur Weiterbildung26.08.1994Rechnung1 A4Pflege der Fusswege17.08.1995Rechnung1 A4Durchforstung und Aufasten25.03.1994Rechnung1 A4Durchforstung und Aufasten19.10.1992Rechnung1 A4Durchforstung18.05.1990Brief2 A4Budget für diverse Arbeiten07.12.1991Rechnung1 A4Durchforstung des gepflanzten Versuchs11.11.1991Brief1 A4Abschluss der Arbeiten für 199123.11.1990Rechnung1 A4Pflegemassnahmen in der Versuchsfläche18.05.1990Brief2 A4Programm und Budget für die Pflege auf der Versuchsfläche im 199013.11.1990Brief1 A4Dank und Lob für die ausgeführten Arbeiten26.11.1990Rechnung1 A4Demontieren des ZaunesDokument3 A4Beobachtungen und Messungen im 1985 mit Tabelle10 Dokument4 A4Beobachtungen und Messungen im 1979 mit Tabelle27.12.1983Rechnung1 A4Pflegemassnahmen in der Versuchsfläche27.12.1983Rechnung1 A4Pflegemassnahmen in der Versuchsfläche27.12.1984Rechnung1 A4Pflegemassnahmen in der Versuchsfläche25.11.1976Dokument5 A4Beobachtungen und Messungen im 1976 mit Tabelle und Grafik25.11.1976Dokument1 A4Folgen vom trockenen Sommer und Vorgehen für 1977 (geplante Nachpflanzung)24	30.09.1997	Rechnung	1 A4	Durchforstung im Stangenholz und Aufasten
13.04.1995Brief2 A4Einladung zur Weiterbildung26.08.1994Rechnung1 A4Pflege der Fusswege17.08.1995Rechnung1 A4Durchforstung und Aufasten25.03.1994Rechnung1 A43m selbstklebende Scotchcal Folie19.10.1992Rechnung1 A4Durchforstung18.05.1990Brief2 A4Budget für diverse Arbeiten07.12.1991Rechnung1 A4Durchforstung des gepflanzten Versuchs11.11.1991Brief1 A4Abschluss der Arbeiten für 199123.11.1990Rechnung1 A4Pflegemassnahmen in der Versuchsfläche18.05.1990Brief2 A4Programm und Budget für die Pflege auf der Versuchsfläche im 199013.11.1990Brief1 A4Dank und Lob für die ausgeführten Arbeiten26.11.1990Rechnung1 A4Demontieren des ZaunesDokument3 A4Beobachtungen und Messungen im 1985 mit TabelleDokument4 A4Beobachtungen und Messungen im 1979 mit Tabelle27.12.1983Rechnung1 A4Plan der Versuchsfläche mit Messdaten 197927.12.1983Rechnung1 A4Pflegemassnahmen in der VersuchsflächeDokument5 A4Beobachtungen und Messungen im 1976 mit Tabelle und Grafik25.11.1976Dokument5 A4Beobachtungen und Messungen im 1976 mit Tabelle und Grafik25.11.1976Brief1 A4Pflanzen für das Nachpflanzen auf der VersuchsflächePlan1 A4Pflanzen für das Nachpflanzen auf der VersuchsflächePlan	21.08.1996	Rechnung	1 A4	Gestrüpp entfernen
26.08.1994Rechnung1 A4Pflege der Fusswege17.08.1995Rechnung1 A4Durchforstung und Aufasten25.03.1994Rechnung1 A43m selbstklebende Scotchcal Folie19.10.1992Rechnung1 A4Durchforstung18.05.1990Brief2 A4Budget für diverse Arbeiten07.12.1991Rechnung1 A4Durchforstung des gepflanzten Versuchs11.11.1991Brief1 A4Abschluss der Arbeiten für 199123.11.1990Rechnung1 A4Pflegemassnahmen in der Versuchsfläche18.05.1990Brief2 A4Programm und Budget für die Pflege auf der Versuchsfläche im 199013.11.1990Brief1 A4Dank und Lob für die ausgeführten Arbeiten26.11.1990Rechnung1 A4Demontieren des ZaunesDokument3 A4Beobachtungen und Messungen im 1985 mit TabelleDokument4 A4Beobachtungen und Messungen im 1979 mit TabellePlan1 A4Pflegemassnahmen in der VersuchsflächeDokument5 A4Beobachtungen und Messungen im 1976 mit Tabelle und Grafik25.11.1976Dokument5 A4Beobachtungen und Messungen im 1976 mit Tabelle und Grafik25.11.1976Dokument1 A4Pflanzen für das Nachpflanzen auf der VersuchsflächePlan1 A4Pflanzen für das Nachpflanzen auf der VersuchsflächePlan1 A4Plan der Versuchsfläche mit den vertrockneten BäumenPlan1 A4Plan der Versuchsfläche mit den Bäumen für die NachpflanzungDokument3 A4Beo	24.02.1995	Brief	1 A4	Einladung zur Weiterbildung
17.08.1995Rechnung1 A4Durchforstung und Aufasten25.03.1994Rechnung1 A43m selbstklebende Scotchcal Folie19.10.1992Rechnung1 A4Durchforstung18.05.1990Brief2 A4Budget für diverse Arbeiten07.12.1991Rechnung1 A4Durchforstung des gepflanzten Versuchs11.11.1991Brief1 A4Abschluss der Arbeiten für 199123.11.1990Rechnung1 A4Pflegemassnahmen in der Versuchsfläche18.05.1990Brief2 A4Programm und Budget für die Pflege auf der Versuchsfläche im 199013.11.1990Brief1 A4Dank und Lob für die ausgeführten Arbeiten26.11.1990Rechnung1 A4Demontieren des ZaunesDokument3 A4Beobachtungen und Messungen im 1985 mit TabelleDokument4 A4Beobachtungen und Messungen im 1979 mit TabellePlan1 A4Pflegemassnahmen in der VersuchsflächeDokument5 A4Beobachtungen und Messungen im 1976 mit Tabelle und Grafik25.11.1976Dokument5 A4Beobachtungen und Messungen im 1976 mit Tabelle und Grafik25.11.1976Dokument1 A4Pflanzen für das Nachpflanzen auf der VersuchsflächePlan1 A4Pflanzen für das Nachpflanzen auf der VersuchsflächePlan1 A4Plan der Versuchsfläche mit den vertrockneten BäumenPlan1 A4Plan der Versuchsfläche mit den Bäumen für die NachpflanzungDokument3 A4Beobachtungen der ersten 5 Vegetationsjahre	13.04.1995	Brief	2 A4	Einladung zur Weiterbildung
25.03.1994 Rechnung 1 A4 3m selbstklebende Scotchcal Folie 19.10.1992 Rechnung 1 A4 Durchforstung 18.05.1990 Brief 2 A4 Budget für diverse Arbeiten 07.12.1991 Rechnung 1 A4 Durchforstung des gepflanzten Versuchs 11.11.1991 Brief 1 A4 Abschluss der Arbeiten für 1991 23.11.1990 Rechnung 1 A4 Pflegemassnahmen in der Versuchsfläche 18.05.1990 Brief 2 A4 Programm und Budget für die Pflege auf der Versuchsfläche im 1990 13.11.1990 Brief 1 A4 Dank und Lob für die ausgeführten Arbeiten 26.11.1990 Rechnung 1 A4 Demontieren des Zaunes Dokument 3 A4 Beobachtungen und Messungen im 1985 mit Tabelle Dokument 4 A4 Beobachtungen und Messungen im 1979 mit Tabelle Plan 1 A4 Plan der Versuchsfläche mit Messdaten 1979 27.12.1983 Rechnung 1 A4 Pflegemassnahmen in der Versuchsfläche Dokument 5 A4 Beobachtungen und Messungen im 1976 mit Tabelle und Grafik 25.11.1976 Dokument 1 A4 Folgen vom trockenen Sommer und Vorgehen für 1977 (geplante Nachpflanzung) 24.11.1976 Brief 1 A4 Pflanzen für das Nachpflanzen auf der Versuchsfläche Plan 1 A4 Plan der Versuchsfläche mit den vertrockneten Bäumen Plan 1 A4 Plan der Versuchsfläche mit den vertrockneten Bäumen Plan 1 A4 Plan der Versuchsfläche mit den vertrockneten Bäumen Plan 1 A4 Plan der Versuchsfläche mit den Bäumen für die Nachpflanzung Dokument 3 A4 Beobachtungen der ersten 5 Vegetationsjahre	26.08.1994	Rechnung	1 A4	Pflege der Fusswege
19.10.1992Rechnung1 A4Durchforstung18.05.1990Brief2 A4Budget für diverse Arbeiten07.12.1991Rechnung1 A4Durchforstung des gepflanzten Versuchs11.11.1991Brief1 A4Abschluss der Arbeiten für 199123.11.1990Rechnung1 A4Pflegemassnahmen in der Versuchsfläche18.05.1990Brief2 A4Programm und Budget für die Pflege auf der Versuchsfläche im 199013.11.1990Brief1 A4Dank und Lob für die ausgeführten Arbeiten26.11.1990Rechnung1 A4Demontieren des ZaunesDokument3 A4Beobachtungen und Messungen im 1985 mit TabelleDokument4 A4Beobachtungen und Messungen im 1979 mit TabellePlan1 A4Plan der Versuchsfläche mit Messdaten 197927.12.1983Rechnung1 A4Pflegemassnahmen in der VersuchsflächeDokument5 A4Beobachtungen und Messungen im 1976 mit Tabelle und Grafik25.11.1976Dokument1 A4Folgen vom trockenen Sommer und Vorgehen für 1977 (geplante Nachpflanzung)24.11.1976Brief1 A4Pflanzen für das Nachpflanzen auf der VersuchsflächePlan1 A4Plan der Versuchsfläche mit den vertrockneten BäumenPlan1 A4Plan der Versuchsfläche mit den Bäumen für die NachpflanzungDokument3 A4Beobachtungen der ersten 5 Vegetationsjahre	17.08.1995	Rechnung	1 A4	Durchforstung und Aufasten
18.05.1990Brief2 A4Budget für diverse Arbeiten07.12.1991Rechnung1 A4Durchforstung des gepflanzten Versuchs11.11.1991Brief1 A4Abschluss der Arbeiten für 199123.11.1990Rechnung1 A4Pflegemassnahmen in der Versuchsfläche18.05.1990Brief2 A4Programm und Budget für die Pflege auf der Versuchsfläche im 199013.11.1990Brief1 A4Dank und Lob für die ausgeführten Arbeiten26.11.1990Rechnung1 A4Demontieren des ZaunesDokument3 A4Beobachtungen und Messungen im 1985 mit TabelleDokument4 A4Beobachtungen und Messungen im 1979 mit TabellePlan1 A4Plan der Versuchsfläche mit Messdaten 197927.12.1983Rechnung1 A4Pflegemassnahmen in der VersuchsflächeDokument5 A4Beobachtungen und Messungen im 1976 mit Tabelle und Grafik25.11.1976Dokument1 A4Folgen vom trockenen Sommer und Vorgehen für 1977 (geplante Nachpflanzung)24.11.1976Brief1 A4Pflanzen für das Nachpflanzen auf der VersuchsflächePlan1 A4Plan der Versuchsfläche mit den vertrockneten BäumenPlan1 A4Plan der Versuchsfläche mit den Bäumen für die NachpflanzungDokument3 A4Beobachtungen der ersten 5 Vegetationsjahre	25.03.1994	Rechnung	1 A4	3m selbstklebende Scotchcal Folie
07.12.1991Rechnung1 A4Durchforstung des gepflanzten Versuchs11.11.1991Brief1 A4Abschluss der Arbeiten für 199123.11.1990Rechnung1 A4Pflegemassnahmen in der Versuchsfläche18.05.1990Brief2 A4Programm und Budget für die Pflege auf der Versuchsfläche im 199013.11.1990Brief1 A4Dank und Lob für die ausgeführten Arbeiten26.11.1990Rechnung1 A4Demontieren des ZaunesDokument3 A4Beobachtungen und Messungen im 1985 mit TabelleDokument4 A4Beobachtungen und Messungen im 1979 mit TabellePlan1 A4Plan der Versuchsfläche mit Messdaten 197927.12.1983Rechnung1 A4Pflegemassnahmen in der VersuchsflächeDokument5 A4Beobachtungen und Messungen im 1976 mit Tabelle und Grafik25.11.1976Dokument1 A4Folgen vom trockenen Sommer und Vorgehen für 1977 (geplante Nachpflanzung)24.11.1976Brief1 A4Pflanzen für das Nachpflanzen auf der VersuchsflächePlan1 A4Plan der Versuchsfläche mit den vertrockneten BäumenPlan1 A4Plan der Versuchsfläche mit den Bäumen für die NachpflanzungDokument3 A4Beobachtungen der ersten 5 Vegetationsjahre	19.10.1992	Rechnung	1 A4	Durchforstung
11.11.1991Brief1 A4Abschluss der Arbeiten für 199123.11.1990Rechnung1 A4Pflegemassnahmen in der Versuchsfläche18.05.1990Brief2 A4Programm und Budget für die Pflege auf der Versuchsfläche im 199013.11.1990Brief1 A4Dank und Lob für die ausgeführten Arbeiten26.11.1990Rechnung1 A4Demontieren des ZaunesDokument3 A4Beobachtungen und Messungen im 1985 mit TabelleDokument4 A4Beobachtungen und Messungen im 1979 mit TabellePlan1 A4Plan der Versuchsfläche mit Messdaten 197927.12.1983Rechnung1 A4Pflegemassnahmen in der VersuchsflächeDokument5 A4Beobachtungen und Messungen im 1976 mit Tabelle und Grafik25.11.1976Dokument1 A4Folgen vom trockenen Sommer und Vorgehen für 1977 (geplante Nachpflanzung)24.11.1976Brief1 A4Pflanzen für das Nachpflanzen auf der VersuchsflächePlan1 A4Plan der Versuchsfläche mit den vertrockneten BäumenPlan1 A4Plan der Versuchsfläche mit den Bäumen für die NachpflanzungDokument3 A4Beobachtungen der ersten 5 Vegetationsjahre	18.05.1990	Brief	2 A4	Budget für diverse Arbeiten
11.11.1991Brief1 A4Abschluss der Arbeiten für 199123.11.1990Rechnung1 A4Pflegemassnahmen in der Versuchsfläche18.05.1990Brief2 A4Programm und Budget für die Pflege auf der Versuchsfläche im 199013.11.1990Brief1 A4Dank und Lob für die ausgeführten Arbeiten26.11.1990Rechnung1 A4Demontieren des ZaunesDokument3 A4Beobachtungen und Messungen im 1985 mit TabelleDokument4 A4Beobachtungen und Messungen im 1979 mit TabellePlan1 A4Plan der Versuchsfläche mit Messdaten 197927.12.1983Rechnung1 A4Pflegemassnahmen in der VersuchsflächeDokument5 A4Beobachtungen und Messungen im 1976 mit Tabelle und Grafik25.11.1976Dokument1 A4Folgen vom trockenen Sommer und Vorgehen für 1977 (geplante Nachpflanzung)24.11.1976Brief1 A4Pflanzen für das Nachpflanzen auf der VersuchsflächePlan1 A4Plan der Versuchsfläche mit den vertrockneten BäumenPlan1 A4Plan der Versuchsfläche mit den Bäumen für die NachpflanzungDokument3 A4Beobachtungen der ersten 5 Vegetationsjahre	07.12.1991	Rechnung	1 A4	Durchforstung des gepflanzten Versuchs
18.05.1990Brief2 A4Programm und Budget für die Pflege auf der Versuchsfläche im 199013.11.1990Brief1 A4Dank und Lob für die ausgeführten Arbeiten26.11.1990Rechnung1 A4Demontieren des ZaunesDokument3 A4Beobachtungen und Messungen im 1985 mit TabelleDokument4 A4Beobachtungen und Messungen im 1979 mit TabellePlan1 A4Plan der Versuchsfläche mit Messdaten 197927.12.1983Rechnung1 A4Pflegemassnahmen in der VersuchsflächeDokument5 A4Beobachtungen und Messungen im 1976 mit Tabelle und Grafik25.11.1976Dokument1 A4Folgen vom trockenen Sommer und Vorgehen für 1977 (geplante Nachpflanzung)24.11.1976Brief1 A4Pflanzen für das Nachpflanzen auf der VersuchsflächePlan1 A4Plan der Versuchsfläche mit den vertrockneten BäumenPlan1 A4Plan der Versuchsfläche mit den Bäumen für die NachpflanzungDokument3 A4Beobachtungen der ersten 5 Vegetationsjahre	11.11.1991		1 A4	
18.05.1990Brief2 A4Programm und Budget für die Pflege auf der Versuchsfläche im 199013.11.1990Brief1 A4Dank und Lob für die ausgeführten Arbeiten26.11.1990Rechnung1 A4Demontieren des ZaunesDokument3 A4Beobachtungen und Messungen im 1985 mit TabelleDokument4 A4Beobachtungen und Messungen im 1979 mit TabellePlan1 A4Plan der Versuchsfläche mit Messdaten 197927.12.1983Rechnung1 A4Pflegemassnahmen in der VersuchsflächeDokument5 A4Beobachtungen und Messungen im 1976 mit Tabelle und Grafik25.11.1976Dokument1 A4Folgen vom trockenen Sommer und Vorgehen für 1977 (geplante Nachpflanzung)24.11.1976Brief1 A4Pflanzen für das Nachpflanzen auf der VersuchsflächePlan1 A4Plan der Versuchsfläche mit den vertrockneten BäumenPlan1 A4Plan der Versuchsfläche mit den Bäumen für die NachpflanzungDokument3 A4Beobachtungen der ersten 5 Vegetationsjahre	23.11.1990	Rechnung	1 A4	Pflegemassnahmen in der Versuchsfläche
13.11.1990 Brief 1 A4 Dank und Lob für die ausgeführten Arbeiten 26.11.1990 Rechnung 1 A4 Demontieren des Zaunes Dokument 3 A4 Beobachtungen und Messungen im 1985 mit Tabelle Dokument 4 A4 Beobachtungen und Messungen im 1979 mit Tabelle Plan 1 A4 Plan der Versuchsfläche mit Messdaten 1979 27.12.1983 Rechnung 1 A4 Pflegemassnahmen in der Versuchsfläche Dokument 5 A4 Beobachtungen und Messungen im 1976 mit Tabelle und Grafik 25.11.1976 Dokument 1 A4 Folgen vom trockenen Sommer und Vorgehen für 1977 (geplante Nachpflanzung) 24.11.1976 Brief 1 A4 Pflanzen für das Nachpflanzen auf der Versuchsfläche Plan 1 A4 Plan der Versuchsfläche mit den vertrockneten Bäumen Plan 1 A4 Plan der Versuchsfläche mit den Bäumen für die Nachpflanzung Dokument 3 A4 Beobachtungen der ersten 5 Vegetationsjahre				•
26.11.1990Rechnung1 A4Demontieren des ZaunesDokument3 A4Beobachtungen und Messungen im 1985 mit TabelleDokument4 A4Beobachtungen und Messungen im 1979 mit TabellePlan1 A4Plan der Versuchsfläche mit Messdaten 197927.12.1983Rechnung1 A4Pflegemassnahmen in der VersuchsflächeDokument5 A4Beobachtungen und Messungen im 1976 mit Tabelle und Grafik25.11.1976Dokument1 A4Folgen vom trockenen Sommer und Vorgehen für 1977 (geplante Nachpflanzung)24.11.1976Brief1 A4Pflanzen für das Nachpflanzen auf der VersuchsflächePlan1 A4Plan der Versuchsfläche mit den vertrockneten BäumenPlan1 A4Plan der Versuchsfläche mit den Bäumen für die NachpflanzungDokument3 A4Beobachtungen der ersten 5 Vegetationsjahre	13.11.1990	Brief		
Dokument 3 A4 Beobachtungen und Messungen im 1985 mit Tabelle Dokument 4 A4 Beobachtungen und Messungen im 1979 mit Tabelle Plan 1 A4 Plan der Versuchsfläche mit Messdaten 1979 27.12.1983 Rechnung 1 A4 Pflegemassnahmen in der Versuchsfläche Dokument 5 A4 Beobachtungen und Messungen im 1976 mit Tabelle und Grafik 25.11.1976 Dokument 1 A4 Folgen vom trockenen Sommer und Vorgehen für 1977 (geplante Nachpflanzung) 24.11.1976 Brief 1 A4 Pflanzen für das Nachpflanzen auf der Versuchsfläche Plan 1 A4 Plan der Versuchsfläche mit den vertrockneten Bäumen Plan 1 A4 Plan der Versuchsfläche mit den Bäumen für die Nachpflanzung Dokument 3 A4 Beobachtungen der ersten 5 Vegetationsjahre				<u> </u>
Dokument 4 A4 Beobachtungen und Messungen im 1979 mit Tabelle Plan 1 A4 Plan der Versuchsfläche mit Messdaten 1979 27.12.1983 Rechnung 1 A4 Pflegemassnahmen in der Versuchsfläche Dokument 5 A4 Beobachtungen und Messungen im 1976 mit Tabelle und Grafik 25.11.1976 Dokument 1 A4 Folgen vom trockenen Sommer und Vorgehen für 1977 (geplante Nachpflanzung) 24.11.1976 Brief 1 A4 Pflanzen für das Nachpflanzen auf der Versuchsfläche Plan 1 A4 Plan der Versuchsfläche mit den vertrockneten Bäumen Plan 1 A4 Plan der Versuchsfläche mit den Bäumen für die Nachpflanzung Dokument 3 A4 Beobachtungen der ersten 5 Vegetationsjahre				Beobachtungen und Messungen im 1985 mit Tabelle
Plan 1 A4 Plan der Versuchsfläche mit Messdaten 1979 27.12.1983 Rechnung 1 A4 Pflegemassnahmen in der Versuchsfläche Dokument 5 A4 Beobachtungen und Messungen im 1976 mit Tabelle und Grafik 25.11.1976 Dokument 1 A4 Folgen vom trockenen Sommer und Vorgehen für 1977 (geplante Nachpflanzung) 24.11.1976 Brief 1 A4 Pflanzen für das Nachpflanzen auf der Versuchsfläche Plan 1 A4 Plan der Versuchsfläche mit den vertrockneten Bäumen Plan 1 A4 Plan der Versuchsfläche mit den Bäumen für die Nachpflanzung Dokument 3 A4 Beobachtungen der ersten 5 Vegetationsjahre				
27.12.1983Rechnung1 A4Pflegemassnahmen in der VersuchsflächeDokument5 A4Beobachtungen und Messungen im 1976 mit Tabelle und Grafik25.11.1976Dokument1 A4Folgen vom trockenen Sommer und Vorgehen für 1977 (geplante Nachpflanzung)24.11.1976Brief1 A4Pflanzen für das Nachpflanzen auf der VersuchsflächePlan1 A4Plan der Versuchsfläche mit den vertrockneten BäumenPlan1 A4Plan der Versuchsfläche mit den Bäumen für die NachpflanzungDokument3 A4Beobachtungen der ersten 5 Vegetationsjahre				
Dokument 5 A4 Beobachtungen und Messungen im 1976 mit Tabelle und Grafik 25.11.1976 Dokument 1 A4 Folgen vom trockenen Sommer und Vorgehen für 1977 (geplante Nachpflanzung) 24.11.1976 Brief 1 A4 Pflanzen für das Nachpflanzen auf der Versuchsfläche Plan 1 A4 Plan der Versuchsfläche mit den vertrockneten Bäumen Plan 1 A4 Plan der Versuchsfläche mit den Bäumen für die Nachpflanzung Dokument 3 A4 Beobachtungen der ersten 5 Vegetationsjahre	27.12 1983			
25.11.1976 Dokument 1 A4 Folgen vom trockenen Sommer und Vorgehen für 1977 (geplante Nachpflanzung) 24.11.1976 Brief 1 A4 Pflanzen für das Nachpflanzen auf der Versuchsfläche Plan 1 A4 Plan der Versuchsfläche mit den vertrockneten Bäumen Plan 1 A4 Plan der Versuchsfläche mit den Bäumen für die Nachpflanzung Dokument 3 A4 Beobachtungen der ersten 5 Vegetationsjahre	_,,,,,,,,,,,,,,,,,,,,,,,,,,,,,,,,,,,,,,			-
Nachpflanzung) 24.11.1976 Brief 1 A4 Pflanzen für das Nachpflanzen auf der Versuchsfläche Plan 1 A4 Plan der Versuchsfläche mit den vertrockneten Bäumen Plan 1 A4 Plan der Versuchsfläche mit den Bäumen für die Nachpflanzung Dokument 3 A4 Beobachtungen der ersten 5 Vegetationsjahre	25 11 1076			
Plan 1 A4 Plan der Versuchsfläche mit den vertrockneten Bäumen Plan 1 A4 Plan der Versuchsfläche mit den Bäumen für die Nachpflanzung Dokument 3 A4 Beobachtungen der ersten 5 Vegetationsjahre				Nachpflanzung)
Plan 1 A4 Plan der Versuchsfläche mit den Bäumen für die Nachpflanzung Dokument 3 A4 Beobachtungen der ersten 5 Vegetationsjahre	24.11.1976			
Dokument 3 A4 Beobachtungen der ersten 5 Vegetationsjahre		Plan	1 A4	Plan der Versuchsfläche mit den vertrockneten Bäumen
<u> </u>		Plan	1 A4	Plan der Versuchsfläche mit den Bäumen für die Nachpflanzung
Jan 75 Dokument 1 A4 Prognose für die Arbeiten im 1975		Dokument	3 A4	Beobachtungen der ersten 5 Vegetationsjahre
	Jan 75	Dokument	1 A4	Prognose für die Arbeiten im 1975

Datum	Тур	Umfang	Inhalt
	Dokument	4 A4	Arbeiten für den Frühling 1973
	Dokument	3 A4	Zustand der Pflanzung nach 2 Vegetationsperioden
20.11.1970	Dokument	14 A4	Dokumentation der Erstellung der Versuchsfläche mit Aufnahmen
			nach 1 Vegetationsperiode
	Plan	4 A4	Pläne mit diversen Markierungen: Überleben 1973, 12.9.1972,
			18.10.1971, 1970 [wahrscheinlich]
30.04.1973	Brief	1 A4	Allgemeine Anweisung an den zuständigen Förster zur
			Flächenbetreuung und zu Nachpflanzungen, die bereits im
24.02.4074	D. d. C	4.4.4	Pflanzgarten angezogen werden.
21.02.1971		1 A4	Düngung der Versuchsfläche
29.01.1970		2 A4	Düngung der Versuchsfläche
Mai 70	Dokument	1 A4	Informationspapier
18.08.1970		1 A4	Beobachtungen zu den Verdunstungs-Schutzhüllen
04.02.1971		1 A4	Weiterleitung einer Rechnung
31.03.1977		1 A4	Lieferschein für Gehölze zur Nachpflanzung
29.07.1970	Tabelle	1 A4	Erfassung der Mortalität
11.05.1971		1 A4	Arbeiten die möglichst bald ausgeführt werden müssen
11.08.1971	Brief	1 A4	Ein Durchgang muss geschlossen werden
06.05.1975	Rechnung	1 A4	Rechnung für Forstgehölze
22.04.1975	Rechnung	1 A4	Lieferschein für Forstgehölze (Pinus ponderosa)
06.02.1975	Brief	1 A4	Bestellung von Forstgehölzen zur Nachpflanzung (Pinus ponderosa,
			P. salzmannii)
17.06.1974	Rechnung	2 A4	Rechnung für Forstgehölze (Zedern-Toppflanzen)
17.01.1974	Brief	1 A4	Vorschlag, in den Eichen-Niederwäldern Trüffel nachzuziehen
02.06.1973	Brief	1 A4	Kontrolle der verkauften Klone
12.01.1973	Brief	1 A4	Ersetzen der Pinus leucodermis
11.01.1973	Rechnung	1 A4	Lieferschein für Forstgehölze (Lärchen, Schlitz; Pinus sylvestris
			Niederwil; Zedern-Topfpflanzen)
24.04.1972		1 A4	Rechnung für Douglasien (Kandern)
28.12.1972	Rechnung	1 A4	Rechnung für Lärchen, Waldföhren und Zedern
07.07.1972	Brief	1 A4	Bestellung bei der Kantonalen Forstbaumschule für den Frühling 1973
26.06.1972	Brief	1 A4	Markieren der gepflanzten Jungbäume um sie besser
			wiederzufinden.
07.07.1972	Brief	1 A4	Bestellung von Lärchen, Waldföhren und Zedern
20.11.1970	Rechnung	1 A4	Rechnung für 1500m Forstgeflecht
23.10.1970	Rechnung	1 A4	Rechnung von einer Sägerei
13.11.1970		1 A4	Bestellung für 1500m Forstgeflecht
10.11.1970		1 A4	Lieferung von 500 Einzelschützen
24.10.1970		1 A4	Rechnung für Linde, Lärche, Waldföhre, Serbische Fichte,
	S		Schwarzföhre, Korsische Föhre, Pinus Salzmannii, mit Angaben zur Provenienz
14.04.1970	Rechnung	1 A4	Rechnung für Zedern
	Rechnung	1 A4	Rechnung für Schwarzföhren und Einzelschütze
	Rechnung	1 A4	Lieferschein für Zedern
24.10.1970		1 A4	Lieferschein für Linde, Lärche, Waldföhre, Serbische Fichte,
<u>-</u> 10.13/0	ncerniung	± /3 T	Schwarzföhre, Korsische Föhre, Pinus Salzmannii

Tabelle 37. Ertragskundliche Kennzahlen aller Teilflächen (Werte pro ha). % tot = Stammzahlanteil toter Bäume, % gepflanzt = Anteil der gepflanzten Bäume.

			I															-			
			Grösse	Bodentyp					leibend					Abgest	orben, Fe		% tot		Gesamtbestand		pflanzt
							h _{dom}	d _{dom}		hg	dg	G	V ₇		G	V ₇	%	GWL	dGZ	Anteil	
TF	Baumart gepflanzt	Herkunft	(ha)	BT _{Zwischenst} .	BT	N	(m)	(cm)	h/d	(m)	(cm)	(m ²)	(m³)	N	(m ²)	(m³)		(m ³)	(m³ a-¹)	N	Anteil V ₇
	Cedrus atlantica ¹		0.090	1.5	2	775	16	34.4	0.62	14	22.5	30.8	243	27	0.9	7	3.4	243	5	71%	92%
32	Cedrus atlantica	Provence	0.082	2	2	733	17	34.4	0.62	14	23.3	31.4	259	37	0.8	6		259	6	73%	93%
33	Cedrus atlantica	Provence	0.098	1.5	1	746	17	33.4	0.63	14	22.0	28.3	218	20	1.1	9		219	5	67%	84%
101	Cedrus atlantica	MarProv.	0.105	1.5	2	970	16	35.7	0.59	13	22.3	37.7	283	76	2.7	20		283	6	77%	92%
102	Cedrus atlantica	MarProv.	0.064	2	2	754	17	35.8	0.65	15	22.8	30.8	257	0	0	0		257	5	54%	91%
104	Cedrus atlantica	MarProv.	0.099	1	1	674	15	32.7	0.60	13	22.0	25.6	196	0	0	0		196	4	82%	98%
	Pseudotsuga menziesii ¹		0.101	2	2	592	25	45.8	0.70	22	32.1	47.9	472	7.6	0.4	3	1.3	472	10	76%	97%
116	Pseudotsuga menziesii	Millevaches	0.097	1.5	1	753	24	43.5	0.75	20	26.3	41.0	376	10	0.2	1		376	8	48%	92%
301	Pseudotsuga menziesii	Enumclaw	0.095	1.5	1	579	25	43.7	0.72	23	32.1	46.9	467	0	0	0		467	10	82%	99%
302	Pseudotsuga menziesii	Enumclaw	0.116	2	2	534	28	50.3	0.68	23	34.4	49.5	514	0	0	0		514	11	76%	97%
311	Pseudotsuga menziesii	Wind River	0.092	3	3	632	26	49.2	0.65	24	37.1	68.2	687	22	0.9	9		687	15	88%	99%
312	Pseudotsuga menziesii	Wind River	0.101	2	2	506	27	48.0	0.72	24	33.7	45.3	470	0	0	0		470	10	80%	99%
321	Pseudotsuga menziesii	Salmon Arm	0.094	2	2	574	24	42.9	0.68	21	30.4	41.8	392	21	1.5	14		392	8	74%	96%
322	Pseudotsuga menziesii	Salmon Arm	0.112	1.5	2	564	24	43.0	0.68	21	31.0	42.6	398	0	0	0		398	8	84%	98%
	Pinus ponderosa ¹		0.104	1.25	1	752	13.5	23.5	0.68	12	17.3	17.3	124	124	1.5	9	14.2	137	3	78%	92%
431	Pinus ponderosa	Kalifornien	0.103	2	2	730	15	25.9	0.67	13	19.5	21.8	166	117	1.5	9		166	4	88%	97%
432	Pinus ponderosa	Kalifornien	0.094	1	1	726	14	24.1	0.71	12	17.0	16.4	116	107	1.2	7		166	2	74%	91%
433	Pinus ponderosa	Kalifornien	0.115	1	1	711	14	23.5	0.70	12	17.1	16.3	116	182	2.2	13		116	2	69%	86%
435	Pinus ponderosa	Kalifornien	0.102	1	1	840	11	20.4	0.63	10	15.5	15.9	99	88	1.2	7		99	2	83%	93%
	Pinus nigra ¹		0.099	1.5	2	694	16	33.8	0.59	14	24.4	32.4	278	66	3.1	26	8.7	278	6	68%	91%
103	Pinus nigra	Korsika_Cev.	0.095	2	2	674	19	39.2	0.58	17	29.1	44.9	423	11	1.4	14		423	9	77%	96%
362	Pinus nigra	Korsika	0.132	1	1	621	17	36.3	0.57	15	27.1	35.8	330	23	1.5	14		330	7	76%	98%
364	Pinus nigra	Korsika	0.099	2	2	917	18	38.1	0.64	15	23.5	39.9	351	30	1.6	14		351	7	46%	90%
365	Pinus nigra	Korsika	0.094	1.5	1	657	17	32.8	0.64	15	23.0	27.4	235	42	4.1	39		235	5	63%	93%
373	Pinus nigra	Cevennen	0.121	1.5	2	644	13	28.6	0.60	12	19.4	19.0	138	58	1.8	13		138	3	49%	86%
541	Pinus nigra	Ungarn	0.100	2	2	747	16	35.7	0.63	15	23.3	31.8	269	20	0.5	4		269	6	48%	72%
542	Pinus nigra	Ungarn	0.090	2	2	667	17	34.6	0.59	16	26.5	36.9	329	11	0.1	1		329	7	95%	100%
544	Pinus nigra	Ungarn	0.099	1.5	1	690	16	33.7	0.57	15	25.9	36.5	318	30	1.1	9		318	7	79%	96%
545	Pinus nigra	Ungarn	0.094	2	2	585	14	32.7	0.56	14	24.8	28.2	241	117	6.2	54		241	5	75%	96%
581	Pinus nigra	Lozère	0.099	1	1	629	15	32.3	0.57	13	23.3	26.7	213	213	9.1	70		213	5	69%	95%
582	Pinus nigra	Lozère	0.096	1.5	2	637	15	32.5	0.55	14	24.9	31.1	261	42	1.6	13		261	6	76%	95%
583	Pinus nigra	Lozère	0.095	1	1	810	16	34.0	0.60	14	23.9	36.3	307	95	4.3	36		307	7	68%	96%
584	Pinus nigra	Lozère	0.098	1.5	2	896	15	33.0	0.60	14	23.6	39.2	328	41	1.7	14		328	7	72%	95%
585	Pinus nigra	Lozère	0.104	1	1	686	14	30.8	0.55	13	23.8	30.6	245	29	1.3	11		245	5	86%	98%
586	Pinus nigra	Lozère	0.090	1.5	2	501	17	34.7	0.59	15	25.6	25.9	226	33	1.9	17		226	5	76%	95%
587	Pinus nigra	Lozère	0.084	1.5	1	667	16	33.2	0.59	14	24.2	30.6	259	71	2.9	24		259	6	55%	82%
588	Pinus nigra	Lozère	0.090	2	3	762	17	32.5	0.66	15	22.4	30.0	254	254	11.6	100		254	5	46%	57%
601	Picea omorica	Jugoslawien	0.098	1	1	1149	14	27.0	0.73	12	16.6	25.0	170	0	0	0		171	4	27%	45%
	Pinus sylvestris ¹		0.110	1.25	1	763	16	31.6	0.65	15	21.7	28.3	234	47	1.6	13	5.8	234	5	49%	77%
893	Pinus sylvestris	Hochrhein	0.114	1	1	793	16	31.7	0.64	14	21.3	28.4	229	26	1.1	9		229	5	46%	76%
894	Pinus sylvestris	Hochrhein	0.105	1.5	1	733	16	31.4	0.66	15	22.1	28.2	239	67	2.1	16		239	5	53%	79%
	NV/Nullfläche	NV	0.099	1	1	987	13	23.3	0.74	10	13.8	14.8	87	0	0	0		87	2		

¹Arithmetisches Mittel über die TFL. Nicht mit Flächengrösse bzw. Stammzahl gewichtet, darum haben diese Bestandeskennzahlen nur hinweisenden Charakter.